

東北自動車道
思川橋耐震補強工事

交付図書正誤表

東日本高速道路株式会社 関東支社

宇都宮管理事務所

対象	特記仕様書 25-2-2 施工																												
誤	<p>(3) 堀削土砂の堀削及び運搬、仮置き</p> <p>構造物堀削で発生する土砂等の仮置きは、下表のとおりとする。</p> <table border="1"> <thead> <tr> <th>施工箇所</th> <th>単価項目</th> <th>仮置場</th> <th>摘要</th> </tr> </thead> <tbody> <tr> <td rowspan="2">吹上橋</td> <td>構造物堀削 特殊部A</td> <td>設計図書に示す箇所に仮置 吹上橋側道（栃木市道13315号線及び栃木市道43171号線）</td> <td>設計図書に図示</td> </tr> <tr> <td>構造物堀削 普通部B</td> <td>本特記仕様書6-1に示す自工区外盛土場に運搬するものとする</td> <td>設計図書に図示</td> </tr> <tr> <td rowspan="2">木村橋</td> <td>構造物堀削 特殊部A</td> <td>本特記仕様書5-1に示す土地</td> <td>設計図書に図示</td> </tr> <tr> <td>構造物堀削 普通部B</td> <td>本特記仕様書6-1に示す自工区外盛土場に運搬するものとする</td> <td>設計図書に図示</td> </tr> <tr> <td rowspan="2">思川橋、黒川橋</td> <td>構造物堀削 普通部A</td> <td>工事用地内（河川区域内仮置）</td> <td>設計図書に図示</td> </tr> <tr> <td>構造物堀削 普通部B</td> <td>本特記仕様書6-1に示す自工区外盛土場に運搬するものとする</td> <td>設計図書に図示</td> </tr> </tbody> </table> <p>構造物堀削 普通部Aで発生した土砂等の仮置きは設計図書に示す河川区域内に行うものとし、構造物堀削 普通部Aでの堀削残土は橋脚周辺に敷均すものとする。</p>				施工箇所	単価項目	仮置場	摘要	吹上橋	構造物堀削 特殊部A	設計図書に示す箇所に仮置 吹上橋側道（栃木市道13315号線及び栃木市道43171号線）	設計図書に図示	構造物堀削 普通部B	本特記仕様書6-1に示す自工区外盛土場に運搬するものとする	設計図書に図示	木村橋	構造物堀削 特殊部A	本特記仕様書5-1に示す土地	設計図書に図示	構造物堀削 普通部B	本特記仕様書6-1に示す自工区外盛土場に運搬するものとする	設計図書に図示	思川橋、黒川橋	構造物堀削 普通部A	工事用地内（河川区域内仮置）	設計図書に図示	構造物堀削 普通部B	本特記仕様書6-1に示す自工区外盛土場に運搬するものとする	設計図書に図示
施工箇所	単価項目	仮置場	摘要																										
吹上橋	構造物堀削 特殊部A	設計図書に示す箇所に仮置 吹上橋側道（栃木市道13315号線及び栃木市道43171号線）	設計図書に図示																										
	構造物堀削 普通部B	本特記仕様書6-1に示す自工区外盛土場に運搬するものとする	設計図書に図示																										
木村橋	構造物堀削 特殊部A	本特記仕様書5-1に示す土地	設計図書に図示																										
	構造物堀削 普通部B	本特記仕様書6-1に示す自工区外盛土場に運搬するものとする	設計図書に図示																										
思川橋、黒川橋	構造物堀削 普通部A	工事用地内（河川区域内仮置）	設計図書に図示																										
	構造物堀削 普通部B	本特記仕様書6-1に示す自工区外盛土場に運搬するものとする	設計図書に図示																										
正	<p>(3) 堀削土砂の堀削及び運搬、仮置き</p> <p>構造物堀削で発生する土砂等の仮置きは、下表のとおりとする。</p> <table border="1"> <thead> <tr> <th>施工箇所</th> <th>単価項目</th> <th>仮置場</th> <th>摘要</th> </tr> </thead> <tbody> <tr> <td rowspan="2">吹上橋</td> <td>構造物堀削 特殊部A</td> <td>設計図書に示す箇所に仮置 吹上橋側道（栃木市道13315号線及び栃木市道43171号線）</td> <td>設計図書に図示</td> </tr> <tr> <td>構造物堀削 普通部B</td> <td>本特記仕様書6-1に示す自工区外盛土場に運搬するものとする</td> <td>設計図書に図示</td> </tr> <tr> <td rowspan="2">木村橋</td> <td>構造物堀削 特殊部B</td> <td>本特記仕様書5-1に示す土地</td> <td>設計図書に図示</td> </tr> <tr> <td>構造物堀削 普通部B</td> <td>本特記仕様書6-1に示す自工区外盛土場に運搬するものとする</td> <td>設計図書に図示</td> </tr> <tr> <td rowspan="2">思川橋、黒川橋</td> <td>構造物堀削 普通部A</td> <td>工事用地内（河川区域内仮置）</td> <td>設計図書に図示</td> </tr> <tr> <td>構造物堀削 普通部B</td> <td>本特記仕様書6-1に示す自工区外盛土場に運搬するものとする</td> <td>設計図書に図示</td> </tr> </tbody> </table> <p>構造物堀削 普通部Aで発生した土砂等の仮置きは設計図書に示す河川区域内に行うものとし、構造物堀削 普通部Aでの堀削残土は橋脚周辺に敷均すものとする。</p>				施工箇所	単価項目	仮置場	摘要	吹上橋	構造物堀削 特殊部A	設計図書に示す箇所に仮置 吹上橋側道（栃木市道13315号線及び栃木市道43171号線）	設計図書に図示	構造物堀削 普通部B	本特記仕様書6-1に示す自工区外盛土場に運搬するものとする	設計図書に図示	木村橋	構造物堀削 特殊部B	本特記仕様書5-1に示す土地	設計図書に図示	構造物堀削 普通部B	本特記仕様書6-1に示す自工区外盛土場に運搬するものとする	設計図書に図示	思川橋、黒川橋	構造物堀削 普通部A	工事用地内（河川区域内仮置）	設計図書に図示	構造物堀削 普通部B	本特記仕様書6-1に示す自工区外盛土場に運搬するものとする	設計図書に図示
施工箇所	単価項目	仮置場	摘要																										
吹上橋	構造物堀削 特殊部A	設計図書に示す箇所に仮置 吹上橋側道（栃木市道13315号線及び栃木市道43171号線）	設計図書に図示																										
	構造物堀削 普通部B	本特記仕様書6-1に示す自工区外盛土場に運搬するものとする	設計図書に図示																										
木村橋	構造物堀削 特殊部B	本特記仕様書5-1に示す土地	設計図書に図示																										
	構造物堀削 普通部B	本特記仕様書6-1に示す自工区外盛土場に運搬するものとする	設計図書に図示																										
思川橋、黒川橋	構造物堀削 普通部A	工事用地内（河川区域内仮置）	設計図書に図示																										
	構造物堀削 普通部B	本特記仕様書6-1に示す自工区外盛土場に運搬するものとする	設計図書に図示																										
備考	特記仕様書 25-2-2 施工 単価項目名の修正																												

対象	特記仕様書 25-20-11 塗替塗装の施工						
誤	<p>3) 素地調整 素地調整種別は下表のとおりとする。</p> <table border="1"> <thead> <tr> <th>橋梁名</th> <th>素地調整の種別</th> <th>摘要</th> </tr> </thead> <tbody> <tr> <td>吹上橋、木村橋、思川橋、黒川橋</td> <td>1種</td> <td>一般部及び特殊部</td> </tr> </tbody> </table> <p>受注者は、塗膜剥離剤により既存塗膜の除去を行う場合、塗膜除去完了後に行う乾式ブラスト施工時において、鉛等有害物の濃度を十分に低下させる実用上の効果が期待できる工法を使用するものとする。塗膜剥離剤による既存塗膜の除去程度は、特殊部や狭隘部などの塗膜除去困難部を除き、黒皮又は鋼素地面を露出させるものとする。</p>	橋梁名	素地調整の種別	摘要	吹上橋、木村橋、思川橋、黒川橋	1種	一般部及び特殊部
橋梁名	素地調整の種別	摘要					
吹上橋、木村橋、思川橋、黒川橋	1種	一般部及び特殊部					
正	<p>3) 素地調整 素地調整種別は下表のとおりとする。</p> <table border="1"> <thead> <tr> <th>橋梁名</th> <th>素地調整の種別</th> <th>摘要</th> </tr> </thead> <tbody> <tr> <td>吹上橋、木村橋、思川橋、黒川橋</td> <td>1種</td> <td>一般部及び特殊部</td> </tr> </tbody> </table> <p>なお、既存塗膜との境界部の処理は、素地調整の種別を4種とする。既存塗膜との境界部の処理は設計要領第二集橋梁保全編3-2-5「構造細目」に基づき、設計図書及び監督員の指示に従い施工を行うものとする。</p> <p>受注者は、塗膜剥離剤により既存塗膜の除去を行う場合、塗膜除去完了後に行う乾式ブラスト施工時において、鉛等有害物の濃度を十分に低下させる実用上の効果が期待できる工法を使用するものとする。塗膜剥離剤による既存塗膜の除去程度は、特殊部や狭隘部などの塗膜除去困難部を除き、黒皮又は鋼素地面を露出させるものとする。</p>	橋梁名	素地調整の種別	摘要	吹上橋、木村橋、思川橋、黒川橋	1種	一般部及び特殊部
橋梁名	素地調整の種別	摘要					
吹上橋、木村橋、思川橋、黒川橋	1種	一般部及び特殊部					
備考	特記仕様書 25-20-11 塗替塗装の施工 記載内容の追加						

対象	金抜設計書 単価表																																																																																																								
誤	<p style="text-align: center;">単 価 表</p> <table border="1"> <thead> <tr> <th>番号</th> <th>項目番号</th> <th>項 目</th> <th>数量</th> <th>単位</th> <th>単 価</th> <th>金 額</th> <th>摘 要</th> </tr> </thead> <tbody> <tr> <td>1</td> <td>2 - (6)</td> <td>構造物掘削 普通部 A</td> <td>2,588</td> <td>m³</td> <td></td> <td></td> <td></td> </tr> <tr> <td>2</td> <td>2 - (6)</td> <td>構造物掘削 普通部 B</td> <td>2,059</td> <td>m³</td> <td></td> <td></td> <td>見積対象</td> </tr> <tr> <td>3</td> <td>2 - (6)</td> <td>構造物掘削 特殊部 A</td> <td>77</td> <td>m³</td> <td></td> <td></td> <td></td> </tr> <tr> <td>4</td> <td>2 - (6)</td> <td>構造物掘削 特殊部 B</td> <td>50</td> <td>m³</td> <td></td> <td></td> <td></td> </tr> <tr> <td>5</td> <td>4 - (15)</td> <td>コンクリートブロック張工 コンクリートブロック張り</td> <td>458</td> <td>m²</td> <td></td> <td></td> <td></td> </tr> <tr> <td>6</td> <td>8 - (1)</td> <td>コンクリート A 1 - 5</td> <td>290</td> <td>m³</td> <td></td> <td></td> <td></td> </tr> <tr> <td>7</td> <td>8 - (1)</td> <td>コンクリート C 1 - 1</td> <td>43</td> <td>m³</td> <td></td> <td></td> <td></td> </tr> <tr> <td>8</td> <td>8 - (2)</td> <td>型わく TH</td> <td>1,206</td> <td>m²</td> <td></td> <td></td> <td></td> </tr> <tr> <td>9</td> <td>8 - (3)</td> <td>鉄筋 T 1</td> <td>31.32</td> <td>t</td> <td></td> <td></td> <td></td> </tr> <tr> <td>10</td> <td>8 - (3)</td> <td>鉄筋 T 2</td> <td>392</td> <td>箇所</td> <td></td> <td></td> <td></td> </tr> <tr> <td>11</td> <td>11 - (3)</td> <td>排水装置 排水管 A</td> <td>93</td> <td>m</td> <td></td> <td></td> <td></td> </tr> <tr> <td>12</td> <td>11 - (4)</td> <td>検査路 B</td> <td>5,166</td> <td>kg</td> <td></td> <td></td> <td></td> </tr> </tbody> </table>	番号	項目番号	項 目	数量	単位	単 価	金 額	摘 要	1	2 - (6)	構造物掘削 普通部 A	2,588	m ³				2	2 - (6)	構造物掘削 普通部 B	2,059	m ³			見積対象	3	2 - (6)	構造物掘削 特殊部 A	77	m ³				4	2 - (6)	構造物掘削 特殊部 B	50	m ³				5	4 - (15)	コンクリートブロック張工 コンクリートブロック張り	458	m ²				6	8 - (1)	コンクリート A 1 - 5	290	m ³				7	8 - (1)	コンクリート C 1 - 1	43	m ³				8	8 - (2)	型わく TH	1,206	m ²				9	8 - (3)	鉄筋 T 1	31.32	t				10	8 - (3)	鉄筋 T 2	392	箇所				11	11 - (3)	排水装置 排水管 A	93	m				12	11 - (4)	検査路 B	5,166	kg			
番号	項目番号	項 目	数量	単位	単 価	金 額	摘 要																																																																																																		
1	2 - (6)	構造物掘削 普通部 A	2,588	m ³																																																																																																					
2	2 - (6)	構造物掘削 普通部 B	2,059	m ³			見積対象																																																																																																		
3	2 - (6)	構造物掘削 特殊部 A	77	m ³																																																																																																					
4	2 - (6)	構造物掘削 特殊部 B	50	m ³																																																																																																					
5	4 - (15)	コンクリートブロック張工 コンクリートブロック張り	458	m ²																																																																																																					
6	8 - (1)	コンクリート A 1 - 5	290	m ³																																																																																																					
7	8 - (1)	コンクリート C 1 - 1	43	m ³																																																																																																					
8	8 - (2)	型わく TH	1,206	m ²																																																																																																					
9	8 - (3)	鉄筋 T 1	31.32	t																																																																																																					
10	8 - (3)	鉄筋 T 2	392	箇所																																																																																																					
11	11 - (3)	排水装置 排水管 A	93	m																																																																																																					
12	11 - (4)	検査路 B	5,166	kg																																																																																																					
正	<p style="text-align: center;">単 価 表</p> <table border="1"> <thead> <tr> <th>番号</th> <th>項目番号</th> <th>項 目</th> <th>数量</th> <th>単位</th> <th>単 価</th> <th>金 額</th> <th>摘 要</th> </tr> </thead> <tbody> <tr> <td>1</td> <td>2 - (6)</td> <td>構造物掘削 普通部 A</td> <td>2,588</td> <td>m³</td> <td></td> <td></td> <td></td> </tr> <tr> <td>2</td> <td>2 - (6)</td> <td>構造物掘削 普通部 B</td> <td>2,059</td> <td>m³</td> <td></td> <td></td> <td>見積対象</td> </tr> <tr> <td>3</td> <td>2 - (6)</td> <td>構造物掘削 特殊部 A</td> <td>77</td> <td>m³</td> <td></td> <td></td> <td></td> </tr> <tr> <td>4</td> <td>2 - (6)</td> <td>構造物掘削 特殊部 B</td> <td>50</td> <td>m³</td> <td></td> <td></td> <td></td> </tr> <tr> <td>5</td> <td>4 - (15)</td> <td>コンクリートブロック張工 コンクリートブロック張り</td> <td>458</td> <td>m²</td> <td></td> <td></td> <td></td> </tr> <tr> <td>6</td> <td>8 - (1)</td> <td>コンクリート A 1 - 5</td> <td>290</td> <td>m³</td> <td></td> <td></td> <td></td> </tr> <tr> <td>7</td> <td>8 - (1)</td> <td>コンクリート C 1 - 1</td> <td>40</td> <td>m³</td> <td></td> <td></td> <td></td> </tr> <tr> <td>8</td> <td>8 - (2)</td> <td>型わく TH</td> <td>1,206</td> <td>m²</td> <td></td> <td></td> <td></td> </tr> <tr> <td>9</td> <td>8 - (3)</td> <td>鉄筋 T 1</td> <td>31.32</td> <td>t</td> <td></td> <td></td> <td></td> </tr> <tr> <td>10</td> <td>8 - (3)</td> <td>鉄筋 T 2</td> <td>392.00</td> <td>箇所</td> <td></td> <td></td> <td></td> </tr> <tr> <td>11</td> <td>11 - (3)</td> <td>排水装置 排水管 A</td> <td>93</td> <td>m</td> <td></td> <td></td> <td></td> </tr> <tr> <td>12</td> <td>11 - (4)</td> <td>検査路 B</td> <td>5,166</td> <td>kg</td> <td></td> <td></td> <td></td> </tr> </tbody> </table>	番号	項目番号	項 目	数量	単位	単 価	金 額	摘 要	1	2 - (6)	構造物掘削 普通部 A	2,588	m ³				2	2 - (6)	構造物掘削 普通部 B	2,059	m ³			見積対象	3	2 - (6)	構造物掘削 特殊部 A	77	m ³				4	2 - (6)	構造物掘削 特殊部 B	50	m ³				5	4 - (15)	コンクリートブロック張工 コンクリートブロック張り	458	m ²				6	8 - (1)	コンクリート A 1 - 5	290	m ³				7	8 - (1)	コンクリート C 1 - 1	40	m ³				8	8 - (2)	型わく TH	1,206	m ²				9	8 - (3)	鉄筋 T 1	31.32	t				10	8 - (3)	鉄筋 T 2	392.00	箇所				11	11 - (3)	排水装置 排水管 A	93	m				12	11 - (4)	検査路 B	5,166	kg			
番号	項目番号	項 目	数量	単位	単 価	金 額	摘 要																																																																																																		
1	2 - (6)	構造物掘削 普通部 A	2,588	m ³																																																																																																					
2	2 - (6)	構造物掘削 普通部 B	2,059	m ³			見積対象																																																																																																		
3	2 - (6)	構造物掘削 特殊部 A	77	m ³																																																																																																					
4	2 - (6)	構造物掘削 特殊部 B	50	m ³																																																																																																					
5	4 - (15)	コンクリートブロック張工 コンクリートブロック張り	458	m ²																																																																																																					
6	8 - (1)	コンクリート A 1 - 5	290	m ³																																																																																																					
7	8 - (1)	コンクリート C 1 - 1	40	m ³																																																																																																					
8	8 - (2)	型わく TH	1,206	m ²																																																																																																					
9	8 - (3)	鉄筋 T 1	31.32	t																																																																																																					
10	8 - (3)	鉄筋 T 2	392.00	箇所																																																																																																					
11	11 - (3)	排水装置 排水管 A	93	m																																																																																																					
12	11 - (4)	検査路 B	5,166	kg																																																																																																					
備考	金抜設計書 単価表 数量の修正																																																																																																								

対象	金抜設計書 単価表																																																																																																								
誤	<p style="text-align: center;">単 価 表</p> <table border="1"> <thead> <tr> <th>番号</th> <th>項目番号</th> <th>項 目</th> <th>数量</th> <th>単位</th> <th>単 価</th> <th>金 額</th> <th>摘 要</th> </tr> </thead> <tbody> <tr> <td>37</td> <td>17 - (11)</td> <td>落橋防止構造 C 2</td> <td>20</td> <td>本</td> <td></td> <td></td> <td></td> </tr> <tr> <td>38</td> <td>17 - (11)</td> <td>落橋防止構造 アンカーア工 $\phi 51 \cdot 625$</td> <td>270</td> <td>本</td> <td></td> <td></td> <td></td> </tr> <tr> <td>39</td> <td>17 - (11)</td> <td>落橋防止構造 アンカーア工 $\phi 61 \cdot 775$</td> <td>660</td> <td>本</td> <td></td> <td></td> <td></td> </tr> <tr> <td>40</td> <td>17 - (12)</td> <td>段差防止構造M 設置工</td> <td>76.05</td> <td>t</td> <td></td> <td></td> <td></td> </tr> <tr> <td>41</td> <td>17 - (12)</td> <td>段差防止構造M アンカーア工 $\phi 26 \cdot 250$</td> <td>272</td> <td>本</td> <td></td> <td></td> <td></td> </tr> <tr> <td>42</td> <td>17 - (12)</td> <td>段差防止構造M アンカーア工 $\phi 29 \cdot 295$</td> <td>240</td> <td>本</td> <td></td> <td></td> <td></td> </tr> <tr> <td>43</td> <td>17 - (12)</td> <td>段差防止構造M アンカーア工 $\phi 32 \cdot 340$</td> <td>1,728</td> <td>本</td> <td></td> <td></td> <td></td> </tr> <tr> <td>44</td> <td>17 - (12)</td> <td>段差防止構造M アンカーア工 $\phi 32 \cdot 410$</td> <td>1,424</td> <td>本</td> <td></td> <td></td> <td></td> </tr> <tr> <td>45</td> <td>17 - (12)</td> <td>段差防止構造M アンカーア工 $\phi 35 \cdot 385$</td> <td>240</td> <td>本</td> <td></td> <td></td> <td></td> </tr> <tr> <td>46</td> <td>17 - (13)</td> <td>横変位拘束構造M A</td> <td>16.00</td> <td>基</td> <td></td> <td></td> <td></td> </tr> <tr> <td>47</td> <td>17 - (13)</td> <td>横変位拘束構造M B</td> <td>8.00</td> <td>基</td> <td></td> <td></td> <td></td> </tr> <tr> <td>48</td> <td>17 - (13)</td> <td>横変位拘束構造M C</td> <td>8.00</td> <td>基</td> <td></td> <td></td> <td></td> </tr> </tbody> </table>	番号	項目番号	項 目	数量	単位	単 価	金 額	摘 要	37	17 - (11)	落橋防止構造 C 2	20	本				38	17 - (11)	落橋防止構造 アンカーア工 $\phi 51 \cdot 625$	270	本				39	17 - (11)	落橋防止構造 アンカーア工 $\phi 61 \cdot 775$	660	本				40	17 - (12)	段差防止構造M 設置工	76.05	t				41	17 - (12)	段差防止構造M アンカーア工 $\phi 26 \cdot 250$	272	本				42	17 - (12)	段差防止構造M アンカーア工 $\phi 29 \cdot 295$	240	本				43	17 - (12)	段差防止構造M アンカーア工 $\phi 32 \cdot 340$	1,728	本				44	17 - (12)	段差防止構造M アンカーア工 $\phi 32 \cdot 410$	1,424	本				45	17 - (12)	段差防止構造M アンカーア工 $\phi 35 \cdot 385$	240	本				46	17 - (13)	横変位拘束構造M A	16.00	基				47	17 - (13)	横変位拘束構造M B	8.00	基				48	17 - (13)	横変位拘束構造M C	8.00	基			
番号	項目番号	項 目	数量	単位	単 価	金 額	摘 要																																																																																																		
37	17 - (11)	落橋防止構造 C 2	20	本																																																																																																					
38	17 - (11)	落橋防止構造 アンカーア工 $\phi 51 \cdot 625$	270	本																																																																																																					
39	17 - (11)	落橋防止構造 アンカーア工 $\phi 61 \cdot 775$	660	本																																																																																																					
40	17 - (12)	段差防止構造M 設置工	76.05	t																																																																																																					
41	17 - (12)	段差防止構造M アンカーア工 $\phi 26 \cdot 250$	272	本																																																																																																					
42	17 - (12)	段差防止構造M アンカーア工 $\phi 29 \cdot 295$	240	本																																																																																																					
43	17 - (12)	段差防止構造M アンカーア工 $\phi 32 \cdot 340$	1,728	本																																																																																																					
44	17 - (12)	段差防止構造M アンカーア工 $\phi 32 \cdot 410$	1,424	本																																																																																																					
45	17 - (12)	段差防止構造M アンカーア工 $\phi 35 \cdot 385$	240	本																																																																																																					
46	17 - (13)	横変位拘束構造M A	16.00	基																																																																																																					
47	17 - (13)	横変位拘束構造M B	8.00	基																																																																																																					
48	17 - (13)	横変位拘束構造M C	8.00	基																																																																																																					
正	<p style="text-align: center;">単 価 表</p> <table border="1"> <thead> <tr> <th>番号</th> <th>項目番号</th> <th>項 目</th> <th>数量</th> <th>単位</th> <th>単 価</th> <th>金 額</th> <th>摘 要</th> </tr> </thead> <tbody> <tr> <td>37</td> <td>17 - (11)</td> <td>落橋防止構造 C 2</td> <td>20</td> <td>本</td> <td></td> <td></td> <td></td> </tr> <tr> <td>38</td> <td>17 - (11)</td> <td>落橋防止構造 アンカーア工 $\phi 51 \cdot 625$</td> <td>270</td> <td>本</td> <td></td> <td></td> <td></td> </tr> <tr> <td>39</td> <td>17 - (11)</td> <td>落橋防止構造 アンカーア工 $\phi 61 \cdot 775$</td> <td>660</td> <td>本</td> <td></td> <td></td> <td></td> </tr> <tr> <td>40</td> <td>17 - (12)</td> <td>段差防止構造M 設置工</td> <td>76.67</td> <td>t</td> <td></td> <td></td> <td></td> </tr> <tr> <td>41</td> <td>17 - (12)</td> <td>段差防止構造M アンカーア工 $\phi 26 \cdot 250$</td> <td>272</td> <td>本</td> <td></td> <td></td> <td></td> </tr> <tr> <td>42</td> <td>17 - (12)</td> <td>段差防止構造M アンカーア工 $\phi 29 \cdot 295$</td> <td>240</td> <td>本</td> <td></td> <td></td> <td></td> </tr> <tr> <td>43</td> <td>17 - (12)</td> <td>段差防止構造M アンカーア工 $\phi 32 \cdot 340$</td> <td>1,728</td> <td>本</td> <td></td> <td></td> <td></td> </tr> <tr> <td>44</td> <td>17 - (12)</td> <td>段差防止構造M アンカーア工 $\phi 32 \cdot 410$</td> <td>1,424</td> <td>本</td> <td></td> <td></td> <td></td> </tr> <tr> <td>45</td> <td>17 - (12)</td> <td>段差防止構造M アンカーア工 $\phi 35 \cdot 385$</td> <td>240</td> <td>本</td> <td></td> <td></td> <td></td> </tr> <tr> <td>46</td> <td>17 - (13)</td> <td>横変位拘束構造M A</td> <td>16.00</td> <td>基</td> <td></td> <td></td> <td></td> </tr> <tr> <td>47</td> <td>17 - (13)</td> <td>横変位拘束構造M B</td> <td>8.00</td> <td>基</td> <td></td> <td></td> <td></td> </tr> <tr> <td>48</td> <td>17 - (13)</td> <td>横変位拘束構造M C</td> <td>8.00</td> <td>基</td> <td></td> <td></td> <td></td> </tr> </tbody> </table>	番号	項目番号	項 目	数量	単位	単 価	金 額	摘 要	37	17 - (11)	落橋防止構造 C 2	20	本				38	17 - (11)	落橋防止構造 アンカーア工 $\phi 51 \cdot 625$	270	本				39	17 - (11)	落橋防止構造 アンカーア工 $\phi 61 \cdot 775$	660	本				40	17 - (12)	段差防止構造M 設置工	76.67	t				41	17 - (12)	段差防止構造M アンカーア工 $\phi 26 \cdot 250$	272	本				42	17 - (12)	段差防止構造M アンカーア工 $\phi 29 \cdot 295$	240	本				43	17 - (12)	段差防止構造M アンカーア工 $\phi 32 \cdot 340$	1,728	本				44	17 - (12)	段差防止構造M アンカーア工 $\phi 32 \cdot 410$	1,424	本				45	17 - (12)	段差防止構造M アンカーア工 $\phi 35 \cdot 385$	240	本				46	17 - (13)	横変位拘束構造M A	16.00	基				47	17 - (13)	横変位拘束構造M B	8.00	基				48	17 - (13)	横変位拘束構造M C	8.00	基			
番号	項目番号	項 目	数量	単位	単 価	金 額	摘 要																																																																																																		
37	17 - (11)	落橋防止構造 C 2	20	本																																																																																																					
38	17 - (11)	落橋防止構造 アンカーア工 $\phi 51 \cdot 625$	270	本																																																																																																					
39	17 - (11)	落橋防止構造 アンカーア工 $\phi 61 \cdot 775$	660	本																																																																																																					
40	17 - (12)	段差防止構造M 設置工	76.67	t																																																																																																					
41	17 - (12)	段差防止構造M アンカーア工 $\phi 26 \cdot 250$	272	本																																																																																																					
42	17 - (12)	段差防止構造M アンカーア工 $\phi 29 \cdot 295$	240	本																																																																																																					
43	17 - (12)	段差防止構造M アンカーア工 $\phi 32 \cdot 340$	1,728	本																																																																																																					
44	17 - (12)	段差防止構造M アンカーア工 $\phi 32 \cdot 410$	1,424	本																																																																																																					
45	17 - (12)	段差防止構造M アンカーア工 $\phi 35 \cdot 385$	240	本																																																																																																					
46	17 - (13)	横変位拘束構造M A	16.00	基																																																																																																					
47	17 - (13)	横変位拘束構造M B	8.00	基																																																																																																					
48	17 - (13)	横変位拘束構造M C	8.00	基																																																																																																					
備考	金抜設計書 単価表 数量の修正																																																																																																								

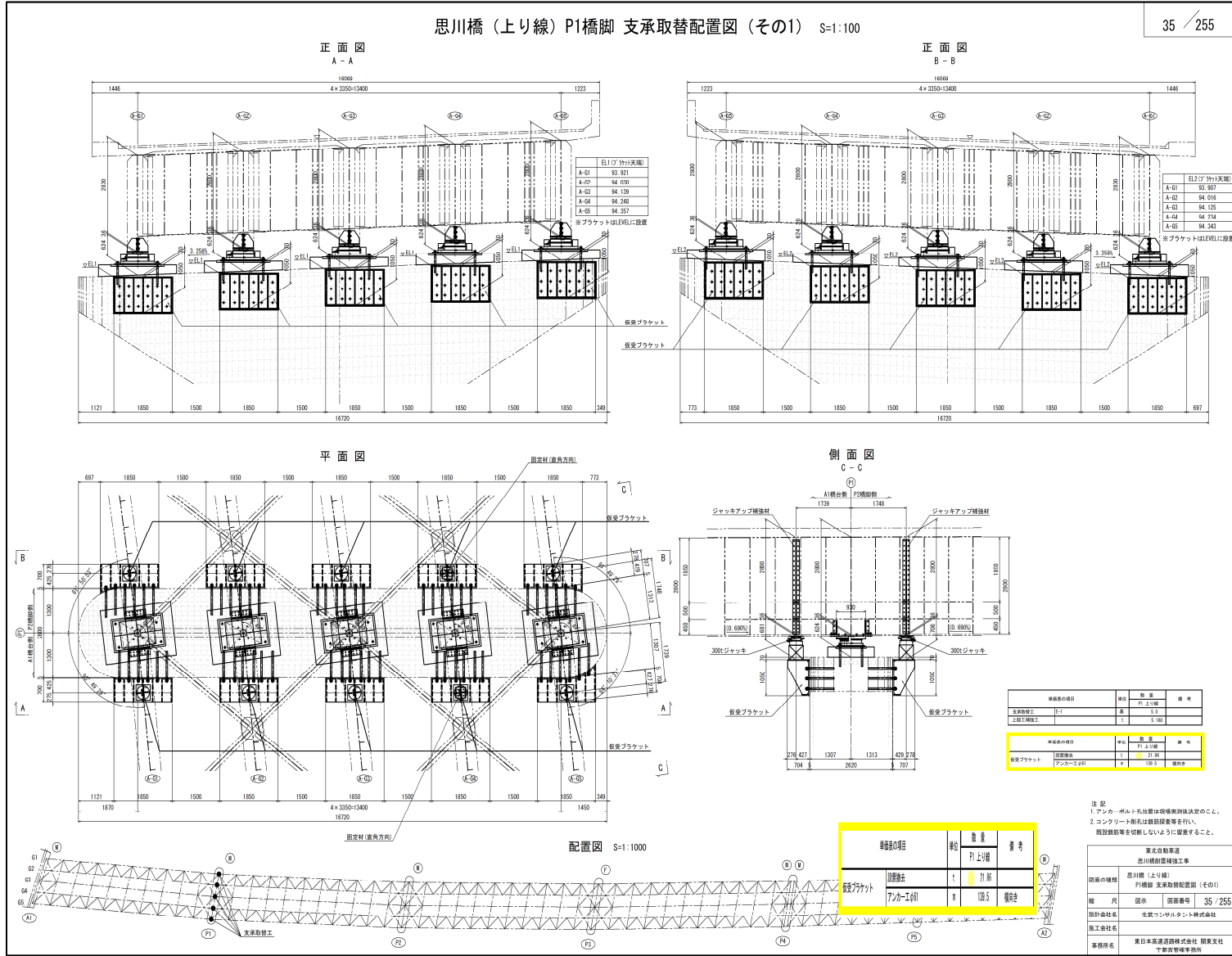
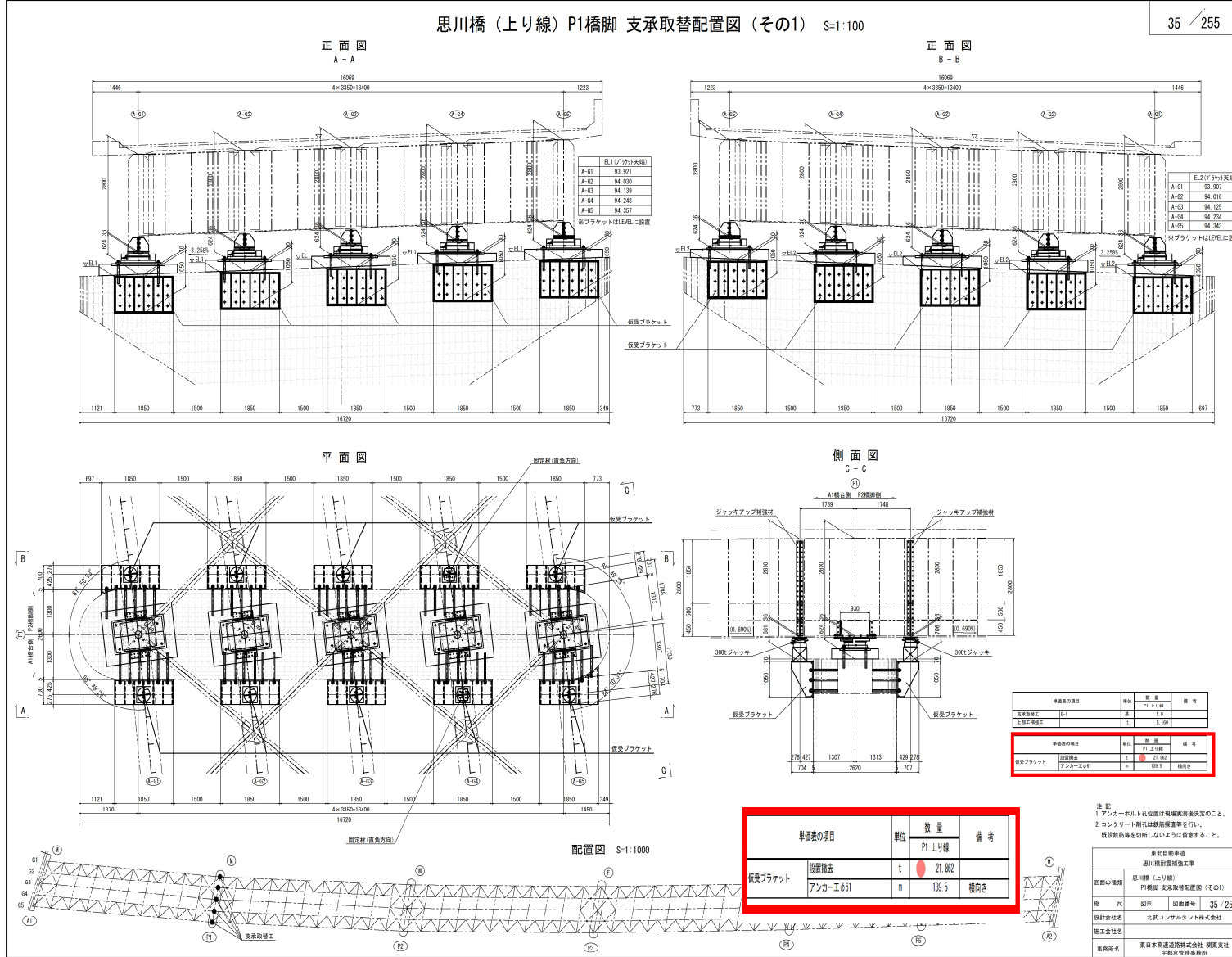
対象	金抜設計書 単価表																																																																																																								
誤	<p style="text-align: center;">単 価 表</p> <table border="1" style="width: 100%; border-collapse: collapse;"> <thead> <tr> <th>番号</th> <th>項目番号</th> <th>項 目</th> <th>数量</th> <th>単位</th> <th>単 価</th> <th>金 額</th> <th>摘要</th> </tr> </thead> <tbody> <tr> <td>73</td> <td>18 - (17)</td> <td>構造物等取壊し工 コンクリートブロック取壊し (Type A)</td> <td>519</td> <td>m²</td> <td></td> <td></td> <td></td> </tr> <tr> <td>74</td> <td>18 - (17)</td> <td>構造物等取壊し工 コンクリートブロック取壊し (Type B)</td> <td>135</td> <td>m²</td> <td></td> <td></td> <td></td> </tr> <tr> <td>75</td> <td>18 - (17)</td> <td>構造物等取壊し工 コンクリート構造物取壊し (Type A)</td> <td>2</td> <td>m³</td> <td></td> <td></td> <td></td> </tr> <tr> <td>76</td> <td>18 - (17)</td> <td>構造物等取壊し工 コンクリート構造物取壊し (Type B)</td> <td>3</td> <td>m³</td> <td></td> <td></td> <td></td> </tr> <tr> <td>77</td> <td>19 - (1)</td> <td>交通規制工 車線規制 I × 1 × 0</td> <td>10</td> <td>回</td> <td></td> <td></td> <td></td> </tr> <tr> <td>78</td> <td>19 - (2)</td> <td>交通誘導警備員 B</td> <td>144</td> <td>人・日</td> <td></td> <td></td> <td></td> </tr> <tr> <td>79</td> <td>19 - (2)</td> <td>交通保安要員 交通監視員</td> <td>20</td> <td>人・日</td> <td></td> <td></td> <td></td> </tr> <tr> <td>80</td> <td>特 - (1)</td> <td>衝突防止構造 衝突防止装置設置工</td> <td>10</td> <td>箇所</td> <td></td> <td></td> <td></td> </tr> <tr> <td>81</td> <td>特 - (2)</td> <td>水平力分担構造 A</td> <td>10</td> <td>基</td> <td></td> <td></td> <td></td> </tr> <tr> <td>82</td> <td>特 - (2)</td> <td>水平力分担構造 B</td> <td>10</td> <td>基</td> <td></td> <td></td> <td></td> </tr> <tr> <td>83</td> <td>特 - (3)</td> <td>鋼製ブラケット 設置</td> <td>225.71</td> <td>t</td> <td></td> <td></td> <td></td> </tr> <tr> <td>84</td> <td>特 - (4)</td> <td>仮受ブラケット 設置撤去</td> <td>281.28</td> <td>t</td> <td></td> <td></td> <td></td> </tr> </tbody> </table>	番号	項目番号	項 目	数量	単位	単 価	金 額	摘要	73	18 - (17)	構造物等取壊し工 コンクリートブロック取壊し (Type A)	519	m ²				74	18 - (17)	構造物等取壊し工 コンクリートブロック取壊し (Type B)	135	m ²				75	18 - (17)	構造物等取壊し工 コンクリート構造物取壊し (Type A)	2	m ³				76	18 - (17)	構造物等取壊し工 コンクリート構造物取壊し (Type B)	3	m ³				77	19 - (1)	交通規制工 車線規制 I × 1 × 0	10	回				78	19 - (2)	交通誘導警備員 B	144	人・日				79	19 - (2)	交通保安要員 交通監視員	20	人・日				80	特 - (1)	衝突防止構造 衝突防止装置設置工	10	箇所				81	特 - (2)	水平力分担構造 A	10	基				82	特 - (2)	水平力分担構造 B	10	基				83	特 - (3)	鋼製ブラケット 設置	225.71	t				84	特 - (4)	仮受ブラケット 設置撤去	281.28	t			
番号	項目番号	項 目	数量	単位	単 価	金 額	摘要																																																																																																		
73	18 - (17)	構造物等取壊し工 コンクリートブロック取壊し (Type A)	519	m ²																																																																																																					
74	18 - (17)	構造物等取壊し工 コンクリートブロック取壊し (Type B)	135	m ²																																																																																																					
75	18 - (17)	構造物等取壊し工 コンクリート構造物取壊し (Type A)	2	m ³																																																																																																					
76	18 - (17)	構造物等取壊し工 コンクリート構造物取壊し (Type B)	3	m ³																																																																																																					
77	19 - (1)	交通規制工 車線規制 I × 1 × 0	10	回																																																																																																					
78	19 - (2)	交通誘導警備員 B	144	人・日																																																																																																					
79	19 - (2)	交通保安要員 交通監視員	20	人・日																																																																																																					
80	特 - (1)	衝突防止構造 衝突防止装置設置工	10	箇所																																																																																																					
81	特 - (2)	水平力分担構造 A	10	基																																																																																																					
82	特 - (2)	水平力分担構造 B	10	基																																																																																																					
83	特 - (3)	鋼製ブラケット 設置	225.71	t																																																																																																					
84	特 - (4)	仮受ブラケット 設置撤去	281.28	t																																																																																																					
正	<p style="text-align: center;">単 価 表</p> <table border="1" style="width: 100%; border-collapse: collapse;"> <thead> <tr> <th>番号</th> <th>項目番号</th> <th>項 目</th> <th>数量</th> <th>単位</th> <th>単 価</th> <th>金 額</th> <th>摘要</th> </tr> </thead> <tbody> <tr> <td>73</td> <td>18 - (17)</td> <td>構造物等取壊し工 コンクリートブロック取壊し (Type A)</td> <td>519</td> <td>m²</td> <td></td> <td></td> <td></td> </tr> <tr> <td>74</td> <td>18 - (17)</td> <td>構造物等取壊し工 コンクリートブロック取壊し (Type B)</td> <td>135</td> <td>m²</td> <td></td> <td></td> <td></td> </tr> <tr> <td>75</td> <td>18 - (17)</td> <td>構造物等取壊し工 コンクリート構造物取壊し (Type A)</td> <td>2</td> <td>m³</td> <td></td> <td></td> <td></td> </tr> <tr> <td>76</td> <td>18 - (17)</td> <td>構造物等取壊し工 コンクリート構造物取壊し (Type B)</td> <td>3</td> <td>m³</td> <td></td> <td></td> <td></td> </tr> <tr> <td>77</td> <td>19 - (1)</td> <td>交通規制工 車線規制 I × 1 × 0</td> <td>10</td> <td>回</td> <td></td> <td></td> <td></td> </tr> <tr> <td>78</td> <td>19 - (2)</td> <td>交通誘導警備員 B</td> <td>144</td> <td>人・日</td> <td></td> <td></td> <td></td> </tr> <tr> <td>79</td> <td>19 - (2)</td> <td>交通保安要員 交通監視員</td> <td>20</td> <td>人・日</td> <td></td> <td></td> <td></td> </tr> <tr> <td>80</td> <td>特 - (1)</td> <td>衝突防止構造 衝突防止装置設置工</td> <td>10</td> <td>箇所</td> <td></td> <td></td> <td></td> </tr> <tr> <td>81</td> <td>特 - (2)</td> <td>水平力分担構造 A</td> <td>10</td> <td>基</td> <td></td> <td></td> <td></td> </tr> <tr> <td>82</td> <td>特 - (2)</td> <td>水平力分担構造 B</td> <td>10</td> <td>基</td> <td></td> <td></td> <td></td> </tr> <tr> <td>83</td> <td>特 - (3)</td> <td>鋼製ブラケット 設置</td> <td>225.64</td> <td>t</td> <td></td> <td></td> <td></td> </tr> <tr> <td>84</td> <td>特 - (4)</td> <td>仮受ブラケット 設置撤去</td> <td>280.83</td> <td>t</td> <td></td> <td></td> <td></td> </tr> </tbody> </table>	番号	項目番号	項 目	数量	単位	単 価	金 額	摘要	73	18 - (17)	構造物等取壊し工 コンクリートブロック取壊し (Type A)	519	m ²				74	18 - (17)	構造物等取壊し工 コンクリートブロック取壊し (Type B)	135	m ²				75	18 - (17)	構造物等取壊し工 コンクリート構造物取壊し (Type A)	2	m ³				76	18 - (17)	構造物等取壊し工 コンクリート構造物取壊し (Type B)	3	m ³				77	19 - (1)	交通規制工 車線規制 I × 1 × 0	10	回				78	19 - (2)	交通誘導警備員 B	144	人・日				79	19 - (2)	交通保安要員 交通監視員	20	人・日				80	特 - (1)	衝突防止構造 衝突防止装置設置工	10	箇所				81	特 - (2)	水平力分担構造 A	10	基				82	特 - (2)	水平力分担構造 B	10	基				83	特 - (3)	鋼製ブラケット 設置	225.64	t				84	特 - (4)	仮受ブラケット 設置撤去	280.83	t			
番号	項目番号	項 目	数量	単位	単 価	金 額	摘要																																																																																																		
73	18 - (17)	構造物等取壊し工 コンクリートブロック取壊し (Type A)	519	m ²																																																																																																					
74	18 - (17)	構造物等取壊し工 コンクリートブロック取壊し (Type B)	135	m ²																																																																																																					
75	18 - (17)	構造物等取壊し工 コンクリート構造物取壊し (Type A)	2	m ³																																																																																																					
76	18 - (17)	構造物等取壊し工 コンクリート構造物取壊し (Type B)	3	m ³																																																																																																					
77	19 - (1)	交通規制工 車線規制 I × 1 × 0	10	回																																																																																																					
78	19 - (2)	交通誘導警備員 B	144	人・日																																																																																																					
79	19 - (2)	交通保安要員 交通監視員	20	人・日																																																																																																					
80	特 - (1)	衝突防止構造 衝突防止装置設置工	10	箇所																																																																																																					
81	特 - (2)	水平力分担構造 A	10	基																																																																																																					
82	特 - (2)	水平力分担構造 B	10	基																																																																																																					
83	特 - (3)	鋼製ブラケット 設置	225.64	t																																																																																																					
84	特 - (4)	仮受ブラケット 設置撤去	280.83	t																																																																																																					
備考	金抜設計書 単価表 数量の修正																																																																																																								

対象	設計図 数量総括表 (その1) (2/6)																																																																																																																																																																																																																																																																																																																																																																																																																																																																																																																																																																																																																																																																																																																																																																																																																																																																																																																																																																																																																																																																																																																																																																																																																																																																																																																																																																																																																																																																																																																																																																																																																																																																																																																																																																																																																																																							
誤	<p style="text-align: right;">2 / 6</p> <table border="1" style="width: 100%; border-collapse: collapse;"> <thead> <tr> <th colspan="2" rowspan="3">橋梁名称 上り線／下り線</th> <th rowspan="3">NO.</th> <th colspan="20">数量総括表 (その1)</th> </tr> <tr> <th colspan="2">(1)</th> <th colspan="2">(2)</th> <th colspan="2">(3)</th> <th colspan="2">(4)</th> <th colspan="2">(5)</th> <th colspan="2">(6)</th> <th colspan="2">(7)</th> <th colspan="2">(8)</th> <th colspan="2">(9)</th> <th colspan="2">(10)</th> <th colspan="2">(11)</th> <th colspan="2">(12)</th> <th colspan="2">(13)</th> <th colspan="2">(14)</th> <th colspan="2">(15)</th> <th colspan="2">(16)</th> <th colspan="2">(17)</th> <th colspan="2">(18)</th> <th colspan="2">(19)</th> <th colspan="2">(20)</th> </tr> <tr> <th colspan="2">2-(6)</th> <th colspan="2">4-(15)</th> <th colspan="2">8-(1)</th> <th colspan="2">8-(2)</th> <th colspan="2">8-(3)</th> <th colspan="2">11-(3)</th> <th colspan="2">11-(4)</th> <th colspan="2">11-(5)</th> <th colspan="2">11-(6)</th> <th colspan="2">11-(7)</th> <th colspan="2">11-(8)</th> <th colspan="2">11-(9)</th> <th colspan="2">11-(10)</th> <th colspan="2">11-(11)</th> <th colspan="2">11-(12)</th> <th colspan="2">11-(13)</th> <th colspan="2">11-(14)</th> <th colspan="2">11-(15)</th> <th colspan="2">11-(16)</th> <th colspan="2">11-(17)</th> <th colspan="2">11-(18)</th> <th colspan="2">11-(19)</th> <th colspan="2">11-(20)</th> </tr> </thead> <tbody> <tr> <td colspan="2">構造物掘削</td> <td colspan="2">構部項目</td> <td colspan="2">普通部 A</td> <td colspan="2">普通部 B</td> <td colspan="2">特殊部 A</td> <td colspan="2">特殊部 B</td> <td colspan="2">コンクリートブロック裏</td> <td colspan="2">コンクリートトボック</td> <td colspan="2">型わく</td> <td colspan="2">鉄筋</td> <td colspan="2">排水装置</td> <td colspan="2">検査路</td> <td colspan="2">防護柵撤去設置工</td> <td colspan="2">立入防止柵撤去設置工</td> <td colspan="2">端端柵撤工</td> </tr> <tr> <td colspan="2">名称及び測点区分</td> <td colspan="2">A</td> <td colspan="2">B</td> <td colspan="2">A</td> <td colspan="2">B</td> <td colspan="2">A</td> <td colspan="2">B</td> <td colspan="2">C</td> <td colspan="2">T H</td> <td colspan="2">T 1</td> <td colspan="2">T 2</td> <td colspan="2">排水管 A</td> <td colspan="2">B</td> <td colspan="2">B</td> <td colspan="2">ガードレール A</td> <td colspan="2">ガードレール B</td> <td colspan="2">一般型非積雪地用</td> <td colspan="2">コンクリート</td> <td colspan="2">型わく</td> <td colspan="2">鉄筋</td> <td colspan="2">アンカーワーク φ 26・250</td> </tr> <tr> <td colspan="2">単位</td> <td>m³</td> <td>m³</td> <td>m²</td> <td>t</td> <td>箇所</td> <td>m</td> <td>k g</td> <td>k g</td> <td>m</td> </tr> <tr> <td colspan="2">思川橋</td> <td>A1橋台</td> <td>42.3</td> <td></td> </tr> <tr> <td colspan="2">上り線</td> <td>P1</td> <td>18.1</td> <td></td> </tr> <tr> <td colspan="2">P2</td> <td>16.5</td> <td></td> </tr> <tr> <td colspan="2">P3</td> <td>12</td> <td></td> </tr> <tr> <td colspan="2">P4</td> <td>15.3</td> <td></td> </tr> <tr> <td colspan="2">P5</td> <td>15.0</td> <td></td> </tr> <tr> <td colspan="2">P6</td> <td>15.0</td> <td></td> </tr> <tr> <td colspan="2">A1</td> <td></td> </tr> <tr> <td colspan="2">A2</td> <td></td> </tr> <tr> <td colspan="2">P7</td> <td>27.4</td> <td></td> </tr> <tr> <td colspan="2">P8</td> <td>6.3</td> <td></td> </tr> <tr> <td colspan="2">P9</td> <td>26.0</td> <td></td> </tr> <tr> <td colspan="2">P10</td> <td>25.8</td> <td></td> </tr> <tr> <td colspan="2">P11</td> <td>86.9</td> <td></td> </tr> <tr> <td colspan="2">P12</td> <td>358.5</td> <td></td> </tr> <tr> <td colspan="2">P13</td> <td>27.2</td> <td></td> </tr> <tr> <td colspan="2">P14</td> <td>6.5</td> <td></td> </tr> <tr> <td colspan="2">P15</td> <td>26.5</td> <td></td> </tr> <tr> <td colspan="2">P16</td> <td>25.7</td> <td></td> </tr> <tr> <td colspan="2">P17</td> <td>85.9</td> <td></td> </tr> <tr> <td colspan="2">A1</td> <td>85.9</td> <td></td> </tr> <tr> <td colspan="2">A2</td> <td>172.1</td> <td></td> </tr> <tr> <td colspan="2">合計</td> <td>2,059.1</td> <td>76.9</td> <td>49.5</td> <td>457.7</td> <td>289.7</td> <td>42.6</td> <td>1,206.4</td> <td>31.319</td> <td>392</td> <td>92.7</td> <td>5,166.0</td> <td>26,177.0</td> <td>44.0</td> <td>41.0</td> <td>94.0</td> <td>616.7</td> <td>1,644.9</td> <td>90,672</td> <td>200</td> </tr> <tr> <td colspan="2">黒川橋</td> <td>A1橋台</td> <td>181.7</td> <td></td> </tr> <tr> <td colspan="2">上り線</td> <td>P1</td> <td>18.1</td> <td></td> </tr> <tr> <td colspan="2">P2</td> <td>24.1</td> <td>43.8</td> <td></td> </tr> <tr> <td colspan="2">P3</td> <td>205.9</td> <td>33.1</td> <td></td> </tr> <tr> <td colspan="2">P4</td> <td>222.4</td> <td></td> </tr> <tr> <td colspan="2">P5</td> <td>428.3</td> <td>33.1</td> <td></td> </tr> <tr> <td colspan="2">P6</td> <td>859.1</td> <td>76.9</td> <td></td> </tr> <tr> <td colspan="2">A1</td> <td>121.3</td> <td></td> </tr> <tr> <td colspan="2">A2</td> <td>27.4</td> <td></td> </tr> <tr> <td colspan="2">P7</td> <td>199.2</td> <td></td> </tr> <tr> <td colspan="2">P8</td> <td>198.9</td> <td></td> </tr> <tr> <td colspan="2">P9</td> <td>559.4</td> <td></td> </tr> <tr> <td colspan="2">P10</td> <td>106.9</td> <td></td> </tr> <tr> <td colspan="2">P11</td> <td>245.6</td> <td></td> </tr> <tr> <td colspan="2">P12</td> <td>210.1</td> <td></td> </tr> <tr> <td colspan="2">P13</td> <td>562.6</td> <td></td> </tr> <tr> <td colspan="2">P14</td> <td>1,122.0</td> <td></td> </tr> <tr> <td colspan="2">合計</td> <td>2,059.1</td> <td>76.9</td> <td>49.5</td> <td>457.7</td> <td>289.7</td> <td>42.6</td> <td>1,206.4</td> <td>31.319</td> <td>392</td> <td>92.7</td> <td>5,166.0</td> <td>26,177.0</td> <td>44.0</td> <td>41.0</td> <td>94.0</td> <td>616.7</td> <td>1,644.9</td> <td>90,672</td> <td>200</td> </tr> <tr> <td colspan="2">木村橋</td> <td>A1橋台</td> <td>13.8</td> <td></td> </tr> <tr> <td colspan="2">上り線</td> <td>P1</td> <td>13.8</td> <td></td> </tr> <tr> <td colspan="2">P2</td> <td>12.9</td> <td></td> </tr> <tr> <td colspan="2">P3</td> <td>12.9</td> <td></td> </tr> <tr> <td colspan="2">P4</td> <td>25.3</td> <td></td> </tr> <tr> <td colspan="2">P5</td> <td>42.6</td> <td></td> </tr> <tr> <td colspan="2">合計</td> <td>13.8</td> <td></td> </tr> <tr> <td colspan="2">正</td> <td>A1橋台</td> <td>13.8</td> <td></td> </tr> <tr> <td colspan="2">上り線</td> <td>P1</td> <td>13.8</td> <td></td> </tr> <tr> <td colspan="2">P2</td> <td>12.9</td> <td></td> </tr> <tr> <td colspan="2">P3</td> <td>12.9</td> <td></td> </tr> <tr> <td colspan="2">P4</td> <td>25.3</td> <td></td> </tr> <tr> <td colspan="2">P5</td> <td>42.6</td> <td></td> </tr> <tr> <td colspan="2">合計</td> <td>13.8</td> <td></td> </tr> <tr> <td colspan="2">吹上橋</td> <td>A1橋台</td> <td>7</td> <td></td> </tr> <tr> <td colspan="2">上り線</td> <td>P1</td> <td>7</td> <td></td> </tr> <tr> <td colspan="2">P2</td> <td>6.8</td> <td></td> </tr> <tr> <td colspan="2">P3</td> <td>14.3</td> <td></td> </tr> <tr> <td colspan="2">P4</td> <td>26.0</td> <td></td> </tr> <tr> <td colspan="2">P5</td> <td>25.8</td> <td></td> </tr> <tr> <td colspan="2">P6</td> <td>86.2</td> <td></td> </tr> <tr> <td colspan="2">P7</td> <td>358.5</td> <td></td> </tr> <tr> <td colspan="2">P8</td> <td>27.8</td> <td></td> <td></td> <td></td> <td></td> <td></td> <td></td> <td></td> <td></td> <td></td> </tr> <tr> <td colspan="2">P9</td> <td>115.1</td> <td></td> <td></td> <td></td> <td></td> <td></td> <td></td> <td></td> <td></td> </tr> <tr> <td colspan="2">P10</td> <td>23.5</td> <td></td> <td></td> <td></td> <td></td> <td></td> <td></td> <td></td> </tr> <tr> <td colspan="2">P11</td> <td>1,344</td> <td></td> <td></td> <td></td> <td></td> <td></td> <td></td> <td></td> </tr> <tr> <td colspan="2">P12</td> <td>2,511.0</td> <td></td> <td></td> <td></td> <td></td> <td</tr></tbody></table>	橋梁名称 上り線／下り線		NO.	数量総括表 (その1)																				(1)		(2)		(3)		(4)		(5)		(6)		(7)		(8)		(9)		(10)		(11)		(12)		(13)		(14)		(15)		(16)		(17)		(18)		(19)		(20)		2-(6)		4-(15)		8-(1)		8-(2)		8-(3)		11-(3)		11-(4)		11-(5)		11-(6)		11-(7)		11-(8)		11-(9)		11-(10)		11-(11)		11-(12)		11-(13)		11-(14)		11-(15)		11-(16)		11-(17)		11-(18)		11-(19)		11-(20)		構造物掘削		構部項目		普通部 A		普通部 B		特殊部 A		特殊部 B		コンクリートブロック裏		コンクリートトボック		型わく		鉄筋		排水装置		検査路		防護柵撤去設置工		立入防止柵撤去設置工		端端柵撤工		名称及び測点区分		A		B		A		B		A		B		C		T H		T 1		T 2		排水管 A		B		B		ガードレール A		ガードレール B		一般型非積雪地用		コンクリート		型わく		鉄筋		アンカーワーク φ 26・250		単位		m ³	m ³	m ²	t	箇所	m	k g	k g	m	m	m	m	m	m	m	m	m	m	m	m	m	m	m	m	m	思川橋		A1橋台	42.3																																			上り線		P1	18.1																																			P2		16.5																																			P3		12																																		P4		15.3																																		P5		15.0																																	P6		15.0																																	A1																																				A2																																			P7		27.4																																	P8		6.3																																P9		26.0																															P10		25.8																															P11		86.9																														P12		358.5																														P13		27.2																													P14		6.5																												P15		26.5																												P16		25.7																											P17		85.9																											A1		85.9																											A2		172.1																										合計		2,059.1	76.9	49.5	457.7	289.7	42.6	1,206.4	31.319	392	92.7	5,166.0	26,177.0	44.0	41.0	94.0	616.7	1,644.9	90,672	200	黒川橋		A1橋台	181.7																										上り線		P1	18.1																								P2		24.1	43.8																						P3		205.9	33.1																					P4		222.4																					P5		428.3	33.1																			P6		859.1	76.9																		A1		121.3																					A2		27.4																				P7		199.2																			P8		198.9																		P9		559.4																	P10		106.9																P11		245.6															P12		210.1														P13		562.6														P14		1,122.0													合計		2,059.1	76.9	49.5	457.7	289.7	42.6	1,206.4	31.319	392	92.7	5,166.0	26,177.0	44.0	41.0	94.0	616.7	1,644.9	90,672	200	木村橋		A1橋台	13.8																				上り線		P1	13.8																		P2		12.9																	P3		12.9																P4		25.3																P5		42.6														合計		13.8														正		A1橋台	13.8																		上り線		P1	13.8																P2		12.9															P3		12.9														P4		25.3													P5		42.6											合計		13.8											吹上橋		A1橋台	7																	上り線		P1	7																P2		6.8															P3		14.3														P4		26.0													P5		25.8												P6		86.2												P7		358.5											P8		27.8										P9		115.1									P10		23.5								P11		1,344								P12		2,511.0																									
橋梁名称 上り線／下り線					NO.	数量総括表 (その1)																																																																																																																																																																																																																																																																																																																																																																																																																																																																																																																																																																																																																																																																																																																																																																																																																																																																																																																																																																																																																																																																																																																																																																																																																																																																																																																																																																																																																																																																																																																																																																																																																																																																																																																																																																																																																																																		
						(1)		(2)		(3)		(4)		(5)		(6)		(7)		(8)		(9)		(10)		(11)		(12)		(13)		(14)		(15)		(16)		(17)		(18)		(19)		(20)																																																																																																																																																																																																																																																																																																																																																																																																																																																																																																																																																																																																																																																																																																																																																																																																																																																																																																																																																																																																																																																																																																																																																																																																																																																																																																																																																																																																																																																																																																																																																																																																																																																																																																																																																																																																												
		2-(6)		4-(15)		8-(1)		8-(2)		8-(3)		11-(3)		11-(4)		11-(5)		11-(6)		11-(7)		11-(8)		11-(9)		11-(10)		11-(11)		11-(12)		11-(13)		11-(14)		11-(15)		11-(16)		11-(17)		11-(18)		11-(19)		11-(20)																																																																																																																																																																																																																																																																																																																																																																																																																																																																																																																																																																																																																																																																																																																																																																																																																																																																																																																																																																																																																																																																																																																																																																																																																																																																																																																																																																																																																																																																																																																																																																																																																																																																																																																																																																																																										
構造物掘削		構部項目		普通部 A		普通部 B		特殊部 A		特殊部 B		コンクリートブロック裏		コンクリートトボック		型わく		鉄筋		排水装置		検査路		防護柵撤去設置工		立入防止柵撤去設置工		端端柵撤工		端端柵撤工		端端柵撤工		端端柵撤工		端端柵撤工		端端柵撤工		端端柵撤工																																																																																																																																																																																																																																																																																																																																																																																																																																																																																																																																																																																																																																																																																																																																																																																																																																																																																																																																																																																																																																																																																																																																																																																																																																																																																																																																																																																																																																																																																																																																																																																																																																																																																																																																																																																																																
名称及び測点区分		A		B		A		B		A		B		C		T H		T 1		T 2		排水管 A		B		B		ガードレール A		ガードレール B		一般型非積雪地用		コンクリート		型わく		鉄筋		アンカーワーク φ 26・250																																																																																																																																																																																																																																																																																																																																																																																																																																																																																																																																																																																																																																																																																																																																																																																																																																																																																																																																																																																																																																																																																																																																																																																																																																																																																																																																																																																																																																																																																																																																																																																																																																																																																																																																																																																																																
単位		m ³	m ³	m ²	t	箇所	m	k g	k g	m	m	m	m	m	m	m	m	m	m	m	m	m	m	m	m	m																																																																																																																																																																																																																																																																																																																																																																																																																																																																																																																																																																																																																																																																																																																																																																																																																																																																																																																																																																																																																																																																																																																																																																																																																																																																																																																																																																																																																																																																																																																																																																																																																																																																																																																																																																																																																														
思川橋		A1橋台	42.3																																																																																																																																																																																																																																																																																																																																																																																																																																																																																																																																																																																																																																																																																																																																																																																																																																																																																																																																																																																																																																																																																																																																																																																																																																																																																																																																																																																																																																																																																																																																																																																																																																																																																																																																																																																																																																																					
上り線		P1	18.1																																																																																																																																																																																																																																																																																																																																																																																																																																																																																																																																																																																																																																																																																																																																																																																																																																																																																																																																																																																																																																																																																																																																																																																																																																																																																																																																																																																																																																																																																																																																																																																																																																																																																																																																																																																																																																																					
P2		16.5																																																																																																																																																																																																																																																																																																																																																																																																																																																																																																																																																																																																																																																																																																																																																																																																																																																																																																																																																																																																																																																																																																																																																																																																																																																																																																																																																																																																																																																																																																																																																																																																																																																																																																																																																																																																																																																						
P3		12																																																																																																																																																																																																																																																																																																																																																																																																																																																																																																																																																																																																																																																																																																																																																																																																																																																																																																																																																																																																																																																																																																																																																																																																																																																																																																																																																																																																																																																																																																																																																																																																																																																																																																																																																																																																																																																						
P4		15.3																																																																																																																																																																																																																																																																																																																																																																																																																																																																																																																																																																																																																																																																																																																																																																																																																																																																																																																																																																																																																																																																																																																																																																																																																																																																																																																																																																																																																																																																																																																																																																																																																																																																																																																																																																																																																																																						
P5		15.0																																																																																																																																																																																																																																																																																																																																																																																																																																																																																																																																																																																																																																																																																																																																																																																																																																																																																																																																																																																																																																																																																																																																																																																																																																																																																																																																																																																																																																																																																																																																																																																																																																																																																																																																																																																																																																																						
P6		15.0																																																																																																																																																																																																																																																																																																																																																																																																																																																																																																																																																																																																																																																																																																																																																																																																																																																																																																																																																																																																																																																																																																																																																																																																																																																																																																																																																																																																																																																																																																																																																																																																																																																																																																																																																																																																																																																						
A1																																																																																																																																																																																																																																																																																																																																																																																																																																																																																																																																																																																																																																																																																																																																																																																																																																																																																																																																																																																																																																																																																																																																																																																																																																																																																																																																																																																																																																																																																																																																																																																																																																																																																																																																																																																																																																																								
A2																																																																																																																																																																																																																																																																																																																																																																																																																																																																																																																																																																																																																																																																																																																																																																																																																																																																																																																																																																																																																																																																																																																																																																																																																																																																																																																																																																																																																																																																																																																																																																																																																																																																																																																																																																																																																																																								
P7		27.4																																																																																																																																																																																																																																																																																																																																																																																																																																																																																																																																																																																																																																																																																																																																																																																																																																																																																																																																																																																																																																																																																																																																																																																																																																																																																																																																																																																																																																																																																																																																																																																																																																																																																																																																																																																																																																																						
P8		6.3																																																																																																																																																																																																																																																																																																																																																																																																																																																																																																																																																																																																																																																																																																																																																																																																																																																																																																																																																																																																																																																																																																																																																																																																																																																																																																																																																																																																																																																																																																																																																																																																																																																																																																																																																																																																																																																						
P9		26.0																																																																																																																																																																																																																																																																																																																																																																																																																																																																																																																																																																																																																																																																																																																																																																																																																																																																																																																																																																																																																																																																																																																																																																																																																																																																																																																																																																																																																																																																																																																																																																																																																																																																																																																																																																																																																																																						
P10		25.8																																																																																																																																																																																																																																																																																																																																																																																																																																																																																																																																																																																																																																																																																																																																																																																																																																																																																																																																																																																																																																																																																																																																																																																																																																																																																																																																																																																																																																																																																																																																																																																																																																																																																																																																																																																																																																																						
P11		86.9																																																																																																																																																																																																																																																																																																																																																																																																																																																																																																																																																																																																																																																																																																																																																																																																																																																																																																																																																																																																																																																																																																																																																																																																																																																																																																																																																																																																																																																																																																																																																																																																																																																																																																																																																																																																																																																						
P12		358.5																																																																																																																																																																																																																																																																																																																																																																																																																																																																																																																																																																																																																																																																																																																																																																																																																																																																																																																																																																																																																																																																																																																																																																																																																																																																																																																																																																																																																																																																																																																																																																																																																																																																																																																																																																																																																																																						
P13		27.2																																																																																																																																																																																																																																																																																																																																																																																																																																																																																																																																																																																																																																																																																																																																																																																																																																																																																																																																																																																																																																																																																																																																																																																																																																																																																																																																																																																																																																																																																																																																																																																																																																																																																																																																																																																																																																																						
P14		6.5																																																																																																																																																																																																																																																																																																																																																																																																																																																																																																																																																																																																																																																																																																																																																																																																																																																																																																																																																																																																																																																																																																																																																																																																																																																																																																																																																																																																																																																																																																																																																																																																																																																																																																																																																																																																																																																						
P15		26.5																																																																																																																																																																																																																																																																																																																																																																																																																																																																																																																																																																																																																																																																																																																																																																																																																																																																																																																																																																																																																																																																																																																																																																																																																																																																																																																																																																																																																																																																																																																																																																																																																																																																																																																																																																																																																																																						
P16		25.7																																																																																																																																																																																																																																																																																																																																																																																																																																																																																																																																																																																																																																																																																																																																																																																																																																																																																																																																																																																																																																																																																																																																																																																																																																																																																																																																																																																																																																																																																																																																																																																																																																																																																																																																																																																																																																																						
P17		85.9																																																																																																																																																																																																																																																																																																																																																																																																																																																																																																																																																																																																																																																																																																																																																																																																																																																																																																																																																																																																																																																																																																																																																																																																																																																																																																																																																																																																																																																																																																																																																																																																																																																																																																																																																																																																																																																						
A1		85.9																																																																																																																																																																																																																																																																																																																																																																																																																																																																																																																																																																																																																																																																																																																																																																																																																																																																																																																																																																																																																																																																																																																																																																																																																																																																																																																																																																																																																																																																																																																																																																																																																																																																																																																																																																																																																																																						
A2		172.1																																																																																																																																																																																																																																																																																																																																																																																																																																																																																																																																																																																																																																																																																																																																																																																																																																																																																																																																																																																																																																																																																																																																																																																																																																																																																																																																																																																																																																																																																																																																																																																																																																																																																																																																																																																																																																																						
合計		2,059.1	76.9	49.5	457.7	289.7	42.6	1,206.4	31.319	392	92.7	5,166.0	26,177.0	44.0	41.0	94.0	616.7	1,644.9	90,672	200																																																																																																																																																																																																																																																																																																																																																																																																																																																																																																																																																																																																																																																																																																																																																																																																																																																																																																																																																																																																																																																																																																																																																																																																																																																																																																																																																																																																																																																																																																																																																																																																																																																																																																																																																																																																																																				
黒川橋		A1橋台	181.7																																																																																																																																																																																																																																																																																																																																																																																																																																																																																																																																																																																																																																																																																																																																																																																																																																																																																																																																																																																																																																																																																																																																																																																																																																																																																																																																																																																																																																																																																																																																																																																																																																																																																																																																																																																																																																																					
上り線		P1	18.1																																																																																																																																																																																																																																																																																																																																																																																																																																																																																																																																																																																																																																																																																																																																																																																																																																																																																																																																																																																																																																																																																																																																																																																																																																																																																																																																																																																																																																																																																																																																																																																																																																																																																																																																																																																																																																																					
P2		24.1	43.8																																																																																																																																																																																																																																																																																																																																																																																																																																																																																																																																																																																																																																																																																																																																																																																																																																																																																																																																																																																																																																																																																																																																																																																																																																																																																																																																																																																																																																																																																																																																																																																																																																																																																																																																																																																																																																																					
P3		205.9	33.1																																																																																																																																																																																																																																																																																																																																																																																																																																																																																																																																																																																																																																																																																																																																																																																																																																																																																																																																																																																																																																																																																																																																																																																																																																																																																																																																																																																																																																																																																																																																																																																																																																																																																																																																																																																																																																																					
P4		222.4																																																																																																																																																																																																																																																																																																																																																																																																																																																																																																																																																																																																																																																																																																																																																																																																																																																																																																																																																																																																																																																																																																																																																																																																																																																																																																																																																																																																																																																																																																																																																																																																																																																																																																																																																																																																																																																						
P5		428.3	33.1																																																																																																																																																																																																																																																																																																																																																																																																																																																																																																																																																																																																																																																																																																																																																																																																																																																																																																																																																																																																																																																																																																																																																																																																																																																																																																																																																																																																																																																																																																																																																																																																																																																																																																																																																																																																																																																					
P6		859.1	76.9																																																																																																																																																																																																																																																																																																																																																																																																																																																																																																																																																																																																																																																																																																																																																																																																																																																																																																																																																																																																																																																																																																																																																																																																																																																																																																																																																																																																																																																																																																																																																																																																																																																																																																																																																																																																																																																					
A1		121.3																																																																																																																																																																																																																																																																																																																																																																																																																																																																																																																																																																																																																																																																																																																																																																																																																																																																																																																																																																																																																																																																																																																																																																																																																																																																																																																																																																																																																																																																																																																																																																																																																																																																																																																																																																																																																																																						
A2		27.4																																																																																																																																																																																																																																																																																																																																																																																																																																																																																																																																																																																																																																																																																																																																																																																																																																																																																																																																																																																																																																																																																																																																																																																																																																																																																																																																																																																																																																																																																																																																																																																																																																																																																																																																																																																																																																																						
P7		199.2																																																																																																																																																																																																																																																																																																																																																																																																																																																																																																																																																																																																																																																																																																																																																																																																																																																																																																																																																																																																																																																																																																																																																																																																																																																																																																																																																																																																																																																																																																																																																																																																																																																																																																																																																																																																																																																						
P8		198.9																																																																																																																																																																																																																																																																																																																																																																																																																																																																																																																																																																																																																																																																																																																																																																																																																																																																																																																																																																																																																																																																																																																																																																																																																																																																																																																																																																																																																																																																																																																																																																																																																																																																																																																																																																																																																																																						
P9		559.4																																																																																																																																																																																																																																																																																																																																																																																																																																																																																																																																																																																																																																																																																																																																																																																																																																																																																																																																																																																																																																																																																																																																																																																																																																																																																																																																																																																																																																																																																																																																																																																																																																																																																																																																																																																																																																																						
P10		106.9																																																																																																																																																																																																																																																																																																																																																																																																																																																																																																																																																																																																																																																																																																																																																																																																																																																																																																																																																																																																																																																																																																																																																																																																																																																																																																																																																																																																																																																																																																																																																																																																																																																																																																																																																																																																																																																						
P11		245.6																																																																																																																																																																																																																																																																																																																																																																																																																																																																																																																																																																																																																																																																																																																																																																																																																																																																																																																																																																																																																																																																																																																																																																																																																																																																																																																																																																																																																																																																																																																																																																																																																																																																																																																																																																																																																																																						
P12		210.1																																																																																																																																																																																																																																																																																																																																																																																																																																																																																																																																																																																																																																																																																																																																																																																																																																																																																																																																																																																																																																																																																																																																																																																																																																																																																																																																																																																																																																																																																																																																																																																																																																																																																																																																																																																																																																																						
P13		562.6																																																																																																																																																																																																																																																																																																																																																																																																																																																																																																																																																																																																																																																																																																																																																																																																																																																																																																																																																																																																																																																																																																																																																																																																																																																																																																																																																																																																																																																																																																																																																																																																																																																																																																																																																																																																																																																						
P14		1,122.0																																																																																																																																																																																																																																																																																																																																																																																																																																																																																																																																																																																																																																																																																																																																																																																																																																																																																																																																																																																																																																																																																																																																																																																																																																																																																																																																																																																																																																																																																																																																																																																																																																																																																																																																																																																																																																																						
合計		2,059.1	76.9	49.5	457.7	289.7	42.6	1,206.4	31.319	392	92.7	5,166.0	26,177.0	44.0	41.0	94.0	616.7	1,644.9	90,672	200																																																																																																																																																																																																																																																																																																																																																																																																																																																																																																																																																																																																																																																																																																																																																																																																																																																																																																																																																																																																																																																																																																																																																																																																																																																																																																																																																																																																																																																																																																																																																																																																																																																																																																																																																																																																																																				
木村橋		A1橋台	13.8																																																																																																																																																																																																																																																																																																																																																																																																																																																																																																																																																																																																																																																																																																																																																																																																																																																																																																																																																																																																																																																																																																																																																																																																																																																																																																																																																																																																																																																																																																																																																																																																																																																																																																																																																																																																																																																					
上り線		P1	13.8																																																																																																																																																																																																																																																																																																																																																																																																																																																																																																																																																																																																																																																																																																																																																																																																																																																																																																																																																																																																																																																																																																																																																																																																																																																																																																																																																																																																																																																																																																																																																																																																																																																																																																																																																																																																																																																					
P2		12.9																																																																																																																																																																																																																																																																																																																																																																																																																																																																																																																																																																																																																																																																																																																																																																																																																																																																																																																																																																																																																																																																																																																																																																																																																																																																																																																																																																																																																																																																																																																																																																																																																																																																																																																																																																																																																																																						
P3		12.9																																																																																																																																																																																																																																																																																																																																																																																																																																																																																																																																																																																																																																																																																																																																																																																																																																																																																																																																																																																																																																																																																																																																																																																																																																																																																																																																																																																																																																																																																																																																																																																																																																																																																																																																																																																																																																																						
P4		25.3																																																																																																																																																																																																																																																																																																																																																																																																																																																																																																																																																																																																																																																																																																																																																																																																																																																																																																																																																																																																																																																																																																																																																																																																																																																																																																																																																																																																																																																																																																																																																																																																																																																																																																																																																																																																																																																						
P5		42.6																																																																																																																																																																																																																																																																																																																																																																																																																																																																																																																																																																																																																																																																																																																																																																																																																																																																																																																																																																																																																																																																																																																																																																																																																																																																																																																																																																																																																																																																																																																																																																																																																																																																																																																																																																																																																																																						
合計		13.8																																																																																																																																																																																																																																																																																																																																																																																																																																																																																																																																																																																																																																																																																																																																																																																																																																																																																																																																																																																																																																																																																																																																																																																																																																																																																																																																																																																																																																																																																																																																																																																																																																																																																																																																																																																																																																																						
正		A1橋台	13.8																																																																																																																																																																																																																																																																																																																																																																																																																																																																																																																																																																																																																																																																																																																																																																																																																																																																																																																																																																																																																																																																																																																																																																																																																																																																																																																																																																																																																																																																																																																																																																																																																																																																																																																																																																																																																																																					
上り線		P1	13.8																																																																																																																																																																																																																																																																																																																																																																																																																																																																																																																																																																																																																																																																																																																																																																																																																																																																																																																																																																																																																																																																																																																																																																																																																																																																																																																																																																																																																																																																																																																																																																																																																																																																																																																																																																																																																																																					
P2		12.9																																																																																																																																																																																																																																																																																																																																																																																																																																																																																																																																																																																																																																																																																																																																																																																																																																																																																																																																																																																																																																																																																																																																																																																																																																																																																																																																																																																																																																																																																																																																																																																																																																																																																																																																																																																																																																																						
P3		12.9																																																																																																																																																																																																																																																																																																																																																																																																																																																																																																																																																																																																																																																																																																																																																																																																																																																																																																																																																																																																																																																																																																																																																																																																																																																																																																																																																																																																																																																																																																																																																																																																																																																																																																																																																																																																																																																						
P4		25.3																																																																																																																																																																																																																																																																																																																																																																																																																																																																																																																																																																																																																																																																																																																																																																																																																																																																																																																																																																																																																																																																																																																																																																																																																																																																																																																																																																																																																																																																																																																																																																																																																																																																																																																																																																																																																																																						
P5		42.6																																																																																																																																																																																																																																																																																																																																																																																																																																																																																																																																																																																																																																																																																																																																																																																																																																																																																																																																																																																																																																																																																																																																																																																																																																																																																																																																																																																																																																																																																																																																																																																																																																																																																																																																																																																																																																																						
合計		13.8																																																																																																																																																																																																																																																																																																																																																																																																																																																																																																																																																																																																																																																																																																																																																																																																																																																																																																																																																																																																																																																																																																																																																																																																																																																																																																																																																																																																																																																																																																																																																																																																																																																																																																																																																																																																																																																						
吹上橋		A1橋台	7																																																																																																																																																																																																																																																																																																																																																																																																																																																																																																																																																																																																																																																																																																																																																																																																																																																																																																																																																																																																																																																																																																																																																																																																																																																																																																																																																																																																																																																																																																																																																																																																																																																																																																																																																																																																																																																					
上り線		P1	7																																																																																																																																																																																																																																																																																																																																																																																																																																																																																																																																																																																																																																																																																																																																																																																																																																																																																																																																																																																																																																																																																																																																																																																																																																																																																																																																																																																																																																																																																																																																																																																																																																																																																																																																																																																																																																																					
P2		6.8																																																																																																																																																																																																																																																																																																																																																																																																																																																																																																																																																																																																																																																																																																																																																																																																																																																																																																																																																																																																																																																																																																																																																																																																																																																																																																																																																																																																																																																																																																																																																																																																																																																																																																																																																																																																																																																						
P3		14.3																																																																																																																																																																																																																																																																																																																																																																																																																																																																																																																																																																																																																																																																																																																																																																																																																																																																																																																																																																																																																																																																																																																																																																																																																																																																																																																																																																																																																																																																																																																																																																																																																																																																																																																																																																																																																																																						
P4		26.0																																																																																																																																																																																																																																																																																																																																																																																																																																																																																																																																																																																																																																																																																																																																																																																																																																																																																																																																																																																																																																																																																																																																																																																																																																																																																																																																																																																																																																																																																																																																																																																																																																																																																																																																																																																																																																																						
P5		25.8																																																																																																																																																																																																																																																																																																																																																																																																																																																																																																																																																																																																																																																																																																																																																																																																																																																																																																																																																																																																																																																																																																																																																																																																																																																																																																																																																																																																																																																																																																																																																																																																																																																																																																																																																																																																																																																						
P6		86.2																																																																																																																																																																																																																																																																																																																																																																																																																																																																																																																																																																																																																																																																																																																																																																																																																																																																																																																																																																																																																																																																																																																																																																																																																																																																																																																																																																																																																																																																																																																																																																																																																																																																																																																																																																																																																																																						
P7		358.5																																																																																																																																																																																																																																																																																																																																																																																																																																																																																																																																																																																																																																																																																																																																																																																																																																																																																																																																																																																																																																																																																																																																																																																																																																																																																																																																																																																																																																																																																																																																																																																																																																																																																																																																																																																																																																																						
P8		27.8																																																																																																																																																																																																																																																																																																																																																																																																																																																																																																																																																																																																																																																																																																																																																																																																																																																																																																																																																																																																																																																																																																																																																																																																																																																																																																																																																																																																																																																																																																																																																																																																																																																																																																																																																																																																																																																						
P9		115.1																																																																																																																																																																																																																																																																																																																																																																																																																																																																																																																																																																																																																																																																																																																																																																																																																																																																																																																																																																																																																																																																																																																																																																																																																																																																																																																																																																																																																																																																																																																																																																																																																																																																																																																																																																																																																																																						
P10		23.5																																																																																																																																																																																																																																																																																																																																																																																																																																																																																																																																																																																																																																																																																																																																																																																																																																																																																																																																																																																																																																																																																																																																																																																																																																																																																																																																																																																																																																																																																																																																																																																																																																																																																																																																																																																																																																																						
P11		1,344																																																																																																																																																																																																																																																																																																																																																																																																																																																																																																																																																																																																																																																																																																																																																																																																																																																																																																																																																																																																																																																																																																																																																																																																																																																																																																																																																																																																																																																																																																																																																																																																																																																																																																																																																																																																																																																						
P12		2,511.0																																																																																																																																																																																																																																																																																																																																																																																																																																																																																																																																																																																																																																																																																																																																																																																																																																																																																																																																																																																																																																																																																																																																																																																																																																																																																																																																																																																																																																																																																																																																																																																																																																																																																																																																																																																																																																																						

対象	設計図 数量総括表 (その2) (3/6)																																																																																																																																																																																																																																																																																																																																																																																																																																																																																																																																																																																																																																																																																																																																																																																																																																																																																																																																																																																																																																																																																																																																																																																																																																																																																																																																																																																																																																																																																																																																																																																																																																																																																																																																																																																																																																																																																																																																																																																																																																																																																																																																																																																																																																																																																																																																																																																																																																																																																																																																																																																																																																																																																																																																																																																																																																																																																																																																																																																																																																																																																																																																																																																																																																																																																																																																																																																																																																																																																																																																																																																																																																																																																																																																																																																																																																																																																																																																																																																																																																																																																																																																																																																																																																																																																																																																																																																																																																																																																																																																																																																																																																																																																																																																																																																																																																																																																																																																																																																																																																																																																																																																																																																																																																																																																																																											
誤	<p style="text-align: center;">数 量 総 括 表 (その2)</p> <table border="1" style="width: 100%; border-collapse: collapse;"> <thead> <tr> <th rowspan="3">橋梁 名称 区分 下り線</th> <th rowspan="3">上り線 名称及び測点 区分</th> <th rowspan="3">単位</th> <th colspan="17">数量</th> <th rowspan="3">(40) 段差防止 構造M</th> </tr> <tr> <th colspan="17">緑地拡幅B</th> </tr> <tr> <th>(21) (22) (23) (24) (25) (26) (27) (28) (29) (30) (31) (32) (33) (34) (35) (36) (37) (38) (39) (40)</th> <th>17-(9)</th> <th>17-(11)</th> <th>17-(12)</th> </tr> </thead> <tbody> <tr> <td colspan="19" style="text-align: center;">落橋防止構造</td> </tr> <tr> <td colspan="19" style="text-align: center;">(40) 段差防止 構造M</td> </tr> <tr> <td colspan="19" style="text-align: center;">設置工</td> </tr> <tr> <td colspan="19" style="text-align: center;">(40) 1.7-(12) 段差防止 構造M</td> </tr> <tr> <td colspan="19" style="text-align: center;">設置工</td> </tr> <tr> <td colspan="19" style="text-align: center;">t</td> </tr> <tr> <td colspan="19" style="text-align: center;">2.670</td> </tr> <tr> <td colspan="19" style="text-align: center;">1.941</td> </tr> <tr> <td colspan="19" style="text-align: center;">4.611</td> </tr> <tr> <td colspan="19" style="text-align: center;">2.672</td> </tr> <tr> <td colspan="19" style="text-align: center;">1.941</td> </tr> <tr> <td colspan="19" style="text-align: center;">4.612</td> </tr> <tr> <td colspan="19" style="text-align: center;">9.224</td> </tr> <tr> <td colspan="19" style="text-align: center;">76.043</td> </tr> <tr> <td colspan="19" style="text-align: center;">(40) 1.7-(12) 段差防止 構造M</td> </tr> <tr> <td colspan="19" style="text-align: center;">設置工</td> </tr> <tr> <td colspan="19" style="text-align: center;">t</td> </tr> <tr> <td colspan="19" style="text-align: center;">2.670</td> </tr> <tr> <td colspan="19" style="text-align: center;">1.941</td> </tr> <tr> <td colspan="19" style="text-align: center;">4.611</td> </tr> <tr> <td colspan="19" style="text-align: center;">2.672</td> </tr> <tr> <td colspan="19" style="text-align: center;">1.941</td> </tr> <tr> <td colspan="19" style="text-align: center;">4.612</td> </tr> <tr> <td colspan="19" style="text-align: center;">9.224</td> </tr> <tr> <td colspan="19" style="text-align: center;">76.043</td> </tr> <tr> <td colspan="19" style="text-align: center;">(40) 1.7-(12) 段差防止 構造M</td> </tr> <tr> <td colspan="19" style="text-align: center;">設置工</td> </tr> <tr> <td colspan="19" style="text-align: center;">t</td> </tr> <tr> <td colspan="19" style="text-align: center;">2.670</td> </tr> <tr> <td colspan="19" style="text-align: center;">1.941</td> </tr> <tr> <td colspan="19" style="text-align: center;">4.611</td> </tr> <tr> <td colspan="19" style="text-align: center;">2.672</td> </tr> <tr> <td colspan="19" style="text-align: center;">1.941</td> </tr> <tr> <td colspan="19" style="text-align: center;">4.612</td> </tr> <tr> <td colspan="19" style="text-align: center;">9.224</td> </tr> <tr> <td colspan="19" style="text-align: center;">76.043</td> </tr> <tr> <td colspan="19" style="text-align: center;">(40) 1.7-(12) 段差防止 構造M</td> </tr> <tr> <td colspan="19" style="text-align: center;">設置工</td> </tr> <tr> <td colspan="19" style="text-align: center;">t</td> </tr> <tr> <td colspan="19" style="text-align: center;">2.670</td> </tr> <tr> <td colspan="19" style="text-align: center;">1.941</td> </tr> <tr> <td colspan="19" style="text-align: center;">4.611</td> </tr> <tr> <td colspan="19" style="text-align: center;">2.672</td> </tr> <tr> <td colspan="19" style="text-align: center;">1.941</td> </tr> <tr> <td colspan="19" style="text-align: center;">4.612</td> </tr> <tr> <td colspan="19" style="text-align: center;">9.224</td> </tr> <tr> <td colspan="19" style="text-align: center;">76.043</td> </tr> <tr> <td colspan="19" style="text-align: center;">(40) 1.7-(12) 段差防止 構造M</td> </tr> <tr> <td colspan="19" style="text-align: center;">設置工</td> </tr> <tr> <td colspan="19" style="text-align: center;">t</td> </tr> <tr> <td colspan="19" style="text-align: center;">2.670</td> </tr> <tr> <td colspan="19" style="text-align: center;">1.941</td> </tr> <tr> <td colspan="19" style="text-align: center;">4.611</td> </tr> <tr> <td colspan="19" style="text-align: center;">2.672</td> </tr> <tr> <td colspan="19" style="text-align: center;">1.941</td> </tr> <tr> <td colspan="19" style="text-align: center;">4.612</td> </tr> <tr> <td colspan="19" style="text-align: center;">9.224</td> </tr> <tr> <td colspan="19" style="text-align: center;">76.043</td> </tr> <tr> <td colspan="19" style="text-align: center;">(40) 1.7-(12) 段差防止 構造M</td> </tr> <tr> <td colspan="19" style="text-align: center;">設置工</td> </tr> <tr> <td colspan="19" style="text-align: center;">t</td> </tr> <tr> <td colspan="19" style="text-align: center;">2.670</td> </tr> <tr> <td colspan="19" style="text-align: center;">1.941</td> </tr> <tr> <td colspan="19" style="text-align: center;">4.611</td> </tr> <tr> <td colspan="19" style="text-align: center;">2.672</td> </tr> <tr> <td colspan="19" style="text-align: center;">1.941</td> </tr> <tr> <td colspan="19" style="text-align: center;">4.612</td> </tr> <tr> <td colspan="19" style="text-align: center;">9.224</td> </tr> <tr> <td colspan="19" style="text-align: center;">76.043</td> </tr> <tr> <td colspan="19" style="text-align: center;">(40) 1.7-(12) 段差防止 構造M</td> </tr> <tr> <td colspan="19" style="text-align: center;">設置工</td> </tr> <tr> <td colspan="19" style="text-align: center;">t</td> </tr> <tr> <td colspan="19" style="text-align: center;">2.670</td> </tr> <tr> <td colspan="19" style="text-align: center;">1.941</td> </tr> <tr> <td colspan="19" style="text-align: center;">4.611</td> </tr> <tr> <td colspan="19" style="text-align: center;">2.672</td> </tr> <tr> <td colspan="19" style="text-align: center;">1.941</td> </tr> <tr> <td colspan="19" style="text-align: center;">4.612</td> </tr> <tr> <td colspan="19" style="text-align: center;">9.224</td> </tr> <tr> <td colspan="19" style="text-align: center;">76.043</td> </tr> <tr> <td colspan="19" style="text-align: center;">(40) 1.7-(12) 段差防止 構造M</td> </tr> <tr> <td colspan="19" style="text-align: center;">設置工</td> </tr> <tr> <td colspan="19" style="text-align: center;">t</td> </tr> <tr> <td colspan="19" style="text-align: center;">2.670</td> </tr> <tr> <td colspan="19" style="text-align: center;">1.941</td> </tr> <tr> <td colspan="19" style="text-align: center;">4.611</td> </tr> <tr> <td colspan="19" style="text-align: center;">2.672</td> </tr> <tr> <td colspan="19" style="text-align: center;">1.941</td> </tr> <tr> <td colspan="19" style="text-align: center;">4.612</td> </tr> <tr> <td colspan="19" style="text-align: center;">9.224</td> </tr> <tr> <td colspan="19" style="text-align: center;">76.043</td> </tr> <tr> <td colspan="19" style="text-align: center;">(40) 1.7-(12) 段差防止 構造M</td> </tr> <tr> <td colspan="19" style="text-align: center;">設置工</td> </tr> <tr> <td colspan="19" style="text-align: center;">t</td> </tr> <tr> <td colspan="19" style="text-align: center;">2.670</td> </tr> <tr> <td colspan="19" style="text-align: center;">1.941</td> </tr> <tr> <td colspan="19" style="text-align: center;">4.611</td> </tr> <tr> <td colspan="19" style="text-align: center;">2.672</td> </tr> <tr> <td colspan="19" style="text-align: center;">1.941</td> </tr> <tr> <td colspan="19" style="text-align: center;">4.612</td> </tr> <tr> <td colspan="19" style="text-align: center;">9.224</td> </tr> <tr> <td colspan="19" style="text-align: center;">76.043</td> </tr> <tr> <td colspan="19" style="text-align: center;">(40) 1.7-(12) 段差防止 構造M</td> </tr> <tr> <td colspan="19" style="text-align: center;">設置工</td> </tr> <tr> <td colspan="19" style="text-align: center;">t</td> </tr> <tr> <td colspan="19" style="text-align: center;">2.670</td> </tr> <tr> <td colspan="19" style="text-align: center;">1.941</td> </tr> <tr> <td colspan="19" style="text-align: center;">4.611</td> </tr> <tr> <td colspan="19" style="text-align: center;">2.672</td> </tr> <tr> <td colspan="19" style="text-align: center;">1.941</td> </tr> <tr> <td colspan="19" style="text-align: center;">4.612</td> </tr> <tr> <td colspan="19" style="text-align: center;">9.224</td> </tr> <tr> <td colspan="19" style="text-align: center;">76.043</td> </tr> <tr> <td colspan="19" style="text-align: center;">(40) 1.7-(12) 段差防止 構造M</td> </tr> <tr> <td colspan="19" style="text-align: center;">設置工</td> </tr> <tr> <td colspan="19" style="text-align: center;">t</td> </tr> <tr> <td colspan="19" style="text-align: center;">2.670</td> </tr> <tr> <td colspan="19" style="text-align: center;">1.941</td> </tr> <tr> <td colspan="19" style="text-align: center;">4.611</td> </tr> <tr> <td colspan="19" style="text-align: center;">2.672</td> </tr> <tr> <td colspan="19" style="text-align: center;">1.941</td> </tr> <tr> <td colspan="19" style="text-align: center;">4.612</td> </tr> <tr> <td colspan="19" style="text-align: center;">9.224</td> </tr> <tr> <td colspan="19" style="text-align: center;">76.043</td> </tr> <tr> <td colspan="19" style="text-align: center;">(40) 1.7-(12) 段差防止 構造M</td> </tr> <tr> <td colspan="19" style="text-align: center;">設置工</td> </tr> <tr> <td colspan="19" style="text-align: center;">t</td> </tr> <tr> <td colspan="19" style="text-align: center;">2.670</td> </tr> <tr> <td colspan="19" style="text-align: center;">1.941</td> </tr> <tr> <td colspan="19" style="text-align: center;">4.611</td> </tr> <tr> <td colspan="19" style="text-align: center;">2.672</td> </tr> <tr> <td colspan="19" style="text-align: center;">1.941</td> </tr> <tr> <td colspan="19" style="text-align: center;">4.612</td> </tr> <tr> <td colspan="19" style="text-align: center;">9.224</td> </tr> <tr> <td colspan="19" style="text-align: center;">76.043</td> </tr> <tr> <td colspan="19" style="text-align: center;">(40) 1.7-(12) 段差防止 構造M</td> </tr> <tr> <td colspan="19" style="text-align: center;">設置工</td> </tr> <tr> <td colspan="19" style="text-align: center;">t</td> </tr> <tr> <td colspan="19" style="text-align: center;">2.670</td> </tr> <tr> <td colspan="19" style="text-align: center;">1.941</td> </tr> <tr> <td colspan="19" style="text-align: center;">4.611</td> </tr> <tr> <td colspan="19" style="text-align: center;">2.672</td> </tr> <tr> <td colspan="19" style="text-align: center;">1.941</td> </tr> <tr> <td colspan="19" style="text-align: center;">4.612</td> </tr> <tr> <td colspan="19" style="text-align: center;">9.224</td> </tr> <tr> <td colspan="19" style="text-align: center;">76.043</td> </tr> <tr> <td colspan="19" style="text-align: center;">(40) 1.7-(12) 段差防止 構造M</td> </tr> <tr> <td colspan="19" style="text-align: center;">設置工</td> </tr> <tr> <td colspan="19" style="text-align: center;">t</td> </tr> <tr> <td colspan="19" style="text-align: center;">2.670</td> </tr> <tr> <td colspan="19" style="text-align: center;">1.941</td> </tr> <tr> <td colspan="19" style="text-align: center;">4.611</td> </tr> <tr> <td colspan="19" style="text-align: center;">2.672</td> </tr> <tr> <td colspan="19" style="text-align: center;">1.941</td> </tr> <tr> <td colspan="19" style="text-align: center;">4.612</td> </tr> <tr> <td colspan="19" style="text-align: center;">9.224</td> </tr> <tr> <td colspan="19" style="text-align: center;">76.043</td> </tr> <tr> <td colspan="19" style="text-align: center;">(40) 1.7-(12) 段差防止 構造M</td> </tr> <tr> <td colspan="19" style="text-align: center;">設置工</td> </tr> <tr> <td colspan="19" style="text-align: center;">t</td> </tr> <tr> <td colspan="19" style="text-align: center;">2.670</td> </tr> <tr> <td colspan="19" style="text-align: center;">1.941</td> </tr> <tr> <td colspan="19" style="text-align: center;">4.611</td> </tr> <tr> <td colspan="19" style="text-align: center;">2.672</td> </tr> <tr> <td colspan="19" style="text-align: center;">1.941</td> </tr> <tr> <td colspan="19" style="text-align: center;">4.612</td> </tr> <tr> <td colspan="19" style="text-align: center;">9.224</td> </tr> <tr> <td colspan="19" style="text-align: center;">76.043</td> </tr> <tr> <td colspan="19" style="text-align: center;">(40) 1.7-(12) 段差防止 構造M</td> </tr> <tr> <td colspan="19" style="text-align: center;">設置工</td> </tr> <tr> <td colspan="19" style="text-align: center;">t</td> </tr> <tr> <td colspan="19" style="text-align: center;">2.670</td> </tr> <tr> <td colspan="19" style="text-align: center;">1.941</td> </tr> <tr> <td colspan="19" style="text-align: center;">4.611</td> </tr> <tr> <td colspan="19" style="text-align: center;">2.672</td> </tr> <tr> <td colspan="19" style="text-align: center;">1.941</td> </tr> <tr> <td colspan="19" style="text-align: center;">4.612</td> </tr> <tr> <td colspan="19" style="text-align: center;">9.224</td> </tr> <tr> <td colspan="19" style="text-align: center;">76.043</td> </tr> <tr> <td colspan="19" style="text-align: center;">(40) 1.7-(12) 段差防止 構造M</td> </tr> <tr> <td colspan="19" style="text-align: center;">設置工</td> </tr> <tr> <td colspan="19" style="text-align: center;">t</td> </tr> <tr> <td colspan="19" style="text-align: center;">2.670</td> </tr> <tr> <td colspan="19" style="text-align: center;">1.941</td> </tr> <tr> <td colspan="19" style="text-align: center;">4.611</td> </tr> <tr> <td colspan="19" style="text-align: center;">2.672</td> </tr> <tr> <td colspan="19" style="text-align: center;">1.941</td> </tr> <tr> <td colspan="19" style="text-align: center;">4.612</td> </tr> <tr> <td colspan="19" style="text-align: center;">9.224</td> </tr> <tr> <td colspan="19" style="text-align: center;">76.043</td> </tr> <tr> <td colspan="19" style="text-align: center;">(40) 1.7-(12) 段差防止 構造M</td> </tr> <tr> <td colspan="19" style="text-align: center;">設置工</td> </tr> <tr> <td colspan="19" style="text-align: center;">t</td> </tr> <tr> <td colspan="19" style="text-align: center;">2.670</td> </tr> <tr> <td colspan="19" style="text-align: center;">1.941</td> </tr> <tr> <td colspan="19" style="text-align: center;">4.611</td> </tr> <tr> <td colspan="19" style="text-align: center;">2.672</td> </tr> <tr> <td colspan="19" style="text-align: center;">1.941</td> </tr> <tr> <td colspan="19" style="text-align: center;">4.612</td> </tr> <tr> <td colspan="19" style="text-align: center;">9.224</td> </tr> <tr> <td colspan="19" style="text-align: center;">76.043</td> </tr> <tr> <td colspan="19" style="text-align: center;">(40) 1.7-(12) 段差防止 構造M</td> </tr> <tr> <td colspan="19" style="text-align: center;">設置工</td> </tr> <tr> <td colspan="19" style="text-align: center;">t</td> </tr> <tr> <td colspan="19" style="text-align: center;">2.670</td> </tr> <tr> <td colspan="19" style="text-align: center;">1.941</td> </tr> <tr> <td colspan="19" style="text-align: center;">4.611</td> </tr> <tr> <td colspan="19" style="text-align: center;">2.672</td> </tr> <tr> <td colspan="19" style="text-align: center;">1.941</td> </tr> <tr> <td colspan="19" style="text-align: center;">4.612</td> </tr> <tr> <td colspan="19" style="text-align: center;">9.224</td> </tr> <tr> <td colspan="19" style="text-align: center;">76.043</td> </tr> <tr> <td colspan="19" style="text-align: center;">(40) 1.7-(12) 段差防止 構造M</td> </tr> <tr> <td colspan="19" style="text-align: center;">設置工</td> </tr> <tr> <td colspan="19" style="text-align: center;">t</td> </tr> <tr> <td colspan="19" style="text-align: center;">2.670</td> </tr> <tr> <td colspan="19" style="text-align: center;">1.941</td> </tr> <tr> <td colspan="19" style="text-align: center;">4.611</td> </tr> <tr> <td colspan="19" style="text-align: center;">2.672</td> </tr> <tr> <td colspan="19" style="text-align: center;">1.941</td> </tr> <tr> <td colspan="19" style="text-align: center;">4.612</td> </tr> <tr> <td colspan="19" style="text-align: center;">9.224</td> </tr> <tr> <td colspan="19" style="text-align: center;">76.043</td> </tr> <tr> <td colspan="19" style="text-align: center;">(40) 1.7-(12) 段差防止 構造M</td> </tr> <tr> <td colspan="19" style="text-align: center;">設置工</td> </tr> <tr> <td colspan="19" style="text-align: center;">t</td> </tr> <tr> <td colspan="19" style="text-align: center;">2.670</td> </tr> <tr> <td colspan="19" style="text-align: center;">1.941</td> </tr> <tr> <td colspan="19" style="text-align: center;">4.611</td> </tr> <tr> <td colspan="19" style="text-align: center;">2.672</td> </tr> <tr> <td colspan="19" style="text-align: center;">1.941</td> </tr> <tr> <td colspan="19" style="text-align: center;">4.612</td> </tr> <tr> <td colspan="19" style="text-align: center;">9.224</td> </tr> <tr> <td colspan="19" style="text-align: center;">76.043</td> </tr> <tr> <td colspan="19" style="text-align: center;">(40) 1.7-(12) 段差防止 構造M</td> </tr> <tr> <td colspan="19" style="text-align: center;">設置工</td> </tr> <tr> <td colspan="19" style="text-align: center;">t</td> </tr> <tr> <td colspan="19" style="text-align: center;">2.670</td> </tr> <tr> <td colspan="19" style="text-align: center;">1.941</td> </tr> <tr> <td colspan="19" style="text-align: center;">4.611</td> </tr> <tr> <td colspan="19" style="text-align: center;">2.672</td> </tr> <tr> <td colspan="19" style="text-align: center;">1.941</td> </tr> <tr> <td colspan="19" style="text-align: center;">4.612</td> </tr> <tr> <td colspan="19" style="text-align: center;">9.224</td> </tr> <tr> <td colspan="19" style="text-align: center;">76.043</td> </tr> <tr> <td colspan="19" style="text-align: center;">(40) 1.7-(12) 段差防止 構造M</td> </tr> <tr> <td colspan="19" style="text-align: center;">設置工</td> </tr> <tr> <td colspan="19" style="text-align: center;">t</td> </tr> <tr> <td colspan="19" style="text-align: center;">2.670</td> </tr> <tr> <td colspan="19" style="text-align: center;">1.941</td> </tr> <tr> <td colspan="19" style="text-align: center;">4.611</td> </tr> <tr> <td colspan="19" style="text-align: center;">2.672</td> </tr> <tr> <td colspan="19" style="text-align: center;">1.941</td> </tr> <tr> <td colspan="19" style="text-align: center;">4.612</td> </tr> <tr> <td colspan="19" style="text-align: center;">9.224</td> </tr> <tr> <td colspan="19" style="text-align: center;">76.043</td> </tr> <tr> <td colspan="19" style="text-align: center;">(40) 1.7-(12) 段差防止 構造M</td> </tr> <tr> <td colspan="19" style="text-align: center;">設置工</td> </tr> <tr> <td colspan="19" style="text-align: center;">t</td> </tr> <tr> <td colspan="19" style="text-align: center;">2.670</td> </tr> <tr> <td colspan="19" style="text-align: center;">1.941</td> </tr> <tr> <td colspan="19" style="text-align: center;">4.611</td> </tr> <tr> <td colspan="19" style="text-align: center;">2.672</td> </tr> <tr> <td colspan="19" style="text-align: center;">1.941</td> </tr> <tr> <td colspan="19" style="text-align: center;">4.612</td> </tr> <tr> <td colspan="19" style="text-align: center;">9.224</td> </tr> <tr> <td colspan="19" style="text-align: center;">76.0</td></tr></tbody></table>	橋梁 名称 区分 下り線	上り線 名称及び測点 区分	単位	数量																	(40) 段差防止 構造M	緑地拡幅B																	(21) (22) (23) (24) (25) (26) (27) (28) (29) (30) (31) (32) (33) (34) (35) (36) (37) (38) (39) (40)	17-(9)	17-(11)	17-(12)	落橋防止構造																			(40) 段差防止 構造M																			設置工																			(40) 1.7-(12) 段差防止 構造M																			設置工																			t																			2.670																			1.941																			4.611																			2.672																			1.941																			4.612																			9.224																			76.043																			(40) 1.7-(12) 段差防止 構造M																			設置工																			t																			2.670																			1.941																			4.611																			2.672																			1.941																			4.612																			9.224																			76.043																			(40) 1.7-(12) 段差防止 構造M																			設置工																			t																			2.670																			1.941																			4.611																			2.672																			1.941																			4.612																			9.224																			76.043																			(40) 1.7-(12) 段差防止 構造M																			設置工																			t																			2.670																			1.941																			4.611																			2.672																			1.941																			4.612																			9.224																			76.043																			(40) 1.7-(12) 段差防止 構造M																			設置工																			t																			2.670																			1.941																			4.611																			2.672																			1.941																			4.612																			9.224																			76.043																			(40) 1.7-(12) 段差防止 構造M																			設置工																			t																			2.670																			1.941																			4.611																			2.672																			1.941																			4.612																			9.224																			76.043																			(40) 1.7-(12) 段差防止 構造M																			設置工																			t																			2.670																			1.941																			4.611																			2.672																			1.941																			4.612																			9.224																			76.043																			(40) 1.7-(12) 段差防止 構造M																			設置工																			t																			2.670																			1.941																			4.611																			2.672																			1.941																			4.612																			9.224																			76.043																			(40) 1.7-(12) 段差防止 構造M																			設置工																			t																			2.670																			1.941																			4.611																			2.672																			1.941																			4.612																			9.224																			76.043																			(40) 1.7-(12) 段差防止 構造M																			設置工																			t																			2.670																			1.941																			4.611																			2.672																			1.941																			4.612																			9.224																			76.043																			(40) 1.7-(12) 段差防止 構造M																			設置工																			t																			2.670																			1.941																			4.611																			2.672																			1.941																			4.612																			9.224																			76.043																			(40) 1.7-(12) 段差防止 構造M																			設置工																			t																			2.670																			1.941																			4.611																			2.672																			1.941																			4.612																			9.224																			76.043																			(40) 1.7-(12) 段差防止 構造M																			設置工																			t																			2.670																			1.941																			4.611																			2.672																			1.941																			4.612																			9.224																			76.043																			(40) 1.7-(12) 段差防止 構造M																			設置工																			t																			2.670																			1.941																			4.611																			2.672																			1.941																			4.612																			9.224																			76.043																			(40) 1.7-(12) 段差防止 構造M																			設置工																			t																			2.670																			1.941																			4.611																			2.672																			1.941																			4.612																			9.224																			76.043																			(40) 1.7-(12) 段差防止 構造M																			設置工																			t																			2.670																			1.941																			4.611																			2.672																			1.941																			4.612																			9.224																			76.043																			(40) 1.7-(12) 段差防止 構造M																			設置工																			t																			2.670																			1.941																			4.611																			2.672																			1.941																			4.612																			9.224																			76.043																			(40) 1.7-(12) 段差防止 構造M																			設置工																			t																			2.670																			1.941																			4.611																			2.672																			1.941																			4.612																			9.224																			76.043																			(40) 1.7-(12) 段差防止 構造M																			設置工																			t																			2.670																			1.941																			4.611																			2.672																			1.941																			4.612																			9.224																			76.043																			(40) 1.7-(12) 段差防止 構造M																			設置工																			t																			2.670																			1.941																			4.611																			2.672																			1.941																			4.612																			9.224																			76.043																			(40) 1.7-(12) 段差防止 構造M																			設置工																			t																			2.670																			1.941																			4.611																			2.672																			1.941																			4.612																			9.224																			76.043																			(40) 1.7-(12) 段差防止 構造M																			設置工																			t																			2.670																			1.941																			4.611																			2.672																			1.941																			4.612																			9.224																			76.043																			(40) 1.7-(12) 段差防止 構造M																			設置工																			t																			2.670																			1.941																			4.611																			2.672																			1.941																			4.612																			9.224																			76.043																			(40) 1.7-(12) 段差防止 構造M																			設置工																			t																			2.670																			1.941																			4.611																			2.672																			1.941																			4.612																			9.224																			76.0																		
橋梁 名称 区分 下り線	上り線 名称及び測点 区分				単位	数量																	(40) 段差防止 構造M																																																																																																																																																																																																																																																																																																																																																																																																																																																																																																																																																																																																																																																																																																																																																																																																																																																																																																																																																																																																																																																																																																																																																																																																																																																																																																																																																																																																																																																																																																																																																																																																																																																																																																																																																																																																																																																																																																																																																																																																																																																																																																																																																																																																																																																																																																																																																																																																																																																																																																																																																																																																																																																																																																																																																																																																																																																																																																																																																																																																																																																																																																																																																																																																																																																																																																																																																																																																																																																																																																																																																																																																																																																																																																																																																																																																																																																																																																																																																																																																																																																																																																																																																																																																																																																																																																																																																																																																																																																																																																																																																																																																																																																																																																																																																																																																																																																																																																																																																																																																																																																																																																																																																																																																																																																																																																					
						緑地拡幅B																																																																																																																																																																																																																																																																																																																																																																																																																																																																																																																																																																																																																																																																																																																																																																																																																																																																																																																																																																																																																																																																																																																																																																																																																																																																																																																																																																																																																																																																																																																																																																																																																																																																																																																																																																																																																																																																																																																																																																																																																																																																																																																																																																																																																																																																																																																																																																																																																																																																																																																																																																																																																																																																																																																																																																																																																																																																																																																																																																																																																																																																																																																																																																																																																																																																																																																																																																																																																																																																																																																																																																																																																																																																																																																																																																																																																																																																																																																																																																																																																																																																																																																																																																																																																																																																																																																																																																																																																																																																																																																																																																																																																																																																																																																																																																																																																																																																																																																																																																																																																																																																																																																																																																																																																																																																																																																						
		(21) (22) (23) (24) (25) (26) (27) (28) (29) (30) (31) (32) (33) (34) (35) (36) (37) (38) (39) (40)	17-(9)	17-(11)		17-(12)																																																																																																																																																																																																																																																																																																																																																																																																																																																																																																																																																																																																																																																																																																																																																																																																																																																																																																																																																																																																																																																																																																																																																																																																																																																																																																																																																																																																																																																																																																																																																																																																																																																																																																																																																																																																																																																																																																																																																																																																																																																																																																																																																																																																																																																																																																																																																																																																																																																																																																																																																																																																																																																																																																																																																																																																																																																																																																																																																																																																																																																																																																																																																																																																																																																																																																																																																																																																																																																																																																																																																																																																																																																																																																																																																																																																																																																																																																																																																																																																																																																																																																																																																																																																																																																																																																																																																																																																																																																																																																																																																																																																																																																																																																																																																																																																																																																																																																																																																																																																																																																																																																																																																																																																																																																																																																																						
落橋防止構造																																																																																																																																																																																																																																																																																																																																																																																																																																																																																																																																																																																																																																																																																																																																																																																																																																																																																																																																																																																																																																																																																																																																																																																																																																																																																																																																																																																																																																																																																																																																																																																																																																																																																																																																																																																																																																																																																																																																																																																																																																																																																																																																																																																																																																																																																																																																																																																																																																																																																																																																																																																																																																																																																																																																																																																																																																																																																																																																																																																																																																																																																																																																																																																																																																																																																																																																																																																																																																																																																																																																																																																																																																																																																																																																																																																																																																																																																																																																																																																																																																																																																																																																																																																																																																																																																																																																																																																																																																																																																																																																																																																																																																																																																																																																																																																																																																																																																																																																																																																																																																																																																																																																																																																																																																																																																																																												
(40) 段差防止 構造M																																																																																																																																																																																																																																																																																																																																																																																																																																																																																																																																																																																																																																																																																																																																																																																																																																																																																																																																																																																																																																																																																																																																																																																																																																																																																																																																																																																																																																																																																																																																																																																																																																																																																																																																																																																																																																																																																																																																																																																																																																																																																																																																																																																																																																																																																																																																																																																																																																																																																																																																																																																																																																																																																																																																																																																																																																																																																																																																																																																																																																																																																																																																																																																																																																																																																																																																																																																																																																																																																																																																																																																																																																																																																																																																																																																																																																																																																																																																																																																																																																																																																																																																																																																																																																																																																																																																																																																																																																																																																																																																																																																																																																																																																																																																																																																																																																																																																																																																																																																																																																																																																																																																																																																																																																																																																																																												
設置工																																																																																																																																																																																																																																																																																																																																																																																																																																																																																																																																																																																																																																																																																																																																																																																																																																																																																																																																																																																																																																																																																																																																																																																																																																																																																																																																																																																																																																																																																																																																																																																																																																																																																																																																																																																																																																																																																																																																																																																																																																																																																																																																																																																																																																																																																																																																																																																																																																																																																																																																																																																																																																																																																																																																																																																																																																																																																																																																																																																																																																																																																																																																																																																																																																																																																																																																																																																																																																																																																																																																																																																																																																																																																																																																																																																																																																																																																																																																																																																																																																																																																																																																																																																																																																																																																																																																																																																																																																																																																																																																																																																																																																																																																																																																																																																																																																																																																																																																																																																																																																																																																																																																																																																																																																																																																																																												
(40) 1.7-(12) 段差防止 構造M																																																																																																																																																																																																																																																																																																																																																																																																																																																																																																																																																																																																																																																																																																																																																																																																																																																																																																																																																																																																																																																																																																																																																																																																																																																																																																																																																																																																																																																																																																																																																																																																																																																																																																																																																																																																																																																																																																																																																																																																																																																																																																																																																																																																																																																																																																																																																																																																																																																																																																																																																																																																																																																																																																																																																																																																																																																																																																																																																																																																																																																																																																																																																																																																																																																																																																																																																																																																																																																																																																																																																																																																																																																																																																																																																																																																																																																																																																																																																																																																																																																																																																																																																																																																																																																																																																																																																																																																																																																																																																																																																																																																																																																																																																																																																																																																																																																																																																																																																																																																																																																																																																																																																																																																																																																																																																																												
設置工																																																																																																																																																																																																																																																																																																																																																																																																																																																																																																																																																																																																																																																																																																																																																																																																																																																																																																																																																																																																																																																																																																																																																																																																																																																																																																																																																																																																																																																																																																																																																																																																																																																																																																																																																																																																																																																																																																																																																																																																																																																																																																																																																																																																																																																																																																																																																																																																																																																																																																																																																																																																																																																																																																																																																																																																																																																																																																																																																																																																																																																																																																																																																																																																																																																																																																																																																																																																																																																																																																																																																																																																																																																																																																																																																																																																																																																																																																																																																																																																																																																																																																																																																																																																																																																																																																																																																																																																																																																																																																																																																																																																																																																																																																																																																																																																																																																																																																																																																																																																																																																																																																																																																																																																																																																																																																																												
t																																																																																																																																																																																																																																																																																																																																																																																																																																																																																																																																																																																																																																																																																																																																																																																																																																																																																																																																																																																																																																																																																																																																																																																																																																																																																																																																																																																																																																																																																																																																																																																																																																																																																																																																																																																																																																																																																																																																																																																																																																																																																																																																																																																																																																																																																																																																																																																																																																																																																																																																																																																																																																																																																																																																																																																																																																																																																																																																																																																																																																																																																																																																																																																																																																																																																																																																																																																																																																																																																																																																																																																																																																																																																																																																																																																																																																																																																																																																																																																																																																																																																																																																																																																																																																																																																																																																																																																																																																																																																																																																																																																																																																																																																																																																																																																																																																																																																																																																																																																																																																																																																																																																																																																																																																																																																																																												
2.670																																																																																																																																																																																																																																																																																																																																																																																																																																																																																																																																																																																																																																																																																																																																																																																																																																																																																																																																																																																																																																																																																																																																																																																																																																																																																																																																																																																																																																																																																																																																																																																																																																																																																																																																																																																																																																																																																																																																																																																																																																																																																																																																																																																																																																																																																																																																																																																																																																																																																																																																																																																																																																																																																																																																																																																																																																																																																																																																																																																																																																																																																																																																																																																																																																																																																																																																																																																																																																																																																																																																																																																																																																																																																																																																																																																																																																																																																																																																																																																																																																																																																																																																																																																																																																																																																																																																																																																																																																																																																																																																																																																																																																																																																																																																																																																																																																																																																																																																																																																																																																																																																																																																																																																																																																																																																																																												
1.941																																																																																																																																																																																																																																																																																																																																																																																																																																																																																																																																																																																																																																																																																																																																																																																																																																																																																																																																																																																																																																																																																																																																																																																																																																																																																																																																																																																																																																																																																																																																																																																																																																																																																																																																																																																																																																																																																																																																																																																																																																																																																																																																																																																																																																																																																																																																																																																																																																																																																																																																																																																																																																																																																																																																																																																																																																																																																																																																																																																																																																																																																																																																																																																																																																																																																																																																																																																																																																																																																																																																																																																																																																																																																																																																																																																																																																																																																																																																																																																																																																																																																																																																																																																																																																																																																																																																																																																																																																																																																																																																																																																																																																																																																																																																																																																																																																																																																																																																																																																																																																																																																																																																																																																																																																																																																																																												
4.611																																																																																																																																																																																																																																																																																																																																																																																																																																																																																																																																																																																																																																																																																																																																																																																																																																																																																																																																																																																																																																																																																																																																																																																																																																																																																																																																																																																																																																																																																																																																																																																																																																																																																																																																																																																																																																																																																																																																																																																																																																																																																																																																																																																																																																																																																																																																																																																																																																																																																																																																																																																																																																																																																																																																																																																																																																																																																																																																																																																																																																																																																																																																																																																																																																																																																																																																																																																																																																																																																																																																																																																																																																																																																																																																																																																																																																																																																																																																																																																																																																																																																																																																																																																																																																																																																																																																																																																																																																																																																																																																																																																																																																																																																																																																																																																																																																																																																																																																																																																																																																																																																																																																																																																																																																																																																																																												
2.672																																																																																																																																																																																																																																																																																																																																																																																																																																																																																																																																																																																																																																																																																																																																																																																																																																																																																																																																																																																																																																																																																																																																																																																																																																																																																																																																																																																																																																																																																																																																																																																																																																																																																																																																																																																																																																																																																																																																																																																																																																																																																																																																																																																																																																																																																																																																																																																																																																																																																																																																																																																																																																																																																																																																																																																																																																																																																																																																																																																																																																																																																																																																																																																																																																																																																																																																																																																																																																																																																																																																																																																																																																																																																																																																																																																																																																																																																																																																																																																																																																																																																																																																																																																																																																																																																																																																																																																																																																																																																																																																																																																																																																																																																																																																																																																																																																																																																																																																																																																																																																																																																																																																																																																																																																																																																																																												
1.941																																																																																																																																																																																																																																																																																																																																																																																																																																																																																																																																																																																																																																																																																																																																																																																																																																																																																																																																																																																																																																																																																																																																																																																																																																																																																																																																																																																																																																																																																																																																																																																																																																																																																																																																																																																																																																																																																																																																																																																																																																																																																																																																																																																																																																																																																																																																																																																																																																																																																																																																																																																																																																																																																																																																																																																																																																																																																																																																																																																																																																																																																																																																																																																																																																																																																																																																																																																																																																																																																																																																																																																																																																																																																																																																																																																																																																																																																																																																																																																																																																																																																																																																																																																																																																																																																																																																																																																																																																																																																																																																																																																																																																																																																																																																																																																																																																																																																																																																																																																																																																																																																																																																																																																																																																																																																																																												
4.612																																																																																																																																																																																																																																																																																																																																																																																																																																																																																																																																																																																																																																																																																																																																																																																																																																																																																																																																																																																																																																																																																																																																																																																																																																																																																																																																																																																																																																																																																																																																																																																																																																																																																																																																																																																																																																																																																																																																																																																																																																																																																																																																																																																																																																																																																																																																																																																																																																																																																																																																																																																																																																																																																																																																																																																																																																																																																																																																																																																																																																																																																																																																																																																																																																																																																																																																																																																																																																																																																																																																																																																																																																																																																																																																																																																																																																																																																																																																																																																																																																																																																																																																																																																																																																																																																																																																																																																																																																																																																																																																																																																																																																																																																																																																																																																																																																																																																																																																																																																																																																																																																																																																																																																																																																																																																																																												
9.224																																																																																																																																																																																																																																																																																																																																																																																																																																																																																																																																																																																																																																																																																																																																																																																																																																																																																																																																																																																																																																																																																																																																																																																																																																																																																																																																																																																																																																																																																																																																																																																																																																																																																																																																																																																																																																																																																																																																																																																																																																																																																																																																																																																																																																																																																																																																																																																																																																																																																																																																																																																																																																																																																																																																																																																																																																																																																																																																																																																																																																																																																																																																																																																																																																																																																																																																																																																																																																																																																																																																																																																																																																																																																																																																																																																																																																																																																																																																																																																																																																																																																																																																																																																																																																																																																																																																																																																																																																																																																																																																																																																																																																																																																																																																																																																																																																																																																																																																																																																																																																																																																																																																																																																																																																																																																																																												
76.043																																																																																																																																																																																																																																																																																																																																																																																																																																																																																																																																																																																																																																																																																																																																																																																																																																																																																																																																																																																																																																																																																																																																																																																																																																																																																																																																																																																																																																																																																																																																																																																																																																																																																																																																																																																																																																																																																																																																																																																																																																																																																																																																																																																																																																																																																																																																																																																																																																																																																																																																																																																																																																																																																																																																																																																																																																																																																																																																																																																																																																																																																																																																																																																																																																																																																																																																																																																																																																																																																																																																																																																																																																																																																																																																																																																																																																																																																																																																																																																																																																																																																																																																																																																																																																																																																																																																																																																																																																																																																																																																																																																																																																																																																																																																																																																																																																																																																																																																																																																																																																																																																																																																																																																																																																																																																																																												
(40) 1.7-(12) 段差防止 構造M																																																																																																																																																																																																																																																																																																																																																																																																																																																																																																																																																																																																																																																																																																																																																																																																																																																																																																																																																																																																																																																																																																																																																																																																																																																																																																																																																																																																																																																																																																																																																																																																																																																																																																																																																																																																																																																																																																																																																																																																																																																																																																																																																																																																																																																																																																																																																																																																																																																																																																																																																																																																																																																																																																																																																																																																																																																																																																																																																																																																																																																																																																																																																																																																																																																																																																																																																																																																																																																																																																																																																																																																																																																																																																																																																																																																																																																																																																																																																																																																																																																																																																																																																																																																																																																																																																																																																																																																																																																																																																																																																																																																																																																																																																																																																																																																																																																																																																																																																																																																																																																																																																																																																																																																																																																																																																																												
設置工																																																																																																																																																																																																																																																																																																																																																																																																																																																																																																																																																																																																																																																																																																																																																																																																																																																																																																																																																																																																																																																																																																																																																																																																																																																																																																																																																																																																																																																																																																																																																																																																																																																																																																																																																																																																																																																																																																																																																																																																																																																																																																																																																																																																																																																																																																																																																																																																																																																																																																																																																																																																																																																																																																																																																																																																																																																																																																																																																																																																																																																																																																																																																																																																																																																																																																																																																																																																																																																																																																																																																																																																																																																																																																																																																																																																																																																																																																																																																																																																																																																																																																																																																																																																																																																																																																																																																																																																																																																																																																																																																																																																																																																																																																																																																																																																																																																																																																																																																																																																																																																																																																																																																																																																																																																																																																																												
t																																																																																																																																																																																																																																																																																																																																																																																																																																																																																																																																																																																																																																																																																																																																																																																																																																																																																																																																																																																																																																																																																																																																																																																																																																																																																																																																																																																																																																																																																																																																																																																																																																																																																																																																																																																																																																																																																																																																																																																																																																																																																																																																																																																																																																																																																																																																																																																																																																																																																																																																																																																																																																																																																																																																																																																																																																																																																																																																																																																																																																																																																																																																																																																																																																																																																																																																																																																																																																																																																																																																																																																																																																																																																																																																																																																																																																																																																																																																																																																																																																																																																																																																																																																																																																																																																																																																																																																																																																																																																																																																																																																																																																																																																																																																																																																																																																																																																																																																																																																																																																																																																																																																																																																																																																																																																																																												
2.670																																																																																																																																																																																																																																																																																																																																																																																																																																																																																																																																																																																																																																																																																																																																																																																																																																																																																																																																																																																																																																																																																																																																																																																																																																																																																																																																																																																																																																																																																																																																																																																																																																																																																																																																																																																																																																																																																																																																																																																																																																																																																																																																																																																																																																																																																																																																																																																																																																																																																																																																																																																																																																																																																																																																																																																																																																																																																																																																																																																																																																																																																																																																																																																																																																																																																																																																																																																																																																																																																																																																																																																																																																																																																																																																																																																																																																																																																																																																																																																																																																																																																																																																																																																																																																																																																																																																																																																																																																																																																																																																																																																																																																																																																																																																																																																																																																																																																																																																																																																																																																																																																																																																																																																																																																																																																																																												
1.941																																																																																																																																																																																																																																																																																																																																																																																																																																																																																																																																																																																																																																																																																																																																																																																																																																																																																																																																																																																																																																																																																																																																																																																																																																																																																																																																																																																																																																																																																																																																																																																																																																																																																																																																																																																																																																																																																																																																																																																																																																																																																																																																																																																																																																																																																																																																																																																																																																																																																																																																																																																																																																																																																																																																																																																																																																																																																																																																																																																																																																																																																																																																																																																																																																																																																																																																																																																																																																																																																																																																																																																																																																																																																																																																																																																																																																																																																																																																																																																																																																																																																																																																																																																																																																																																																																																																																																																																																																																																																																																																																																																																																																																																																																																																																																																																																																																																																																																																																																																																																																																																																																																																																																																																																																																																																																																												
4.611																																																																																																																																																																																																																																																																																																																																																																																																																																																																																																																																																																																																																																																																																																																																																																																																																																																																																																																																																																																																																																																																																																																																																																																																																																																																																																																																																																																																																																																																																																																																																																																																																																																																																																																																																																																																																																																																																																																																																																																																																																																																																																																																																																																																																																																																																																																																																																																																																																																																																																																																																																																																																																																																																																																																																																																																																																																																																																																																																																																																																																																																																																																																																																																																																																																																																																																																																																																																																																																																																																																																																																																																																																																																																																																																																																																																																																																																																																																																																																																																																																																																																																																																																																																																																																																																																																																																																																																																																																																																																																																																																																																																																																																																																																																																																																																																																																																																																																																																																																																																																																																																																																																																																																																																																																																																																																																												
2.672																																																																																																																																																																																																																																																																																																																																																																																																																																																																																																																																																																																																																																																																																																																																																																																																																																																																																																																																																																																																																																																																																																																																																																																																																																																																																																																																																																																																																																																																																																																																																																																																																																																																																																																																																																																																																																																																																																																																																																																																																																																																																																																																																																																																																																																																																																																																																																																																																																																																																																																																																																																																																																																																																																																																																																																																																																																																																																																																																																																																																																																																																																																																																																																																																																																																																																																																																																																																																																																																																																																																																																																																																																																																																																																																																																																																																																																																																																																																																																																																																																																																																																																																																																																																																																																																																																																																																																																																																																																																																																																																																																																																																																																																																																																																																																																																																																																																																																																																																																																																																																																																																																																																																																																																																																																																																																																												
1.941																																																																																																																																																																																																																																																																																																																																																																																																																																																																																																																																																																																																																																																																																																																																																																																																																																																																																																																																																																																																																																																																																																																																																																																																																																																																																																																																																																																																																																																																																																																																																																																																																																																																																																																																																																																																																																																																																																																																																																																																																																																																																																																																																																																																																																																																																																																																																																																																																																																																																																																																																																																																																																																																																																																																																																																																																																																																																																																																																																																																																																																																																																																																																																																																																																																																																																																																																																																																																																																																																																																																																																																																																																																																																																																																																																																																																																																																																																																																																																																																																																																																																																																																																																																																																																																																																																																																																																																																																																																																																																																																																																																																																																																																																																																																																																																																																																																																																																																																																																																																																																																																																																																																																																																																																																																																																																																												
4.612																																																																																																																																																																																																																																																																																																																																																																																																																																																																																																																																																																																																																																																																																																																																																																																																																																																																																																																																																																																																																																																																																																																																																																																																																																																																																																																																																																																																																																																																																																																																																																																																																																																																																																																																																																																																																																																																																																																																																																																																																																																																																																																																																																																																																																																																																																																																																																																																																																																																																																																																																																																																																																																																																																																																																																																																																																																																																																																																																																																																																																																																																																																																																																																																																																																																																																																																																																																																																																																																																																																																																																																																																																																																																																																																																																																																																																																																																																																																																																																																																																																																																																																																																																																																																																																																																																																																																																																																																																																																																																																																																																																																																																																																																																																																																																																																																																																																																																																																																																																																																																																																																																																																																																																																																																																																																																																												
9.224																																																																																																																																																																																																																																																																																																																																																																																																																																																																																																																																																																																																																																																																																																																																																																																																																																																																																																																																																																																																																																																																																																																																																																																																																																																																																																																																																																																																																																																																																																																																																																																																																																																																																																																																																																																																																																																																																																																																																																																																																																																																																																																																																																																																																																																																																																																																																																																																																																																																																																																																																																																																																																																																																																																																																																																																																																																																																																																																																																																																																																																																																																																																																																																																																																																																																																																																																																																																																																																																																																																																																																																																																																																																																																																																																																																																																																																																																																																																																																																																																																																																																																																																																																																																																																																																																																																																																																																																																																																																																																																																																																																																																																																																																																																																																																																																																																																																																																																																																																																																																																																																																																																																																																																																																																																																																																																												
76.043																																																																																																																																																																																																																																																																																																																																																																																																																																																																																																																																																																																																																																																																																																																																																																																																																																																																																																																																																																																																																																																																																																																																																																																																																																																																																																																																																																																																																																																																																																																																																																																																																																																																																																																																																																																																																																																																																																																																																																																																																																																																																																																																																																																																																																																																																																																																																																																																																																																																																																																																																																																																																																																																																																																																																																																																																																																																																																																																																																																																																																																																																																																																																																																																																																																																																																																																																																																																																																																																																																																																																																																																																																																																																																																																																																																																																																																																																																																																																																																																																																																																																																																																																																																																																																																																																																																																																																																																																																																																																																																																																																																																																																																																																																																																																																																																																																																																																																																																																																																																																																																																																																																																																																																																																																																																																																																												
(40) 1.7-(12) 段差防止 構造M																																																																																																																																																																																																																																																																																																																																																																																																																																																																																																																																																																																																																																																																																																																																																																																																																																																																																																																																																																																																																																																																																																																																																																																																																																																																																																																																																																																																																																																																																																																																																																																																																																																																																																																																																																																																																																																																																																																																																																																																																																																																																																																																																																																																																																																																																																																																																																																																																																																																																																																																																																																																																																																																																																																																																																																																																																																																																																																																																																																																																																																																																																																																																																																																																																																																																																																																																																																																																																																																																																																																																																																																																																																																																																																																																																																																																																																																																																																																																																																																																																																																																																																																																																																																																																																																																																																																																																																																																																																																																																																																																																																																																																																																																																																																																																																																																																																																																																																																																																																																																																																																																																																																																																																																																																																																																																																												
設置工																																																																																																																																																																																																																																																																																																																																																																																																																																																																																																																																																																																																																																																																																																																																																																																																																																																																																																																																																																																																																																																																																																																																																																																																																																																																																																																																																																																																																																																																																																																																																																																																																																																																																																																																																																																																																																																																																																																																																																																																																																																																																																																																																																																																																																																																																																																																																																																																																																																																																																																																																																																																																																																																																																																																																																																																																																																																																																																																																																																																																																																																																																																																																																																																																																																																																																																																																																																																																																																																																																																																																																																																																																																																																																																																																																																																																																																																																																																																																																																																																																																																																																																																																																																																																																																																																																																																																																																																																																																																																																																																																																																																																																																																																																																																																																																																																																																																																																																																																																																																																																																																																																																																																																																																																																																																																																																												
t																																																																																																																																																																																																																																																																																																																																																																																																																																																																																																																																																																																																																																																																																																																																																																																																																																																																																																																																																																																																																																																																																																																																																																																																																																																																																																																																																																																																																																																																																																																																																																																																																																																																																																																																																																																																																																																																																																																																																																																																																																																																																																																																																																																																																																																																																																																																																																																																																																																																																																																																																																																																																																																																																																																																																																																																																																																																																																																																																																																																																																																																																																																																																																																																																																																																																																																																																																																																																																																																																																																																																																																																																																																																																																																																																																																																																																																																																																																																																																																																																																																																																																																																																																																																																																																																																																																																																																																																																																																																																																																																																																																																																																																																																																																																																																																																																																																																																																																																																																																																																																																																																																																																																																																																																																																																																																																												
2.670																																																																																																																																																																																																																																																																																																																																																																																																																																																																																																																																																																																																																																																																																																																																																																																																																																																																																																																																																																																																																																																																																																																																																																																																																																																																																																																																																																																																																																																																																																																																																																																																																																																																																																																																																																																																																																																																																																																																																																																																																																																																																																																																																																																																																																																																																																																																																																																																																																																																																																																																																																																																																																																																																																																																																																																																																																																																																																																																																																																																																																																																																																																																																																																																																																																																																																																																																																																																																																																																																																																																																																																																																																																																																																																																																																																																																																																																																																																																																																																																																																																																																																																																																																																																																																																																																																																																																																																																																																																																																																																																																																																																																																																																																																																																																																																																																																																																																																																																																																																																																																																																																																																																																																																																																																																																																																																												
1.941																																																																																																																																																																																																																																																																																																																																																																																																																																																																																																																																																																																																																																																																																																																																																																																																																																																																																																																																																																																																																																																																																																																																																																																																																																																																																																																																																																																																																																																																																																																																																																																																																																																																																																																																																																																																																																																																																																																																																																																																																																																																																																																																																																																																																																																																																																																																																																																																																																																																																																																																																																																																																																																																																																																																																																																																																																																																																																																																																																																																																																																																																																																																																																																																																																																																																																																																																																																																																																																																																																																																																																																																																																																																																																																																																																																																																																																																																																																																																																																																																																																																																																																																																																																																																																																																																																																																																																																																																																																																																																																																																																																																																																																																																																																																																																																																																																																																																																																																																																																																																																																																																																																																																																																																																																																																																																																												
4.611																																																																																																																																																																																																																																																																																																																																																																																																																																																																																																																																																																																																																																																																																																																																																																																																																																																																																																																																																																																																																																																																																																																																																																																																																																																																																																																																																																																																																																																																																																																																																																																																																																																																																																																																																																																																																																																																																																																																																																																																																																																																																																																																																																																																																																																																																																																																																																																																																																																																																																																																																																																																																																																																																																																																																																																																																																																																																																																																																																																																																																																																																																																																																																																																																																																																																																																																																																																																																																																																																																																																																																																																																																																																																																																																																																																																																																																																																																																																																																																																																																																																																																																																																																																																																																																																																																																																																																																																																																																																																																																																																																																																																																																																																																																																																																																																																																																																																																																																																																																																																																																																																																																																																																																																																																																																																																																												
2.672																																																																																																																																																																																																																																																																																																																																																																																																																																																																																																																																																																																																																																																																																																																																																																																																																																																																																																																																																																																																																																																																																																																																																																																																																																																																																																																																																																																																																																																																																																																																																																																																																																																																																																																																																																																																																																																																																																																																																																																																																																																																																																																																																																																																																																																																																																																																																																																																																																																																																																																																																																																																																																																																																																																																																																																																																																																																																																																																																																																																																																																																																																																																																																																																																																																																																																																																																																																																																																																																																																																																																																																																																																																																																																																																																																																																																																																																																																																																																																																																																																																																																																																																																																																																																																																																																																																																																																																																																																																																																																																																																																																																																																																																																																																																																																																																																																																																																																																																																																																																																																																																																																																																																																																																																																																																																																																												
1.941																																																																																																																																																																																																																																																																																																																																																																																																																																																																																																																																																																																																																																																																																																																																																																																																																																																																																																																																																																																																																																																																																																																																																																																																																																																																																																																																																																																																																																																																																																																																																																																																																																																																																																																																																																																																																																																																																																																																																																																																																																																																																																																																																																																																																																																																																																																																																																																																																																																																																																																																																																																																																																																																																																																																																																																																																																																																																																																																																																																																																																																																																																																																																																																																																																																																																																																																																																																																																																																																																																																																																																																																																																																																																																																																																																																																																																																																																																																																																																																																																																																																																																																																																																																																																																																																																																																																																																																																																																																																																																																																																																																																																																																																																																																																																																																																																																																																																																																																																																																																																																																																																																																																																																																																																																																																																																																												
4.612																																																																																																																																																																																																																																																																																																																																																																																																																																																																																																																																																																																																																																																																																																																																																																																																																																																																																																																																																																																																																																																																																																																																																																																																																																																																																																																																																																																																																																																																																																																																																																																																																																																																																																																																																																																																																																																																																																																																																																																																																																																																																																																																																																																																																																																																																																																																																																																																																																																																																																																																																																																																																																																																																																																																																																																																																																																																																																																																																																																																																																																																																																																																																																																																																																																																																																																																																																																																																																																																																																																																																																																																																																																																																																																																																																																																																																																																																																																																																																																																																																																																																																																																																																																																																																																																																																																																																																																																																																																																																																																																																																																																																																																																																																																																																																																																																																																																																																																																																																																																																																																																																																																																																																																																																																																																																																																												
9.224																																																																																																																																																																																																																																																																																																																																																																																																																																																																																																																																																																																																																																																																																																																																																																																																																																																																																																																																																																																																																																																																																																																																																																																																																																																																																																																																																																																																																																																																																																																																																																																																																																																																																																																																																																																																																																																																																																																																																																																																																																																																																																																																																																																																																																																																																																																																																																																																																																																																																																																																																																																																																																																																																																																																																																																																																																																																																																																																																																																																																																																																																																																																																																																																																																																																																																																																																																																																																																																																																																																																																																																																																																																																																																																																																																																																																																																																																																																																																																																																																																																																																																																																																																																																																																																																																																																																																																																																																																																																																																																																																																																																																																																																																																																																																																																																																																																																																																																																																																																																																																																																																																																																																																																																																																																																																																																												
76.043																																																																																																																																																																																																																																																																																																																																																																																																																																																																																																																																																																																																																																																																																																																																																																																																																																																																																																																																																																																																																																																																																																																																																																																																																																																																																																																																																																																																																																																																																																																																																																																																																																																																																																																																																																																																																																																																																																																																																																																																																																																																																																																																																																																																																																																																																																																																																																																																																																																																																																																																																																																																																																																																																																																																																																																																																																																																																																																																																																																																																																																																																																																																																																																																																																																																																																																																																																																																																																																																																																																																																																																																																																																																																																																																																																																																																																																																																																																																																																																																																																																																																																																																																																																																																																																																																																																																																																																																																																																																																																																																																																																																																																																																																																																																																																																																																																																																																																																																																																																																																																																																																																																																																																																																																																																																																																																												
(40) 1.7-(12) 段差防止 構造M																																																																																																																																																																																																																																																																																																																																																																																																																																																																																																																																																																																																																																																																																																																																																																																																																																																																																																																																																																																																																																																																																																																																																																																																																																																																																																																																																																																																																																																																																																																																																																																																																																																																																																																																																																																																																																																																																																																																																																																																																																																																																																																																																																																																																																																																																																																																																																																																																																																																																																																																																																																																																																																																																																																																																																																																																																																																																																																																																																																																																																																																																																																																																																																																																																																																																																																																																																																																																																																																																																																																																																																																																																																																																																																																																																																																																																																																																																																																																																																																																																																																																																																																																																																																																																																																																																																																																																																																																																																																																																																																																																																																																																																																																																																																																																																																																																																																																																																																																																																																																																																																																																																																																																																																																																																																																																																												
設置工																																																																																																																																																																																																																																																																																																																																																																																																																																																																																																																																																																																																																																																																																																																																																																																																																																																																																																																																																																																																																																																																																																																																																																																																																																																																																																																																																																																																																																																																																																																																																																																																																																																																																																																																																																																																																																																																																																																																																																																																																																																																																																																																																																																																																																																																																																																																																																																																																																																																																																																																																																																																																																																																																																																																																																																																																																																																																																																																																																																																																																																																																																																																																																																																																																																																																																																																																																																																																																																																																																																																																																																																																																																																																																																																																																																																																																																																																																																																																																																																																																																																																																																																																																																																																																																																																																																																																																																																																																																																																																																																																																																																																																																																																																																																																																																																																																																																																																																																																																																																																																																																																																																																																																																																																																																																																																																												
t																																																																																																																																																																																																																																																																																																																																																																																																																																																																																																																																																																																																																																																																																																																																																																																																																																																																																																																																																																																																																																																																																																																																																																																																																																																																																																																																																																																																																																																																																																																																																																																																																																																																																																																																																																																																																																																																																																																																																																																																																																																																																																																																																																																																																																																																																																																																																																																																																																																																																																																																																																																																																																																																																																																																																																																																																																																																																																																																																																																																																																																																																																																																																																																																																																																																																																																																																																																																																																																																																																																																																																																																																																																																																																																																																																																																																																																																																																																																																																																																																																																																																																																																																																																																																																																																																																																																																																																																																																																																																																																																																																																																																																																																																																																																																																																																																																																																																																																																																																																																																																																																																																																																																																																																																																																																																																																												
2.670																																																																																																																																																																																																																																																																																																																																																																																																																																																																																																																																																																																																																																																																																																																																																																																																																																																																																																																																																																																																																																																																																																																																																																																																																																																																																																																																																																																																																																																																																																																																																																																																																																																																																																																																																																																																																																																																																																																																																																																																																																																																																																																																																																																																																																																																																																																																																																																																																																																																																																																																																																																																																																																																																																																																																																																																																																																																																																																																																																																																																																																																																																																																																																																																																																																																																																																																																																																																																																																																																																																																																																																																																																																																																																																																																																																																																																																																																																																																																																																																																																																																																																																																																																																																																																																																																																																																																																																																																																																																																																																																																																																																																																																																																																																																																																																																																																																																																																																																																																																																																																																																																																																																																																																																																																																																																																																												
1.941																																																																																																																																																																																																																																																																																																																																																																																																																																																																																																																																																																																																																																																																																																																																																																																																																																																																																																																																																																																																																																																																																																																																																																																																																																																																																																																																																																																																																																																																																																																																																																																																																																																																																																																																																																																																																																																																																																																																																																																																																																																																																																																																																																																																																																																																																																																																																																																																																																																																																																																																																																																																																																																																																																																																																																																																																																																																																																																																																																																																																																																																																																																																																																																																																																																																																																																																																																																																																																																																																																																																																																																																																																																																																																																																																																																																																																																																																																																																																																																																																																																																																																																																																																																																																																																																																																																																																																																																																																																																																																																																																																																																																																																																																																																																																																																																																																																																																																																																																																																																																																																																																																																																																																																																																																																																																																																												
4.611																																																																																																																																																																																																																																																																																																																																																																																																																																																																																																																																																																																																																																																																																																																																																																																																																																																																																																																																																																																																																																																																																																																																																																																																																																																																																																																																																																																																																																																																																																																																																																																																																																																																																																																																																																																																																																																																																																																																																																																																																																																																																																																																																																																																																																																																																																																																																																																																																																																																																																																																																																																																																																																																																																																																																																																																																																																																																																																																																																																																																																																																																																																																																																																																																																																																																																																																																																																																																																																																																																																																																																																																																																																																																																																																																																																																																																																																																																																																																																																																																																																																																																																																																																																																																																																																																																																																																																																																																																																																																																																																																																																																																																																																																																																																																																																																																																																																																																																																																																																																																																																																																																																																																																																																																																																																																																																												
2.672																																																																																																																																																																																																																																																																																																																																																																																																																																																																																																																																																																																																																																																																																																																																																																																																																																																																																																																																																																																																																																																																																																																																																																																																																																																																																																																																																																																																																																																																																																																																																																																																																																																																																																																																																																																																																																																																																																																																																																																																																																																																																																																																																																																																																																																																																																																																																																																																																																																																																																																																																																																																																																																																																																																																																																																																																																																																																																																																																																																																																																																																																																																																																																																																																																																																																																																																																																																																																																																																																																																																																																																																																																																																																																																																																																																																																																																																																																																																																																																																																																																																																																																																																																																																																																																																																																																																																																																																																																																																																																																																																																																																																																																																																																																																																																																																																																																																																																																																																																																																																																																																																																																																																																																																																																																																																																																												
1.941																																																																																																																																																																																																																																																																																																																																																																																																																																																																																																																																																																																																																																																																																																																																																																																																																																																																																																																																																																																																																																																																																																																																																																																																																																																																																																																																																																																																																																																																																																																																																																																																																																																																																																																																																																																																																																																																																																																																																																																																																																																																																																																																																																																																																																																																																																																																																																																																																																																																																																																																																																																																																																																																																																																																																																																																																																																																																																																																																																																																																																																																																																																																																																																																																																																																																																																																																																																																																																																																																																																																																																																																																																																																																																																																																																																																																																																																																																																																																																																																																																																																																																																																																																																																																																																																																																																																																																																																																																																																																																																																																																																																																																																																																																																																																																																																																																																																																																																																																																																																																																																																																																																																																																																																																																																																																																																												
4.612																																																																																																																																																																																																																																																																																																																																																																																																																																																																																																																																																																																																																																																																																																																																																																																																																																																																																																																																																																																																																																																																																																																																																																																																																																																																																																																																																																																																																																																																																																																																																																																																																																																																																																																																																																																																																																																																																																																																																																																																																																																																																																																																																																																																																																																																																																																																																																																																																																																																																																																																																																																																																																																																																																																																																																																																																																																																																																																																																																																																																																																																																																																																																																																																																																																																																																																																																																																																																																																																																																																																																																																																																																																																																																																																																																																																																																																																																																																																																																																																																																																																																																																																																																																																																																																																																																																																																																																																																																																																																																																																																																																																																																																																																																																																																																																																																																																																																																																																																																																																																																																																																																																																																																																																																																																																																																																												
9.224																																																																																																																																																																																																																																																																																																																																																																																																																																																																																																																																																																																																																																																																																																																																																																																																																																																																																																																																																																																																																																																																																																																																																																																																																																																																																																																																																																																																																																																																																																																																																																																																																																																																																																																																																																																																																																																																																																																																																																																																																																																																																																																																																																																																																																																																																																																																																																																																																																																																																																																																																																																																																																																																																																																																																																																																																																																																																																																																																																																																																																																																																																																																																																																																																																																																																																																																																																																																																																																																																																																																																																																																																																																																																																																																																																																																																																																																																																																																																																																																																																																																																																																																																																																																																																																																																																																																																																																																																																																																																																																																																																																																																																																																																																																																																																																																																																																																																																																																																																																																																																																																																																																																																																																																																																																																																																																												
76.043																																																																																																																																																																																																																																																																																																																																																																																																																																																																																																																																																																																																																																																																																																																																																																																																																																																																																																																																																																																																																																																																																																																																																																																																																																																																																																																																																																																																																																																																																																																																																																																																																																																																																																																																																																																																																																																																																																																																																																																																																																																																																																																																																																																																																																																																																																																																																																																																																																																																																																																																																																																																																																																																																																																																																																																																																																																																																																																																																																																																																																																																																																																																																																																																																																																																																																																																																																																																																																																																																																																																																																																																																																																																																																																																																																																																																																																																																																																																																																																																																																																																																																																																																																																																																																																																																																																																																																																																																																																																																																																																																																																																																																																																																																																																																																																																																																																																																																																																																																																																																																																																																																																																																																																																																																																																																																																												
(40) 1.7-(12) 段差防止 構造M																																																																																																																																																																																																																																																																																																																																																																																																																																																																																																																																																																																																																																																																																																																																																																																																																																																																																																																																																																																																																																																																																																																																																																																																																																																																																																																																																																																																																																																																																																																																																																																																																																																																																																																																																																																																																																																																																																																																																																																																																																																																																																																																																																																																																																																																																																																																																																																																																																																																																																																																																																																																																																																																																																																																																																																																																																																																																																																																																																																																																																																																																																																																																																																																																																																																																																																																																																																																																																																																																																																																																																																																																																																																																																																																																																																																																																																																																																																																																																																																																																																																																																																																																																																																																																																																																																																																																																																																																																																																																																																																																																																																																																																																																																																																																																																																																																																																																																																																																																																																																																																																																																																																																																																																																																																																																																																												
設置工																																																																																																																																																																																																																																																																																																																																																																																																																																																																																																																																																																																																																																																																																																																																																																																																																																																																																																																																																																																																																																																																																																																																																																																																																																																																																																																																																																																																																																																																																																																																																																																																																																																																																																																																																																																																																																																																																																																																																																																																																																																																																																																																																																																																																																																																																																																																																																																																																																																																																																																																																																																																																																																																																																																																																																																																																																																																																																																																																																																																																																																																																																																																																																																																																																																																																																																																																																																																																																																																																																																																																																																																																																																																																																																																																																																																																																																																																																																																																																																																																																																																																																																																																																																																																																																																																																																																																																																																																																																																																																																																																																																																																																																																																																																																																																																																																																																																																																																																																																																																																																																																																																																																																																																																																																																																																																																												
t																																																																																																																																																																																																																																																																																																																																																																																																																																																																																																																																																																																																																																																																																																																																																																																																																																																																																																																																																																																																																																																																																																																																																																																																																																																																																																																																																																																																																																																																																																																																																																																																																																																																																																																																																																																																																																																																																																																																																																																																																																																																																																																																																																																																																																																																																																																																																																																																																																																																																																																																																																																																																																																																																																																																																																																																																																																																																																																																																																																																																																																																																																																																																																																																																																																																																																																																																																																																																																																																																																																																																																																																																																																																																																																																																																																																																																																																																																																																																																																																																																																																																																																																																																																																																																																																																																																																																																																																																																																																																																																																																																																																																																																																																																																																																																																																																																																																																																																																																																																																																																																																																																																																																																																																																																																																																																																												
2.670																																																																																																																																																																																																																																																																																																																																																																																																																																																																																																																																																																																																																																																																																																																																																																																																																																																																																																																																																																																																																																																																																																																																																																																																																																																																																																																																																																																																																																																																																																																																																																																																																																																																																																																																																																																																																																																																																																																																																																																																																																																																																																																																																																																																																																																																																																																																																																																																																																																																																																																																																																																																																																																																																																																																																																																																																																																																																																																																																																																																																																																																																																																																																																																																																																																																																																																																																																																																																																																																																																																																																																																																																																																																																																																																																																																																																																																																																																																																																																																																																																																																																																																																																																																																																																																																																																																																																																																																																																																																																																																																																																																																																																																																																																																																																																																																																																																																																																																																																																																																																																																																																																																																																																																																																																																																																																																												
1.941																																																																																																																																																																																																																																																																																																																																																																																																																																																																																																																																																																																																																																																																																																																																																																																																																																																																																																																																																																																																																																																																																																																																																																																																																																																																																																																																																																																																																																																																																																																																																																																																																																																																																																																																																																																																																																																																																																																																																																																																																																																																																																																																																																																																																																																																																																																																																																																																																																																																																																																																																																																																																																																																																																																																																																																																																																																																																																																																																																																																																																																																																																																																																																																																																																																																																																																																																																																																																																																																																																																																																																																																																																																																																																																																																																																																																																																																																																																																																																																																																																																																																																																																																																																																																																																																																																																																																																																																																																																																																																																																																																																																																																																																																																																																																																																																																																																																																																																																																																																																																																																																																																																																																																																																																																																																																																																												
4.611																																																																																																																																																																																																																																																																																																																																																																																																																																																																																																																																																																																																																																																																																																																																																																																																																																																																																																																																																																																																																																																																																																																																																																																																																																																																																																																																																																																																																																																																																																																																																																																																																																																																																																																																																																																																																																																																																																																																																																																																																																																																																																																																																																																																																																																																																																																																																																																																																																																																																																																																																																																																																																																																																																																																																																																																																																																																																																																																																																																																																																																																																																																																																																																																																																																																																																																																																																																																																																																																																																																																																																																																																																																																																																																																																																																																																																																																																																																																																																																																																																																																																																																																																																																																																																																																																																																																																																																																																																																																																																																																																																																																																																																																																																																																																																																																																																																																																																																																																																																																																																																																																																																																																																																																																																																																																																																												
2.672																																																																																																																																																																																																																																																																																																																																																																																																																																																																																																																																																																																																																																																																																																																																																																																																																																																																																																																																																																																																																																																																																																																																																																																																																																																																																																																																																																																																																																																																																																																																																																																																																																																																																																																																																																																																																																																																																																																																																																																																																																																																																																																																																																																																																																																																																																																																																																																																																																																																																																																																																																																																																																																																																																																																																																																																																																																																																																																																																																																																																																																																																																																																																																																																																																																																																																																																																																																																																																																																																																																																																																																																																																																																																																																																																																																																																																																																																																																																																																																																																																																																																																																																																																																																																																																																																																																																																																																																																																																																																																																																																																																																																																																																																																																																																																																																																																																																																																																																																																																																																																																																																																																																																																																																																																																																																																																												
1.941																																																																																																																																																																																																																																																																																																																																																																																																																																																																																																																																																																																																																																																																																																																																																																																																																																																																																																																																																																																																																																																																																																																																																																																																																																																																																																																																																																																																																																																																																																																																																																																																																																																																																																																																																																																																																																																																																																																																																																																																																																																																																																																																																																																																																																																																																																																																																																																																																																																																																																																																																																																																																																																																																																																																																																																																																																																																																																																																																																																																																																																																																																																																																																																																																																																																																																																																																																																																																																																																																																																																																																																																																																																																																																																																																																																																																																																																																																																																																																																																																																																																																																																																																																																																																																																																																																																																																																																																																																																																																																																																																																																																																																																																																																																																																																																																																																																																																																																																																																																																																																																																																																																																																																																																																																																																																																																												
4.612																																																																																																																																																																																																																																																																																																																																																																																																																																																																																																																																																																																																																																																																																																																																																																																																																																																																																																																																																																																																																																																																																																																																																																																																																																																																																																																																																																																																																																																																																																																																																																																																																																																																																																																																																																																																																																																																																																																																																																																																																																																																																																																																																																																																																																																																																																																																																																																																																																																																																																																																																																																																																																																																																																																																																																																																																																																																																																																																																																																																																																																																																																																																																																																																																																																																																																																																																																																																																																																																																																																																																																																																																																																																																																																																																																																																																																																																																																																																																																																																																																																																																																																																																																																																																																																																																																																																																																																																																																																																																																																																																																																																																																																																																																																																																																																																																																																																																																																																																																																																																																																																																																																																																																																																																																																																																																																												
9.224																																																																																																																																																																																																																																																																																																																																																																																																																																																																																																																																																																																																																																																																																																																																																																																																																																																																																																																																																																																																																																																																																																																																																																																																																																																																																																																																																																																																																																																																																																																																																																																																																																																																																																																																																																																																																																																																																																																																																																																																																																																																																																																																																																																																																																																																																																																																																																																																																																																																																																																																																																																																																																																																																																																																																																																																																																																																																																																																																																																																																																																																																																																																																																																																																																																																																																																																																																																																																																																																																																																																																																																																																																																																																																																																																																																																																																																																																																																																																																																																																																																																																																																																																																																																																																																																																																																																																																																																																																																																																																																																																																																																																																																																																																																																																																																																																																																																																																																																																																																																																																																																																																																																																																																																																																																																																																																												
76.043																																																																																																																																																																																																																																																																																																																																																																																																																																																																																																																																																																																																																																																																																																																																																																																																																																																																																																																																																																																																																																																																																																																																																																																																																																																																																																																																																																																																																																																																																																																																																																																																																																																																																																																																																																																																																																																																																																																																																																																																																																																																																																																																																																																																																																																																																																																																																																																																																																																																																																																																																																																																																																																																																																																																																																																																																																																																																																																																																																																																																																																																																																																																																																																																																																																																																																																																																																																																																																																																																																																																																																																																																																																																																																																																																																																																																																																																																																																																																																																																																																																																																																																																																																																																																																																																																																																																																																																																																																																																																																																																																																																																																																																																																																																																																																																																																																																																																																																																																																																																																																																																																																																																																																																																																																																																																																																												
(40) 1.7-(12) 段差防止 構造M																																																																																																																																																																																																																																																																																																																																																																																																																																																																																																																																																																																																																																																																																																																																																																																																																																																																																																																																																																																																																																																																																																																																																																																																																																																																																																																																																																																																																																																																																																																																																																																																																																																																																																																																																																																																																																																																																																																																																																																																																																																																																																																																																																																																																																																																																																																																																																																																																																																																																																																																																																																																																																																																																																																																																																																																																																																																																																																																																																																																																																																																																																																																																																																																																																																																																																																																																																																																																																																																																																																																																																																																																																																																																																																																																																																																																																																																																																																																																																																																																																																																																																																																																																																																																																																																																																																																																																																																																																																																																																																																																																																																																																																																																																																																																																																																																																																																																																																																																																																																																																																																																																																																																																																																																																																																																																																												
設置工																																																																																																																																																																																																																																																																																																																																																																																																																																																																																																																																																																																																																																																																																																																																																																																																																																																																																																																																																																																																																																																																																																																																																																																																																																																																																																																																																																																																																																																																																																																																																																																																																																																																																																																																																																																																																																																																																																																																																																																																																																																																																																																																																																																																																																																																																																																																																																																																																																																																																																																																																																																																																																																																																																																																																																																																																																																																																																																																																																																																																																																																																																																																																																																																																																																																																																																																																																																																																																																																																																																																																																																																																																																																																																																																																																																																																																																																																																																																																																																																																																																																																																																																																																																																																																																																																																																																																																																																																																																																																																																																																																																																																																																																																																																																																																																																																																																																																																																																																																																																																																																																																																																																																																																																																																																																																																																												
t																																																																																																																																																																																																																																																																																																																																																																																																																																																																																																																																																																																																																																																																																																																																																																																																																																																																																																																																																																																																																																																																																																																																																																																																																																																																																																																																																																																																																																																																																																																																																																																																																																																																																																																																																																																																																																																																																																																																																																																																																																																																																																																																																																																																																																																																																																																																																																																																																																																																																																																																																																																																																																																																																																																																																																																																																																																																																																																																																																																																																																																																																																																																																																																																																																																																																																																																																																																																																																																																																																																																																																																																																																																																																																																																																																																																																																																																																																																																																																																																																																																																																																																																																																																																																																																																																																																																																																																																																																																																																																																																																																																																																																																																																																																																																																																																																																																																																																																																																																																																																																																																																																																																																																																																																																																																																																																												
2.670																																																																																																																																																																																																																																																																																																																																																																																																																																																																																																																																																																																																																																																																																																																																																																																																																																																																																																																																																																																																																																																																																																																																																																																																																																																																																																																																																																																																																																																																																																																																																																																																																																																																																																																																																																																																																																																																																																																																																																																																																																																																																																																																																																																																																																																																																																																																																																																																																																																																																																																																																																																																																																																																																																																																																																																																																																																																																																																																																																																																																																																																																																																																																																																																																																																																																																																																																																																																																																																																																																																																																																																																																																																																																																																																																																																																																																																																																																																																																																																																																																																																																																																																																																																																																																																																																																																																																																																																																																																																																																																																																																																																																																																																																																																																																																																																																																																																																																																																																																																																																																																																																																																																																																																																																																																																																																																												
1.941																																																																																																																																																																																																																																																																																																																																																																																																																																																																																																																																																																																																																																																																																																																																																																																																																																																																																																																																																																																																																																																																																																																																																																																																																																																																																																																																																																																																																																																																																																																																																																																																																																																																																																																																																																																																																																																																																																																																																																																																																																																																																																																																																																																																																																																																																																																																																																																																																																																																																																																																																																																																																																																																																																																																																																																																																																																																																																																																																																																																																																																																																																																																																																																																																																																																																																																																																																																																																																																																																																																																																																																																																																																																																																																																																																																																																																																																																																																																																																																																																																																																																																																																																																																																																																																																																																																																																																																																																																																																																																																																																																																																																																																																																																																																																																																																																																																																																																																																																																																																																																																																																																																																																																																																																																																																																																																												
4.611																																																																																																																																																																																																																																																																																																																																																																																																																																																																																																																																																																																																																																																																																																																																																																																																																																																																																																																																																																																																																																																																																																																																																																																																																																																																																																																																																																																																																																																																																																																																																																																																																																																																																																																																																																																																																																																																																																																																																																																																																																																																																																																																																																																																																																																																																																																																																																																																																																																																																																																																																																																																																																																																																																																																																																																																																																																																																																																																																																																																																																																																																																																																																																																																																																																																																																																																																																																																																																																																																																																																																																																																																																																																																																																																																																																																																																																																																																																																																																																																																																																																																																																																																																																																																																																																																																																																																																																																																																																																																																																																																																																																																																																																																																																																																																																																																																																																																																																																																																																																																																																																																																																																																																																																																																																																																																																												
2.672																																																																																																																																																																																																																																																																																																																																																																																																																																																																																																																																																																																																																																																																																																																																																																																																																																																																																																																																																																																																																																																																																																																																																																																																																																																																																																																																																																																																																																																																																																																																																																																																																																																																																																																																																																																																																																																																																																																																																																																																																																																																																																																																																																																																																																																																																																																																																																																																																																																																																																																																																																																																																																																																																																																																																																																																																																																																																																																																																																																																																																																																																																																																																																																																																																																																																																																																																																																																																																																																																																																																																																																																																																																																																																																																																																																																																																																																																																																																																																																																																																																																																																																																																																																																																																																																																																																																																																																																																																																																																																																																																																																																																																																																																																																																																																																																																																																																																																																																																																																																																																																																																																																																																																																																																																																																																																																												
1.941																																																																																																																																																																																																																																																																																																																																																																																																																																																																																																																																																																																																																																																																																																																																																																																																																																																																																																																																																																																																																																																																																																																																																																																																																																																																																																																																																																																																																																																																																																																																																																																																																																																																																																																																																																																																																																																																																																																																																																																																																																																																																																																																																																																																																																																																																																																																																																																																																																																																																																																																																																																																																																																																																																																																																																																																																																																																																																																																																																																																																																																																																																																																																																																																																																																																																																																																																																																																																																																																																																																																																																																																																																																																																																																																																																																																																																																																																																																																																																																																																																																																																																																																																																																																																																																																																																																																																																																																																																																																																																																																																																																																																																																																																																																																																																																																																																																																																																																																																																																																																																																																																																																																																																																																																																																																																																																												
4.612																																																																																																																																																																																																																																																																																																																																																																																																																																																																																																																																																																																																																																																																																																																																																																																																																																																																																																																																																																																																																																																																																																																																																																																																																																																																																																																																																																																																																																																																																																																																																																																																																																																																																																																																																																																																																																																																																																																																																																																																																																																																																																																																																																																																																																																																																																																																																																																																																																																																																																																																																																																																																																																																																																																																																																																																																																																																																																																																																																																																																																																																																																																																																																																																																																																																																																																																																																																																																																																																																																																																																																																																																																																																																																																																																																																																																																																																																																																																																																																																																																																																																																																																																																																																																																																																																																																																																																																																																																																																																																																																																																																																																																																																																																																																																																																																																																																																																																																																																																																																																																																																																																																																																																																																																																																																																																																												
9.224																																																																																																																																																																																																																																																																																																																																																																																																																																																																																																																																																																																																																																																																																																																																																																																																																																																																																																																																																																																																																																																																																																																																																																																																																																																																																																																																																																																																																																																																																																																																																																																																																																																																																																																																																																																																																																																																																																																																																																																																																																																																																																																																																																																																																																																																																																																																																																																																																																																																																																																																																																																																																																																																																																																																																																																																																																																																																																																																																																																																																																																																																																																																																																																																																																																																																																																																																																																																																																																																																																																																																																																																																																																																																																																																																																																																																																																																																																																																																																																																																																																																																																																																																																																																																																																																																																																																																																																																																																																																																																																																																																																																																																																																																																																																																																																																																																																																																																																																																																																																																																																																																																																																																																																																																																																																																																																												
76.043																																																																																																																																																																																																																																																																																																																																																																																																																																																																																																																																																																																																																																																																																																																																																																																																																																																																																																																																																																																																																																																																																																																																																																																																																																																																																																																																																																																																																																																																																																																																																																																																																																																																																																																																																																																																																																																																																																																																																																																																																																																																																																																																																																																																																																																																																																																																																																																																																																																																																																																																																																																																																																																																																																																																																																																																																																																																																																																																																																																																																																																																																																																																																																																																																																																																																																																																																																																																																																																																																																																																																																																																																																																																																																																																																																																																																																																																																																																																																																																																																																																																																																																																																																																																																																																																																																																																																																																																																																																																																																																																																																																																																																																																																																																																																																																																																																																																																																																																																																																																																																																																																																																																																																																																																																																																																																																												
(40) 1.7-(12) 段差防止 構造M																																																																																																																																																																																																																																																																																																																																																																																																																																																																																																																																																																																																																																																																																																																																																																																																																																																																																																																																																																																																																																																																																																																																																																																																																																																																																																																																																																																																																																																																																																																																																																																																																																																																																																																																																																																																																																																																																																																																																																																																																																																																																																																																																																																																																																																																																																																																																																																																																																																																																																																																																																																																																																																																																																																																																																																																																																																																																																																																																																																																																																																																																																																																																																																																																																																																																																																																																																																																																																																																																																																																																																																																																																																																																																																																																																																																																																																																																																																																																																																																																																																																																																																																																																																																																																																																																																																																																																																																																																																																																																																																																																																																																																																																																																																																																																																																																																																																																																																																																																																																																																																																																																																																																																																																																																																																																																																												
設置工																																																																																																																																																																																																																																																																																																																																																																																																																																																																																																																																																																																																																																																																																																																																																																																																																																																																																																																																																																																																																																																																																																																																																																																																																																																																																																																																																																																																																																																																																																																																																																																																																																																																																																																																																																																																																																																																																																																																																																																																																																																																																																																																																																																																																																																																																																																																																																																																																																																																																																																																																																																																																																																																																																																																																																																																																																																																																																																																																																																																																																																																																																																																																																																																																																																																																																																																																																																																																																																																																																																																																																																																																																																																																																																																																																																																																																																																																																																																																																																																																																																																																																																																																																																																																																																																																																																																																																																																																																																																																																																																																																																																																																																																																																																																																																																																																																																																																																																																																																																																																																																																																																																																																																																																																																																																																																																												
t																																																																																																																																																																																																																																																																																																																																																																																																																																																																																																																																																																																																																																																																																																																																																																																																																																																																																																																																																																																																																																																																																																																																																																																																																																																																																																																																																																																																																																																																																																																																																																																																																																																																																																																																																																																																																																																																																																																																																																																																																																																																																																																																																																																																																																																																																																																																																																																																																																																																																																																																																																																																																																																																																																																																																																																																																																																																																																																																																																																																																																																																																																																																																																																																																																																																																																																																																																																																																																																																																																																																																																																																																																																																																																																																																																																																																																																																																																																																																																																																																																																																																																																																																																																																																																																																																																																																																																																																																																																																																																																																																																																																																																																																																																																																																																																																																																																																																																																																																																																																																																																																																																																																																																																																																																																																																																																												
2.670																																																																																																																																																																																																																																																																																																																																																																																																																																																																																																																																																																																																																																																																																																																																																																																																																																																																																																																																																																																																																																																																																																																																																																																																																																																																																																																																																																																																																																																																																																																																																																																																																																																																																																																																																																																																																																																																																																																																																																																																																																																																																																																																																																																																																																																																																																																																																																																																																																																																																																																																																																																																																																																																																																																																																																																																																																																																																																																																																																																																																																																																																																																																																																																																																																																																																																																																																																																																																																																																																																																																																																																																																																																																																																																																																																																																																																																																																																																																																																																																																																																																																																																																																																																																																																																																																																																																																																																																																																																																																																																																																																																																																																																																																																																																																																																																																																																																																																																																																																																																																																																																																																																																																																																																																																																																																																																												
1.941																																																																																																																																																																																																																																																																																																																																																																																																																																																																																																																																																																																																																																																																																																																																																																																																																																																																																																																																																																																																																																																																																																																																																																																																																																																																																																																																																																																																																																																																																																																																																																																																																																																																																																																																																																																																																																																																																																																																																																																																																																																																																																																																																																																																																																																																																																																																																																																																																																																																																																																																																																																																																																																																																																																																																																																																																																																																																																																																																																																																																																																																																																																																																																																																																																																																																																																																																																																																																																																																																																																																																																																																																																																																																																																																																																																																																																																																																																																																																																																																																																																																																																																																																																																																																																																																																																																																																																																																																																																																																																																																																																																																																																																																																																																																																																																																																																																																																																																																																																																																																																																																																																																																																																																																																																																																																																																												
4.611																																																																																																																																																																																																																																																																																																																																																																																																																																																																																																																																																																																																																																																																																																																																																																																																																																																																																																																																																																																																																																																																																																																																																																																																																																																																																																																																																																																																																																																																																																																																																																																																																																																																																																																																																																																																																																																																																																																																																																																																																																																																																																																																																																																																																																																																																																																																																																																																																																																																																																																																																																																																																																																																																																																																																																																																																																																																																																																																																																																																																																																																																																																																																																																																																																																																																																																																																																																																																																																																																																																																																																																																																																																																																																																																																																																																																																																																																																																																																																																																																																																																																																																																																																																																																																																																																																																																																																																																																																																																																																																																																																																																																																																																																																																																																																																																																																																																																																																																																																																																																																																																																																																																																																																																																																																																																																																												
2.672																																																																																																																																																																																																																																																																																																																																																																																																																																																																																																																																																																																																																																																																																																																																																																																																																																																																																																																																																																																																																																																																																																																																																																																																																																																																																																																																																																																																																																																																																																																																																																																																																																																																																																																																																																																																																																																																																																																																																																																																																																																																																																																																																																																																																																																																																																																																																																																																																																																																																																																																																																																																																																																																																																																																																																																																																																																																																																																																																																																																																																																																																																																																																																																																																																																																																																																																																																																																																																																																																																																																																																																																																																																																																																																																																																																																																																																																																																																																																																																																																																																																																																																																																																																																																																																																																																																																																																																																																																																																																																																																																																																																																																																																																																																																																																																																																																																																																																																																																																																																																																																																																																																																																																																																																																																																																																																												
1.941																																																																																																																																																																																																																																																																																																																																																																																																																																																																																																																																																																																																																																																																																																																																																																																																																																																																																																																																																																																																																																																																																																																																																																																																																																																																																																																																																																																																																																																																																																																																																																																																																																																																																																																																																																																																																																																																																																																																																																																																																																																																																																																																																																																																																																																																																																																																																																																																																																																																																																																																																																																																																																																																																																																																																																																																																																																																																																																																																																																																																																																																																																																																																																																																																																																																																																																																																																																																																																																																																																																																																																																																																																																																																																																																																																																																																																																																																																																																																																																																																																																																																																																																																																																																																																																																																																																																																																																																																																																																																																																																																																																																																																																																																																																																																																																																																																																																																																																																																																																																																																																																																																																																																																																																																																																																																																																												
4.612																																																																																																																																																																																																																																																																																																																																																																																																																																																																																																																																																																																																																																																																																																																																																																																																																																																																																																																																																																																																																																																																																																																																																																																																																																																																																																																																																																																																																																																																																																																																																																																																																																																																																																																																																																																																																																																																																																																																																																																																																																																																																																																																																																																																																																																																																																																																																																																																																																																																																																																																																																																																																																																																																																																																																																																																																																																																																																																																																																																																																																																																																																																																																																																																																																																																																																																																																																																																																																																																																																																																																																																																																																																																																																																																																																																																																																																																																																																																																																																																																																																																																																																																																																																																																																																																																																																																																																																																																																																																																																																																																																																																																																																																																																																																																																																																																																																																																																																																																																																																																																																																																																																																																																																																																																																																																																																												
9.224																																																																																																																																																																																																																																																																																																																																																																																																																																																																																																																																																																																																																																																																																																																																																																																																																																																																																																																																																																																																																																																																																																																																																																																																																																																																																																																																																																																																																																																																																																																																																																																																																																																																																																																																																																																																																																																																																																																																																																																																																																																																																																																																																																																																																																																																																																																																																																																																																																																																																																																																																																																																																																																																																																																																																																																																																																																																																																																																																																																																																																																																																																																																																																																																																																																																																																																																																																																																																																																																																																																																																																																																																																																																																																																																																																																																																																																																																																																																																																																																																																																																																																																																																																																																																																																																																																																																																																																																																																																																																																																																																																																																																																																																																																																																																																																																																																																																																																																																																																																																																																																																																																																																																																																																																																																																																																																												
76.043																																																																																																																																																																																																																																																																																																																																																																																																																																																																																																																																																																																																																																																																																																																																																																																																																																																																																																																																																																																																																																																																																																																																																																																																																																																																																																																																																																																																																																																																																																																																																																																																																																																																																																																																																																																																																																																																																																																																																																																																																																																																																																																																																																																																																																																																																																																																																																																																																																																																																																																																																																																																																																																																																																																																																																																																																																																																																																																																																																																																																																																																																																																																																																																																																																																																																																																																																																																																																																																																																																																																																																																																																																																																																																																																																																																																																																																																																																																																																																																																																																																																																																																																																																																																																																																																																																																																																																																																																																																																																																																																																																																																																																																																																																																																																																																																																																																																																																																																																																																																																																																																																																																																																																																																																																																																																																																												
(40) 1.7-(12) 段差防止 構造M																																																																																																																																																																																																																																																																																																																																																																																																																																																																																																																																																																																																																																																																																																																																																																																																																																																																																																																																																																																																																																																																																																																																																																																																																																																																																																																																																																																																																																																																																																																																																																																																																																																																																																																																																																																																																																																																																																																																																																																																																																																																																																																																																																																																																																																																																																																																																																																																																																																																																																																																																																																																																																																																																																																																																																																																																																																																																																																																																																																																																																																																																																																																																																																																																																																																																																																																																																																																																																																																																																																																																																																																																																																																																																																																																																																																																																																																																																																																																																																																																																																																																																																																																																																																																																																																																																																																																																																																																																																																																																																																																																																																																																																																																																																																																																																																																																																																																																																																																																																																																																																																																																																																																																																																																																																																																																																												
設置工																																																																																																																																																																																																																																																																																																																																																																																																																																																																																																																																																																																																																																																																																																																																																																																																																																																																																																																																																																																																																																																																																																																																																																																																																																																																																																																																																																																																																																																																																																																																																																																																																																																																																																																																																																																																																																																																																																																																																																																																																																																																																																																																																																																																																																																																																																																																																																																																																																																																																																																																																																																																																																																																																																																																																																																																																																																																																																																																																																																																																																																																																																																																																																																																																																																																																																																																																																																																																																																																																																																																																																																																																																																																																																																																																																																																																																																																																																																																																																																																																																																																																																																																																																																																																																																																																																																																																																																																																																																																																																																																																																																																																																																																																																																																																																																																																																																																																																																																																																																																																																																																																																																																																																																																																																																																																																																												
t																																																																																																																																																																																																																																																																																																																																																																																																																																																																																																																																																																																																																																																																																																																																																																																																																																																																																																																																																																																																																																																																																																																																																																																																																																																																																																																																																																																																																																																																																																																																																																																																																																																																																																																																																																																																																																																																																																																																																																																																																																																																																																																																																																																																																																																																																																																																																																																																																																																																																																																																																																																																																																																																																																																																																																																																																																																																																																																																																																																																																																																																																																																																																																																																																																																																																																																																																																																																																																																																																																																																																																																																																																																																																																																																																																																																																																																																																																																																																																																																																																																																																																																																																																																																																																																																																																																																																																																																																																																																																																																																																																																																																																																																																																																																																																																																																																																																																																																																																																																																																																																																																																																																																																																																																																																																																																																												
2.670																																																																																																																																																																																																																																																																																																																																																																																																																																																																																																																																																																																																																																																																																																																																																																																																																																																																																																																																																																																																																																																																																																																																																																																																																																																																																																																																																																																																																																																																																																																																																																																																																																																																																																																																																																																																																																																																																																																																																																																																																																																																																																																																																																																																																																																																																																																																																																																																																																																																																																																																																																																																																																																																																																																																																																																																																																																																																																																																																																																																																																																																																																																																																																																																																																																																																																																																																																																																																																																																																																																																																																																																																																																																																																																																																																																																																																																																																																																																																																																																																																																																																																																																																																																																																																																																																																																																																																																																																																																																																																																																																																																																																																																																																																																																																																																																																																																																																																																																																																																																																																																																																																																																																																																																																																																																																																																												
1.941																																																																																																																																																																																																																																																																																																																																																																																																																																																																																																																																																																																																																																																																																																																																																																																																																																																																																																																																																																																																																																																																																																																																																																																																																																																																																																																																																																																																																																																																																																																																																																																																																																																																																																																																																																																																																																																																																																																																																																																																																																																																																																																																																																																																																																																																																																																																																																																																																																																																																																																																																																																																																																																																																																																																																																																																																																																																																																																																																																																																																																																																																																																																																																																																																																																																																																																																																																																																																																																																																																																																																																																																																																																																																																																																																																																																																																																																																																																																																																																																																																																																																																																																																																																																																																																																																																																																																																																																																																																																																																																																																																																																																																																																																																																																																																																																																																																																																																																																																																																																																																																																																																																																																																																																																																																																																																																												
4.611																																																																																																																																																																																																																																																																																																																																																																																																																																																																																																																																																																																																																																																																																																																																																																																																																																																																																																																																																																																																																																																																																																																																																																																																																																																																																																																																																																																																																																																																																																																																																																																																																																																																																																																																																																																																																																																																																																																																																																																																																																																																																																																																																																																																																																																																																																																																																																																																																																																																																																																																																																																																																																																																																																																																																																																																																																																																																																																																																																																																																																																																																																																																																																																																																																																																																																																																																																																																																																																																																																																																																																																																																																																																																																																																																																																																																																																																																																																																																																																																																																																																																																																																																																																																																																																																																																																																																																																																																																																																																																																																																																																																																																																																																																																																																																																																																																																																																																																																																																																																																																																																																																																																																																																																																																																																																																																												
2.672																																																																																																																																																																																																																																																																																																																																																																																																																																																																																																																																																																																																																																																																																																																																																																																																																																																																																																																																																																																																																																																																																																																																																																																																																																																																																																																																																																																																																																																																																																																																																																																																																																																																																																																																																																																																																																																																																																																																																																																																																																																																																																																																																																																																																																																																																																																																																																																																																																																																																																																																																																																																																																																																																																																																																																																																																																																																																																																																																																																																																																																																																																																																																																																																																																																																																																																																																																																																																																																																																																																																																																																																																																																																																																																																																																																																																																																																																																																																																																																																																																																																																																																																																																																																																																																																																																																																																																																																																																																																																																																																																																																																																																																																																																																																																																																																																																																																																																																																																																																																																																																																																																																																																																																																																																																																																																																												
1.941																																																																																																																																																																																																																																																																																																																																																																																																																																																																																																																																																																																																																																																																																																																																																																																																																																																																																																																																																																																																																																																																																																																																																																																																																																																																																																																																																																																																																																																																																																																																																																																																																																																																																																																																																																																																																																																																																																																																																																																																																																																																																																																																																																																																																																																																																																																																																																																																																																																																																																																																																																																																																																																																																																																																																																																																																																																																																																																																																																																																																																																																																																																																																																																																																																																																																																																																																																																																																																																																																																																																																																																																																																																																																																																																																																																																																																																																																																																																																																																																																																																																																																																																																																																																																																																																																																																																																																																																																																																																																																																																																																																																																																																																																																																																																																																																																																																																																																																																																																																																																																																																																																																																																																																																																																																																																																																												
4.612																																																																																																																																																																																																																																																																																																																																																																																																																																																																																																																																																																																																																																																																																																																																																																																																																																																																																																																																																																																																																																																																																																																																																																																																																																																																																																																																																																																																																																																																																																																																																																																																																																																																																																																																																																																																																																																																																																																																																																																																																																																																																																																																																																																																																																																																																																																																																																																																																																																																																																																																																																																																																																																																																																																																																																																																																																																																																																																																																																																																																																																																																																																																																																																																																																																																																																																																																																																																																																																																																																																																																																																																																																																																																																																																																																																																																																																																																																																																																																																																																																																																																																																																																																																																																																																																																																																																																																																																																																																																																																																																																																																																																																																																																																																																																																																																																																																																																																																																																																																																																																																																																																																																																																																																																																																																																																																												
9.224																																																																																																																																																																																																																																																																																																																																																																																																																																																																																																																																																																																																																																																																																																																																																																																																																																																																																																																																																																																																																																																																																																																																																																																																																																																																																																																																																																																																																																																																																																																																																																																																																																																																																																																																																																																																																																																																																																																																																																																																																																																																																																																																																																																																																																																																																																																																																																																																																																																																																																																																																																																																																																																																																																																																																																																																																																																																																																																																																																																																																																																																																																																																																																																																																																																																																																																																																																																																																																																																																																																																																																																																																																																																																																																																																																																																																																																																																																																																																																																																																																																																																																																																																																																																																																																																																																																																																																																																																																																																																																																																																																																																																																																																																																																																																																																																																																																																																																																																																																																																																																																																																																																																																																																																																																																																																																																												
76.043																																																																																																																																																																																																																																																																																																																																																																																																																																																																																																																																																																																																																																																																																																																																																																																																																																																																																																																																																																																																																																																																																																																																																																																																																																																																																																																																																																																																																																																																																																																																																																																																																																																																																																																																																																																																																																																																																																																																																																																																																																																																																																																																																																																																																																																																																																																																																																																																																																																																																																																																																																																																																																																																																																																																																																																																																																																																																																																																																																																																																																																																																																																																																																																																																																																																																																																																																																																																																																																																																																																																																																																																																																																																																																																																																																																																																																																																																																																																																																																																																																																																																																																																																																																																																																																																																																																																																																																																																																																																																																																																																																																																																																																																																																																																																																																																																																																																																																																																																																																																																																																																																																																																																																																																																																																																																																																												
(40) 1.7-(12) 段差防止 構造M																																																																																																																																																																																																																																																																																																																																																																																																																																																																																																																																																																																																																																																																																																																																																																																																																																																																																																																																																																																																																																																																																																																																																																																																																																																																																																																																																																																																																																																																																																																																																																																																																																																																																																																																																																																																																																																																																																																																																																																																																																																																																																																																																																																																																																																																																																																																																																																																																																																																																																																																																																																																																																																																																																																																																																																																																																																																																																																																																																																																																																																																																																																																																																																																																																																																																																																																																																																																																																																																																																																																																																																																																																																																																																																																																																																																																																																																																																																																																																																																																																																																																																																																																																																																																																																																																																																																																																																																																																																																																																																																																																																																																																																																																																																																																																																																																																																																																																																																																																																																																																																																																																																																																																																																																																																																																																																												
設置工																																																																																																																																																																																																																																																																																																																																																																																																																																																																																																																																																																																																																																																																																																																																																																																																																																																																																																																																																																																																																																																																																																																																																																																																																																																																																																																																																																																																																																																																																																																																																																																																																																																																																																																																																																																																																																																																																																																																																																																																																																																																																																																																																																																																																																																																																																																																																																																																																																																																																																																																																																																																																																																																																																																																																																																																																																																																																																																																																																																																																																																																																																																																																																																																																																																																																																																																																																																																																																																																																																																																																																																																																																																																																																																																																																																																																																																																																																																																																																																																																																																																																																																																																																																																																																																																																																																																																																																																																																																																																																																																																																																																																																																																																																																																																																																																																																																																																																																																																																																																																																																																																																																																																																																																																																																																																																																												
t																																																																																																																																																																																																																																																																																																																																																																																																																																																																																																																																																																																																																																																																																																																																																																																																																																																																																																																																																																																																																																																																																																																																																																																																																																																																																																																																																																																																																																																																																																																																																																																																																																																																																																																																																																																																																																																																																																																																																																																																																																																																																																																																																																																																																																																																																																																																																																																																																																																																																																																																																																																																																																																																																																																																																																																																																																																																																																																																																																																																																																																																																																																																																																																																																																																																																																																																																																																																																																																																																																																																																																																																																																																																																																																																																																																																																																																																																																																																																																																																																																																																																																																																																																																																																																																																																																																																																																																																																																																																																																																																																																																																																																																																																																																																																																																																																																																																																																																																																																																																																																																																																																																																																																																																																																																																																																																												
2.670																																																																																																																																																																																																																																																																																																																																																																																																																																																																																																																																																																																																																																																																																																																																																																																																																																																																																																																																																																																																																																																																																																																																																																																																																																																																																																																																																																																																																																																																																																																																																																																																																																																																																																																																																																																																																																																																																																																																																																																																																																																																																																																																																																																																																																																																																																																																																																																																																																																																																																																																																																																																																																																																																																																																																																																																																																																																																																																																																																																																																																																																																																																																																																																																																																																																																																																																																																																																																																																																																																																																																																																																																																																																																																																																																																																																																																																																																																																																																																																																																																																																																																																																																																																																																																																																																																																																																																																																																																																																																																																																																																																																																																																																																																																																																																																																																																																																																																																																																																																																																																																																																																																																																																																																																																																																																																																												
1.941																																																																																																																																																																																																																																																																																																																																																																																																																																																																																																																																																																																																																																																																																																																																																																																																																																																																																																																																																																																																																																																																																																																																																																																																																																																																																																																																																																																																																																																																																																																																																																																																																																																																																																																																																																																																																																																																																																																																																																																																																																																																																																																																																																																																																																																																																																																																																																																																																																																																																																																																																																																																																																																																																																																																																																																																																																																																																																																																																																																																																																																																																																																																																																																																																																																																																																																																																																																																																																																																																																																																																																																																																																																																																																																																																																																																																																																																																																																																																																																																																																																																																																																																																																																																																																																																																																																																																																																																																																																																																																																																																																																																																																																																																																																																																																																																																																																																																																																																																																																																																																																																																																																																																																																																																																																																																																																												
4.611																																																																																																																																																																																																																																																																																																																																																																																																																																																																																																																																																																																																																																																																																																																																																																																																																																																																																																																																																																																																																																																																																																																																																																																																																																																																																																																																																																																																																																																																																																																																																																																																																																																																																																																																																																																																																																																																																																																																																																																																																																																																																																																																																																																																																																																																																																																																																																																																																																																																																																																																																																																																																																																																																																																																																																																																																																																																																																																																																																																																																																																																																																																																																																																																																																																																																																																																																																																																																																																																																																																																																																																																																																																																																																																																																																																																																																																																																																																																																																																																																																																																																																																																																																																																																																																																																																																																																																																																																																																																																																																																																																																																																																																																																																																																																																																																																																																																																																																																																																																																																																																																																																																																																																																																																																																																																																																												
2.672																																																																																																																																																																																																																																																																																																																																																																																																																																																																																																																																																																																																																																																																																																																																																																																																																																																																																																																																																																																																																																																																																																																																																																																																																																																																																																																																																																																																																																																																																																																																																																																																																																																																																																																																																																																																																																																																																																																																																																																																																																																																																																																																																																																																																																																																																																																																																																																																																																																																																																																																																																																																																																																																																																																																																																																																																																																																																																																																																																																																																																																																																																																																																																																																																																																																																																																																																																																																																																																																																																																																																																																																																																																																																																																																																																																																																																																																																																																																																																																																																																																																																																																																																																																																																																																																																																																																																																																																																																																																																																																																																																																																																																																																																																																																																																																																																																																																																																																																																																																																																																																																																																																																																																																																																																																																																																																												
1.941																																																																																																																																																																																																																																																																																																																																																																																																																																																																																																																																																																																																																																																																																																																																																																																																																																																																																																																																																																																																																																																																																																																																																																																																																																																																																																																																																																																																																																																																																																																																																																																																																																																																																																																																																																																																																																																																																																																																																																																																																																																																																																																																																																																																																																																																																																																																																																																																																																																																																																																																																																																																																																																																																																																																																																																																																																																																																																																																																																																																																																																																																																																																																																																																																																																																																																																																																																																																																																																																																																																																																																																																																																																																																																																																																																																																																																																																																																																																																																																																																																																																																																																																																																																																																																																																																																																																																																																																																																																																																																																																																																																																																																																																																																																																																																																																																																																																																																																																																																																																																																																																																																																																																																																																																																																																																																																												
4.612																																																																																																																																																																																																																																																																																																																																																																																																																																																																																																																																																																																																																																																																																																																																																																																																																																																																																																																																																																																																																																																																																																																																																																																																																																																																																																																																																																																																																																																																																																																																																																																																																																																																																																																																																																																																																																																																																																																																																																																																																																																																																																																																																																																																																																																																																																																																																																																																																																																																																																																																																																																																																																																																																																																																																																																																																																																																																																																																																																																																																																																																																																																																																																																																																																																																																																																																																																																																																																																																																																																																																																																																																																																																																																																																																																																																																																																																																																																																																																																																																																																																																																																																																																																																																																																																																																																																																																																																																																																																																																																																																																																																																																																																																																																																																																																																																																																																																																																																																																																																																																																																																																																																																																																																																																																																																																																												
9.224																																																																																																																																																																																																																																																																																																																																																																																																																																																																																																																																																																																																																																																																																																																																																																																																																																																																																																																																																																																																																																																																																																																																																																																																																																																																																																																																																																																																																																																																																																																																																																																																																																																																																																																																																																																																																																																																																																																																																																																																																																																																																																																																																																																																																																																																																																																																																																																																																																																																																																																																																																																																																																																																																																																																																																																																																																																																																																																																																																																																																																																																																																																																																																																																																																																																																																																																																																																																																																																																																																																																																																																																																																																																																																																																																																																																																																																																																																																																																																																																																																																																																																																																																																																																																																																																																																																																																																																																																																																																																																																																																																																																																																																																																																																																																																																																																																																																																																																																																																																																																																																																																																																																																																																																																																																																																																																												
76.043																																																																																																																																																																																																																																																																																																																																																																																																																																																																																																																																																																																																																																																																																																																																																																																																																																																																																																																																																																																																																																																																																																																																																																																																																																																																																																																																																																																																																																																																																																																																																																																																																																																																																																																																																																																																																																																																																																																																																																																																																																																																																																																																																																																																																																																																																																																																																																																																																																																																																																																																																																																																																																																																																																																																																																																																																																																																																																																																																																																																																																																																																																																																																																																																																																																																																																																																																																																																																																																																																																																																																																																																																																																																																																																																																																																																																																																																																																																																																																																																																																																																																																																																																																																																																																																																																																																																																																																																																																																																																																																																																																																																																																																																																																																																																																																																																																																																																																																																																																																																																																																																																																																																																																																																																																																																																																																												
(40) 1.7-(12) 段差防止 構造M																																																																																																																																																																																																																																																																																																																																																																																																																																																																																																																																																																																																																																																																																																																																																																																																																																																																																																																																																																																																																																																																																																																																																																																																																																																																																																																																																																																																																																																																																																																																																																																																																																																																																																																																																																																																																																																																																																																																																																																																																																																																																																																																																																																																																																																																																																																																																																																																																																																																																																																																																																																																																																																																																																																																																																																																																																																																																																																																																																																																																																																																																																																																																																																																																																																																																																																																																																																																																																																																																																																																																																																																																																																																																																																																																																																																																																																																																																																																																																																																																																																																																																																																																																																																																																																																																																																																																																																																																																																																																																																																																																																																																																																																																																																																																																																																																																																																																																																																																																																																																																																																																																																																																																																																																																																																																																																												
設置工																																																																																																																																																																																																																																																																																																																																																																																																																																																																																																																																																																																																																																																																																																																																																																																																																																																																																																																																																																																																																																																																																																																																																																																																																																																																																																																																																																																																																																																																																																																																																																																																																																																																																																																																																																																																																																																																																																																																																																																																																																																																																																																																																																																																																																																																																																																																																																																																																																																																																																																																																																																																																																																																																																																																																																																																																																																																																																																																																																																																																																																																																																																																																																																																																																																																																																																																																																																																																																																																																																																																																																																																																																																																																																																																																																																																																																																																																																																																																																																																																																																																																																																																																																																																																																																																																																																																																																																																																																																																																																																																																																																																																																																																																																																																																																																																																																																																																																																																																																																																																																																																																																																																																																																																																																																																																																																												
t																																																																																																																																																																																																																																																																																																																																																																																																																																																																																																																																																																																																																																																																																																																																																																																																																																																																																																																																																																																																																																																																																																																																																																																																																																																																																																																																																																																																																																																																																																																																																																																																																																																																																																																																																																																																																																																																																																																																																																																																																																																																																																																																																																																																																																																																																																																																																																																																																																																																																																																																																																																																																																																																																																																																																																																																																																																																																																																																																																																																																																																																																																																																																																																																																																																																																																																																																																																																																																																																																																																																																																																																																																																																																																																																																																																																																																																																																																																																																																																																																																																																																																																																																																																																																																																																																																																																																																																																																																																																																																																																																																																																																																																																																																																																																																																																																																																																																																																																																																																																																																																																																																																																																																																																																																																																																																																												
2.670																																																																																																																																																																																																																																																																																																																																																																																																																																																																																																																																																																																																																																																																																																																																																																																																																																																																																																																																																																																																																																																																																																																																																																																																																																																																																																																																																																																																																																																																																																																																																																																																																																																																																																																																																																																																																																																																																																																																																																																																																																																																																																																																																																																																																																																																																																																																																																																																																																																																																																																																																																																																																																																																																																																																																																																																																																																																																																																																																																																																																																																																																																																																																																																																																																																																																																																																																																																																																																																																																																																																																																																																																																																																																																																																																																																																																																																																																																																																																																																																																																																																																																																																																																																																																																																																																																																																																																																																																																																																																																																																																																																																																																																																																																																																																																																																																																																																																																																																																																																																																																																																																																																																																																																																																																																																																																																												
1.941																																																																																																																																																																																																																																																																																																																																																																																																																																																																																																																																																																																																																																																																																																																																																																																																																																																																																																																																																																																																																																																																																																																																																																																																																																																																																																																																																																																																																																																																																																																																																																																																																																																																																																																																																																																																																																																																																																																																																																																																																																																																																																																																																																																																																																																																																																																																																																																																																																																																																																																																																																																																																																																																																																																																																																																																																																																																																																																																																																																																																																																																																																																																																																																																																																																																																																																																																																																																																																																																																																																																																																																																																																																																																																																																																																																																																																																																																																																																																																																																																																																																																																																																																																																																																																																																																																																																																																																																																																																																																																																																																																																																																																																																																																																																																																																																																																																																																																																																																																																																																																																																																																																																																																																																																																																																																																																												
4.611																																																																																																																																																																																																																																																																																																																																																																																																																																																																																																																																																																																																																																																																																																																																																																																																																																																																																																																																																																																																																																																																																																																																																																																																																																																																																																																																																																																																																																																																																																																																																																																																																																																																																																																																																																																																																																																																																																																																																																																																																																																																																																																																																																																																																																																																																																																																																																																																																																																																																																																																																																																																																																																																																																																																																																																																																																																																																																																																																																																																																																																																																																																																																																																																																																																																																																																																																																																																																																																																																																																																																																																																																																																																																																																																																																																																																																																																																																																																																																																																																																																																																																																																																																																																																																																																																																																																																																																																																																																																																																																																																																																																																																																																																																																																																																																																																																																																																																																																																																																																																																																																																																																																																																																																																																																																																																																												
2.672																																																																																																																																																																																																																																																																																																																																																																																																																																																																																																																																																																																																																																																																																																																																																																																																																																																																																																																																																																																																																																																																																																																																																																																																																																																																																																																																																																																																																																																																																																																																																																																																																																																																																																																																																																																																																																																																																																																																																																																																																																																																																																																																																																																																																																																																																																																																																																																																																																																																																																																																																																																																																																																																																																																																																																																																																																																																																																																																																																																																																																																																																																																																																																																																																																																																																																																																																																																																																																																																																																																																																																																																																																																																																																																																																																																																																																																																																																																																																																																																																																																																																																																																																																																																																																																																																																																																																																																																																																																																																																																																																																																																																																																																																																																																																																																																																																																																																																																																																																																																																																																																																																																																																																																																																																																																																																																												
1.941																																																																																																																																																																																																																																																																																																																																																																																																																																																																																																																																																																																																																																																																																																																																																																																																																																																																																																																																																																																																																																																																																																																																																																																																																																																																																																																																																																																																																																																																																																																																																																																																																																																																																																																																																																																																																																																																																																																																																																																																																																																																																																																																																																																																																																																																																																																																																																																																																																																																																																																																																																																																																																																																																																																																																																																																																																																																																																																																																																																																																																																																																																																																																																																																																																																																																																																																																																																																																																																																																																																																																																																																																																																																																																																																																																																																																																																																																																																																																																																																																																																																																																																																																																																																																																																																																																																																																																																																																																																																																																																																																																																																																																																																																																																																																																																																																																																																																																																																																																																																																																																																																																																																																																																																																																																																																																																												
4.612																																																																																																																																																																																																																																																																																																																																																																																																																																																																																																																																																																																																																																																																																																																																																																																																																																																																																																																																																																																																																																																																																																																																																																																																																																																																																																																																																																																																																																																																																																																																																																																																																																																																																																																																																																																																																																																																																																																																																																																																																																																																																																																																																																																																																																																																																																																																																																																																																																																																																																																																																																																																																																																																																																																																																																																																																																																																																																																																																																																																																																																																																																																																																																																																																																																																																																																																																																																																																																																																																																																																																																																																																																																																																																																																																																																																																																																																																																																																																																																																																																																																																																																																																																																																																																																																																																																																																																																																																																																																																																																																																																																																																																																																																																																																																																																																																																																																																																																																																																																																																																																																																																																																																																																																																																																																																																																												
9.224																																																																																																																																																																																																																																																																																																																																																																																																																																																																																																																																																																																																																																																																																																																																																																																																																																																																																																																																																																																																																																																																																																																																																																																																																																																																																																																																																																																																																																																																																																																																																																																																																																																																																																																																																																																																																																																																																																																																																																																																																																																																																																																																																																																																																																																																																																																																																																																																																																																																																																																																																																																																																																																																																																																																																																																																																																																																																																																																																																																																																																																																																																																																																																																																																																																																																																																																																																																																																																																																																																																																																																																																																																																																																																																																																																																																																																																																																																																																																																																																																																																																																																																																																																																																																																																																																																																																																																																																																																																																																																																																																																																																																																																																																																																																																																																																																																																																																																																																																																																																																																																																																																																																																																																																																																																																																																																												
76.043																																																																																																																																																																																																																																																																																																																																																																																																																																																																																																																																																																																																																																																																																																																																																																																																																																																																																																																																																																																																																																																																																																																																																																																																																																																																																																																																																																																																																																																																																																																																																																																																																																																																																																																																																																																																																																																																																																																																																																																																																																																																																																																																																																																																																																																																																																																																																																																																																																																																																																																																																																																																																																																																																																																																																																																																																																																																																																																																																																																																																																																																																																																																																																																																																																																																																																																																																																																																																																																																																																																																																																																																																																																																																																																																																																																																																																																																																																																																																																																																																																																																																																																																																																																																																																																																																																																																																																																																																																																																																																																																																																																																																																																																																																																																																																																																																																																																																																																																																																																																																																																																																																																																																																																																																																																																																																																												
(40) 1.7-(12) 段差防止 構造M																																																																																																																																																																																																																																																																																																																																																																																																																																																																																																																																																																																																																																																																																																																																																																																																																																																																																																																																																																																																																																																																																																																																																																																																																																																																																																																																																																																																																																																																																																																																																																																																																																																																																																																																																																																																																																																																																																																																																																																																																																																																																																																																																																																																																																																																																																																																																																																																																																																																																																																																																																																																																																																																																																																																																																																																																																																																																																																																																																																																																																																																																																																																																																																																																																																																																																																																																																																																																																																																																																																																																																																																																																																																																																																																																																																																																																																																																																																																																																																																																																																																																																																																																																																																																																																																																																																																																																																																																																																																																																																																																																																																																																																																																																																																																																																																																																																																																																																																																																																																																																																																																																																																																																																																																																																																																																																												
設置工																																																																																																																																																																																																																																																																																																																																																																																																																																																																																																																																																																																																																																																																																																																																																																																																																																																																																																																																																																																																																																																																																																																																																																																																																																																																																																																																																																																																																																																																																																																																																																																																																																																																																																																																																																																																																																																																																																																																																																																																																																																																																																																																																																																																																																																																																																																																																																																																																																																																																																																																																																																																																																																																																																																																																																																																																																																																																																																																																																																																																																																																																																																																																																																																																																																																																																																																																																																																																																																																																																																																																																																																																																																																																																																																																																																																																																																																																																																																																																																																																																																																																																																																																																																																																																																																																																																																																																																																																																																																																																																																																																																																																																																																																																																																																																																																																																																																																																																																																																																																																																																																																																																																																																																																																																																																																																																												
t																																																																																																																																																																																																																																																																																																																																																																																																																																																																																																																																																																																																																																																																																																																																																																																																																																																																																																																																																																																																																																																																																																																																																																																																																																																																																																																																																																																																																																																																																																																																																																																																																																																																																																																																																																																																																																																																																																																																																																																																																																																																																																																																																																																																																																																																																																																																																																																																																																																																																																																																																																																																																																																																																																																																																																																																																																																																																																																																																																																																																																																																																																																																																																																																																																																																																																																																																																																																																																																																																																																																																																																																																																																																																																																																																																																																																																																																																																																																																																																																																																																																																																																																																																																																																																																																																																																																																																																																																																																																																																																																																																																																																																																																																																																																																																																																																																																																																																																																																																																																																																																																																																																																																																																																																																																																																																																												
2.670																																																																																																																																																																																																																																																																																																																																																																																																																																																																																																																																																																																																																																																																																																																																																																																																																																																																																																																																																																																																																																																																																																																																																																																																																																																																																																																																																																																																																																																																																																																																																																																																																																																																																																																																																																																																																																																																																																																																																																																																																																																																																																																																																																																																																																																																																																																																																																																																																																																																																																																																																																																																																																																																																																																																																																																																																																																																																																																																																																																																																																																																																																																																																																																																																																																																																																																																																																																																																																																																																																																																																																																																																																																																																																																																																																																																																																																																																																																																																																																																																																																																																																																																																																																																																																																																																																																																																																																																																																																																																																																																																																																																																																																																																																																																																																																																																																																																																																																																																																																																																																																																																																																																																																																																																																																																																																																												
1.941																																																																																																																																																																																																																																																																																																																																																																																																																																																																																																																																																																																																																																																																																																																																																																																																																																																																																																																																																																																																																																																																																																																																																																																																																																																																																																																																																																																																																																																																																																																																																																																																																																																																																																																																																																																																																																																																																																																																																																																																																																																																																																																																																																																																																																																																																																																																																																																																																																																																																																																																																																																																																																																																																																																																																																																																																																																																																																																																																																																																																																																																																																																																																																																																																																																																																																																																																																																																																																																																																																																																																																																																																																																																																																																																																																																																																																																																																																																																																																																																																																																																																																																																																																																																																																																																																																																																																																																																																																																																																																																																																																																																																																																																																																																																																																																																																																																																																																																																																																																																																																																																																																																																																																																																																																																																																																																												
4.611																																																																																																																																																																																																																																																																																																																																																																																																																																																																																																																																																																																																																																																																																																																																																																																																																																																																																																																																																																																																																																																																																																																																																																																																																																																																																																																																																																																																																																																																																																																																																																																																																																																																																																																																																																																																																																																																																																																																																																																																																																																																																																																																																																																																																																																																																																																																																																																																																																																																																																																																																																																																																																																																																																																																																																																																																																																																																																																																																																																																																																																																																																																																																																																																																																																																																																																																																																																																																																																																																																																																																																																																																																																																																																																																																																																																																																																																																																																																																																																																																																																																																																																																																																																																																																																																																																																																																																																																																																																																																																																																																																																																																																																																																																																																																																																																																																																																																																																																																																																																																																																																																																																																																																																																																																																																																																																												
2.672																																																																																																																																																																																																																																																																																																																																																																																																																																																																																																																																																																																																																																																																																																																																																																																																																																																																																																																																																																																																																																																																																																																																																																																																																																																																																																																																																																																																																																																																																																																																																																																																																																																																																																																																																																																																																																																																																																																																																																																																																																																																																																																																																																																																																																																																																																																																																																																																																																																																																																																																																																																																																																																																																																																																																																																																																																																																																																																																																																																																																																																																																																																																																																																																																																																																																																																																																																																																																																																																																																																																																																																																																																																																																																																																																																																																																																																																																																																																																																																																																																																																																																																																																																																																																																																																																																																																																																																																																																																																																																																																																																																																																																																																																																																																																																																																																																																																																																																																																																																																																																																																																																																																																																																																																																																																																																																												
1.941																																																																																																																																																																																																																																																																																																																																																																																																																																																																																																																																																																																																																																																																																																																																																																																																																																																																																																																																																																																																																																																																																																																																																																																																																																																																																																																																																																																																																																																																																																																																																																																																																																																																																																																																																																																																																																																																																																																																																																																																																																																																																																																																																																																																																																																																																																																																																																																																																																																																																																																																																																																																																																																																																																																																																																																																																																																																																																																																																																																																																																																																																																																																																																																																																																																																																																																																																																																																																																																																																																																																																																																																																																																																																																																																																																																																																																																																																																																																																																																																																																																																																																																																																																																																																																																																																																																																																																																																																																																																																																																																																																																																																																																																																																																																																																																																																																																																																																																																																																																																																																																																																																																																																																																																																																																																																																																												
4.612																																																																																																																																																																																																																																																																																																																																																																																																																																																																																																																																																																																																																																																																																																																																																																																																																																																																																																																																																																																																																																																																																																																																																																																																																																																																																																																																																																																																																																																																																																																																																																																																																																																																																																																																																																																																																																																																																																																																																																																																																																																																																																																																																																																																																																																																																																																																																																																																																																																																																																																																																																																																																																																																																																																																																																																																																																																																																																																																																																																																																																																																																																																																																																																																																																																																																																																																																																																																																																																																																																																																																																																																																																																																																																																																																																																																																																																																																																																																																																																																																																																																																																																																																																																																																																																																																																																																																																																																																																																																																																																																																																																																																																																																																																																																																																																																																																																																																																																																																																																																																																																																																																																																																																																																																																																																																																																												
9.224																																																																																																																																																																																																																																																																																																																																																																																																																																																																																																																																																																																																																																																																																																																																																																																																																																																																																																																																																																																																																																																																																																																																																																																																																																																																																																																																																																																																																																																																																																																																																																																																																																																																																																																																																																																																																																																																																																																																																																																																																																																																																																																																																																																																																																																																																																																																																																																																																																																																																																																																																																																																																																																																																																																																																																																																																																																																																																																																																																																																																																																																																																																																																																																																																																																																																																																																																																																																																																																																																																																																																																																																																																																																																																																																																																																																																																																																																																																																																																																																																																																																																																																																																																																																																																																																																																																																																																																																																																																																																																																																																																																																																																																																																																																																																																																																																																																																																																																																																																																																																																																																																																																																																																																																																																																																																																																												
76.043																																																																																																																																																																																																																																																																																																																																																																																																																																																																																																																																																																																																																																																																																																																																																																																																																																																																																																																																																																																																																																																																																																																																																																																																																																																																																																																																																																																																																																																																																																																																																																																																																																																																																																																																																																																																																																																																																																																																																																																																																																																																																																																																																																																																																																																																																																																																																																																																																																																																																																																																																																																																																																																																																																																																																																																																																																																																																																																																																																																																																																																																																																																																																																																																																																																																																																																																																																																																																																																																																																																																																																																																																																																																																																																																																																																																																																																																																																																																																																																																																																																																																																																																																																																																																																																																																																																																																																																																																																																																																																																																																																																																																																																																																																																																																																																																																																																																																																																																																																																																																																																																																																																																																																																																																																																																																																																												
(40) 1.7-(12) 段差防止 構造M																																																																																																																																																																																																																																																																																																																																																																																																																																																																																																																																																																																																																																																																																																																																																																																																																																																																																																																																																																																																																																																																																																																																																																																																																																																																																																																																																																																																																																																																																																																																																																																																																																																																																																																																																																																																																																																																																																																																																																																																																																																																																																																																																																																																																																																																																																																																																																																																																																																																																																																																																																																																																																																																																																																																																																																																																																																																																																																																																																																																																																																																																																																																																																																																																																																																																																																																																																																																																																																																																																																																																																																																																																																																																																																																																																																																																																																																																																																																																																																																																																																																																																																																																																																																																																																																																																																																																																																																																																																																																																																																																																																																																																																																																																																																																																																																																																																																																																																																																																																																																																																																																																																																																																																																																																																																																																																												
設置工																																																																																																																																																																																																																																																																																																																																																																																																																																																																																																																																																																																																																																																																																																																																																																																																																																																																																																																																																																																																																																																																																																																																																																																																																																																																																																																																																																																																																																																																																																																																																																																																																																																																																																																																																																																																																																																																																																																																																																																																																																																																																																																																																																																																																																																																																																																																																																																																																																																																																																																																																																																																																																																																																																																																																																																																																																																																																																																																																																																																																																																																																																																																																																																																																																																																																																																																																																																																																																																																																																																																																																																																																																																																																																																																																																																																																																																																																																																																																																																																																																																																																																																																																																																																																																																																																																																																																																																																																																																																																																																																																																																																																																																																																																																																																																																																																																																																																																																																																																																																																																																																																																																																																																																																																																																																																																																												
t																																																																																																																																																																																																																																																																																																																																																																																																																																																																																																																																																																																																																																																																																																																																																																																																																																																																																																																																																																																																																																																																																																																																																																																																																																																																																																																																																																																																																																																																																																																																																																																																																																																																																																																																																																																																																																																																																																																																																																																																																																																																																																																																																																																																																																																																																																																																																																																																																																																																																																																																																																																																																																																																																																																																																																																																																																																																																																																																																																																																																																																																																																																																																																																																																																																																																																																																																																																																																																																																																																																																																																																																																																																																																																																																																																																																																																																																																																																																																																																																																																																																																																																																																																																																																																																																																																																																																																																																																																																																																																																																																																																																																																																																																																																																																																																																																																																																																																																																																																																																																																																																																																																																																																																																																																																																																																																												
2.670																																																																																																																																																																																																																																																																																																																																																																																																																																																																																																																																																																																																																																																																																																																																																																																																																																																																																																																																																																																																																																																																																																																																																																																																																																																																																																																																																																																																																																																																																																																																																																																																																																																																																																																																																																																																																																																																																																																																																																																																																																																																																																																																																																																																																																																																																																																																																																																																																																																																																																																																																																																																																																																																																																																																																																																																																																																																																																																																																																																																																																																																																																																																																																																																																																																																																																																																																																																																																																																																																																																																																																																																																																																																																																																																																																																																																																																																																																																																																																																																																																																																																																																																																																																																																																																																																																																																																																																																																																																																																																																																																																																																																																																																																																																																																																																																																																																																																																																																																																																																																																																																																																																																																																																																																																																																																																																												
1.941																																																																																																																																																																																																																																																																																																																																																																																																																																																																																																																																																																																																																																																																																																																																																																																																																																																																																																																																																																																																																																																																																																																																																																																																																																																																																																																																																																																																																																																																																																																																																																																																																																																																																																																																																																																																																																																																																																																																																																																																																																																																																																																																																																																																																																																																																																																																																																																																																																																																																																																																																																																																																																																																																																																																																																																																																																																																																																																																																																																																																																																																																																																																																																																																																																																																																																																																																																																																																																																																																																																																																																																																																																																																																																																																																																																																																																																																																																																																																																																																																																																																																																																																																																																																																																																																																																																																																																																																																																																																																																																																																																																																																																																																																																																																																																																																																																																																																																																																																																																																																																																																																																																																																																																																																																																																																																																												
4.611																																																																																																																																																																																																																																																																																																																																																																																																																																																																																																																																																																																																																																																																																																																																																																																																																																																																																																																																																																																																																																																																																																																																																																																																																																																																																																																																																																																																																																																																																																																																																																																																																																																																																																																																																																																																																																																																																																																																																																																																																																																																																																																																																																																																																																																																																																																																																																																																																																																																																																																																																																																																																																																																																																																																																																																																																																																																																																																																																																																																																																																																																																																																																																																																																																																																																																																																																																																																																																																																																																																																																																																																																																																																																																																																																																																																																																																																																																																																																																																																																																																																																																																																																																																																																																																																																																																																																																																																																																																																																																																																																																																																																																																																																																																																																																																																																																																																																																																																																																																																																																																																																																																																																																																																																																																																																																																												
2.672																																																																																																																																																																																																																																																																																																																																																																																																																																																																																																																																																																																																																																																																																																																																																																																																																																																																																																																																																																																																																																																																																																																																																																																																																																																																																																																																																																																																																																																																																																																																																																																																																																																																																																																																																																																																																																																																																																																																																																																																																																																																																																																																																																																																																																																																																																																																																																																																																																																																																																																																																																																																																																																																																																																																																																																																																																																																																																																																																																																																																																																																																																																																																																																																																																																																																																																																																																																																																																																																																																																																																																																																																																																																																																																																																																																																																																																																																																																																																																																																																																																																																																																																																																																																																																																																																																																																																																																																																																																																																																																																																																																																																																																																																																																																																																																																																																																																																																																																																																																																																																																																																																																																																																																																																																																																																																																												
1.941																																																																																																																																																																																																																																																																																																																																																																																																																																																																																																																																																																																																																																																																																																																																																																																																																																																																																																																																																																																																																																																																																																																																																																																																																																																																																																																																																																																																																																																																																																																																																																																																																																																																																																																																																																																																																																																																																																																																																																																																																																																																																																																																																																																																																																																																																																																																																																																																																																																																																																																																																																																																																																																																																																																																																																																																																																																																																																																																																																																																																																																																																																																																																																																																																																																																																																																																																																																																																																																																																																																																																																																																																																																																																																																																																																																																																																																																																																																																																																																																																																																																																																																																																																																																																																																																																																																																																																																																																																																																																																																																																																																																																																																																																																																																																																																																																																																																																																																																																																																																																																																																																																																																																																																																																																																																																																																												
4.612																																																																																																																																																																																																																																																																																																																																																																																																																																																																																																																																																																																																																																																																																																																																																																																																																																																																																																																																																																																																																																																																																																																																																																																																																																																																																																																																																																																																																																																																																																																																																																																																																																																																																																																																																																																																																																																																																																																																																																																																																																																																																																																																																																																																																																																																																																																																																																																																																																																																																																																																																																																																																																																																																																																																																																																																																																																																																																																																																																																																																																																																																																																																																																																																																																																																																																																																																																																																																																																																																																																																																																																																																																																																																																																																																																																																																																																																																																																																																																																																																																																																																																																																																																																																																																																																																																																																																																																																																																																																																																																																																																																																																																																																																																																																																																																																																																																																																																																																																																																																																																																																																																																																																																																																																																																																																																																												
9.224																																																																																																																																																																																																																																																																																																																																																																																																																																																																																																																																																																																																																																																																																																																																																																																																																																																																																																																																																																																																																																																																																																																																																																																																																																																																																																																																																																																																																																																																																																																																																																																																																																																																																																																																																																																																																																																																																																																																																																																																																																																																																																																																																																																																																																																																																																																																																																																																																																																																																																																																																																																																																																																																																																																																																																																																																																																																																																																																																																																																																																																																																																																																																																																																																																																																																																																																																																																																																																																																																																																																																																																																																																																																																																																																																																																																																																																																																																																																																																																																																																																																																																																																																																																																																																																																																																																																																																																																																																																																																																																																																																																																																																																																																																																																																																																																																																																																																																																																																																																																																																																																																																																																																																																																																																																																																																																												
76.043																																																																																																																																																																																																																																																																																																																																																																																																																																																																																																																																																																																																																																																																																																																																																																																																																																																																																																																																																																																																																																																																																																																																																																																																																																																																																																																																																																																																																																																																																																																																																																																																																																																																																																																																																																																																																																																																																																																																																																																																																																																																																																																																																																																																																																																																																																																																																																																																																																																																																																																																																																																																																																																																																																																																																																																																																																																																																																																																																																																																																																																																																																																																																																																																																																																																																																																																																																																																																																																																																																																																																																																																																																																																																																																																																																																																																																																																																																																																																																																																																																																																																																																																																																																																																																																																																																																																																																																																																																																																																																																																																																																																																																																																																																																																																																																																																																																																																																																																																																																																																																																																																																																																																																																																																																																																																																																												
(40) 1.7-(12) 段差防止 構造M																																																																																																																																																																																																																																																																																																																																																																																																																																																																																																																																																																																																																																																																																																																																																																																																																																																																																																																																																																																																																																																																																																																																																																																																																																																																																																																																																																																																																																																																																																																																																																																																																																																																																																																																																																																																																																																																																																																																																																																																																																																																																																																																																																																																																																																																																																																																																																																																																																																																																																																																																																																																																																																																																																																																																																																																																																																																																																																																																																																																																																																																																																																																																																																																																																																																																																																																																																																																																																																																																																																																																																																																																																																																																																																																																																																																																																																																																																																																																																																																																																																																																																																																																																																																																																																																																																																																																																																																																																																																																																																																																																																																																																																																																																																																																																																																																																																																																																																																																																																																																																																																																																																																																																																																																																																																																																																												
設置工																																																																																																																																																																																																																																																																																																																																																																																																																																																																																																																																																																																																																																																																																																																																																																																																																																																																																																																																																																																																																																																																																																																																																																																																																																																																																																																																																																																																																																																																																																																																																																																																																																																																																																																																																																																																																																																																																																																																																																																																																																																																																																																																																																																																																																																																																																																																																																																																																																																																																																																																																																																																																																																																																																																																																																																																																																																																																																																																																																																																																																																																																																																																																																																																																																																																																																																																																																																																																																																																																																																																																																																																																																																																																																																																																																																																																																																																																																																																																																																																																																																																																																																																																																																																																																																																																																																																																																																																																																																																																																																																																																																																																																																																																																																																																																																																																																																																																																																																																																																																																																																																																																																																																																																																																																																																																																																												
t																																																																																																																																																																																																																																																																																																																																																																																																																																																																																																																																																																																																																																																																																																																																																																																																																																																																																																																																																																																																																																																																																																																																																																																																																																																																																																																																																																																																																																																																																																																																																																																																																																																																																																																																																																																																																																																																																																																																																																																																																																																																																																																																																																																																																																																																																																																																																																																																																																																																																																																																																																																																																																																																																																																																																																																																																																																																																																																																																																																																																																																																																																																																																																																																																																																																																																																																																																																																																																																																																																																																																																																																																																																																																																																																																																																																																																																																																																																																																																																																																																																																																																																																																																																																																																																																																																																																																																																																																																																																																																																																																																																																																																																																																																																																																																																																																																																																																																																																																																																																																																																																																																																																																																																																																																																																																																																												
2.670																																																																																																																																																																																																																																																																																																																																																																																																																																																																																																																																																																																																																																																																																																																																																																																																																																																																																																																																																																																																																																																																																																																																																																																																																																																																																																																																																																																																																																																																																																																																																																																																																																																																																																																																																																																																																																																																																																																																																																																																																																																																																																																																																																																																																																																																																																																																																																																																																																																																																																																																																																																																																																																																																																																																																																																																																																																																																																																																																																																																																																																																																																																																																																																																																																																																																																																																																																																																																																																																																																																																																																																																																																																																																																																																																																																																																																																																																																																																																																																																																																																																																																																																																																																																																																																																																																																																																																																																																																																																																																																																																																																																																																																																																																																																																																																																																																																																																																																																																																																																																																																																																																																																																																																																																																																																																																																												
1.941																																																																																																																																																																																																																																																																																																																																																																																																																																																																																																																																																																																																																																																																																																																																																																																																																																																																																																																																																																																																																																																																																																																																																																																																																																																																																																																																																																																																																																																																																																																																																																																																																																																																																																																																																																																																																																																																																																																																																																																																																																																																																																																																																																																																																																																																																																																																																																																																																																																																																																																																																																																																																																																																																																																																																																																																																																																																																																																																																																																																																																																																																																																																																																																																																																																																																																																																																																																																																																																																																																																																																																																																																																																																																																																																																																																																																																																																																																																																																																																																																																																																																																																																																																																																																																																																																																																																																																																																																																																																																																																																																																																																																																																																																																																																																																																																																																																																																																																																																																																																																																																																																																																																																																																																																																																																																																																												
4.611																																																																																																																																																																																																																																																																																																																																																																																																																																																																																																																																																																																																																																																																																																																																																																																																																																																																																																																																																																																																																																																																																																																																																																																																																																																																																																																																																																																																																																																																																																																																																																																																																																																																																																																																																																																																																																																																																																																																																																																																																																																																																																																																																																																																																																																																																																																																																																																																																																																																																																																																																																																																																																																																																																																																																																																																																																																																																																																																																																																																																																																																																																																																																																																																																																																																																																																																																																																																																																																																																																																																																																																																																																																																																																																																																																																																																																																																																																																																																																																																																																																																																																																																																																																																																																																																																																																																																																																																																																																																																																																																																																																																																																																																																																																																																																																																																																																																																																																																																																																																																																																																																																																																																																																																																																																																																																																												
2.672																																																																																																																																																																																																																																																																																																																																																																																																																																																																																																																																																																																																																																																																																																																																																																																																																																																																																																																																																																																																																																																																																																																																																																																																																																																																																																																																																																																																																																																																																																																																																																																																																																																																																																																																																																																																																																																																																																																																																																																																																																																																																																																																																																																																																																																																																																																																																																																																																																																																																																																																																																																																																																																																																																																																																																																																																																																																																																																																																																																																																																																																																																																																																																																																																																																																																																																																																																																																																																																																																																																																																																																																																																																																																																																																																																																																																																																																																																																																																																																																																																																																																																																																																																																																																																																																																																																																																																																																																																																																																																																																																																																																																																																																																																																																																																																																																																																																																																																																																																																																																																																																																																																																																																																																																																																																																																																												
1.941																																																																																																																																																																																																																																																																																																																																																																																																																																																																																																																																																																																																																																																																																																																																																																																																																																																																																																																																																																																																																																																																																																																																																																																																																																																																																																																																																																																																																																																																																																																																																																																																																																																																																																																																																																																																																																																																																																																																																																																																																																																																																																																																																																																																																																																																																																																																																																																																																																																																																																																																																																																																																																																																																																																																																																																																																																																																																																																																																																																																																																																																																																																																																																																																																																																																																																																																																																																																																																																																																																																																																																																																																																																																																																																																																																																																																																																																																																																																																																																																																																																																																																																																																																																																																																																																																																																																																																																																																																																																																																																																																																																																																																																																																																																																																																																																																																																																																																																																																																																																																																																																																																																																																																																																																																																																																																																												
4.612																																																																																																																																																																																																																																																																																																																																																																																																																																																																																																																																																																																																																																																																																																																																																																																																																																																																																																																																																																																																																																																																																																																																																																																																																																																																																																																																																																																																																																																																																																																																																																																																																																																																																																																																																																																																																																																																																																																																																																																																																																																																																																																																																																																																																																																																																																																																																																																																																																																																																																																																																																																																																																																																																																																																																																																																																																																																																																																																																																																																																																																																																																																																																																																																																																																																																																																																																																																																																																																																																																																																																																																																																																																																																																																																																																																																																																																																																																																																																																																																																																																																																																																																																																																																																																																																																																																																																																																																																																																																																																																																																																																																																																																																																																																																																																																																																																																																																																																																																																																																																																																																																																																																																																																																																																																																																																																												
9.224																																																																																																																																																																																																																																																																																																																																																																																																																																																																																																																																																																																																																																																																																																																																																																																																																																																																																																																																																																																																																																																																																																																																																																																																																																																																																																																																																																																																																																																																																																																																																																																																																																																																																																																																																																																																																																																																																																																																																																																																																																																																																																																																																																																																																																																																																																																																																																																																																																																																																																																																																																																																																																																																																																																																																																																																																																																																																																																																																																																																																																																																																																																																																																																																																																																																																																																																																																																																																																																																																																																																																																																																																																																																																																																																																																																																																																																																																																																																																																																																																																																																																																																																																																																																																																																																																																																																																																																																																																																																																																																																																																																																																																																																																																																																																																																																																																																																																																																																																																																																																																																																																																																																																																																																																																																																																																																												
76.043																																																																																																																																																																																																																																																																																																																																																																																																																																																																																																																																																																																																																																																																																																																																																																																																																																																																																																																																																																																																																																																																																																																																																																																																																																																																																																																																																																																																																																																																																																																																																																																																																																																																																																																																																																																																																																																																																																																																																																																																																																																																																																																																																																																																																																																																																																																																																																																																																																																																																																																																																																																																																																																																																																																																																																																																																																																																																																																																																																																																																																																																																																																																																																																																																																																																																																																																																																																																																																																																																																																																																																																																																																																																																																																																																																																																																																																																																																																																																																																																																																																																																																																																																																																																																																																																																																																																																																																																																																																																																																																																																																																																																																																																																																																																																																																																																																																																																																																																																																																																																																																																																																																																																																																																																																																																																																																												
(40) 1.7-(12) 段差防止 構造M																																																																																																																																																																																																																																																																																																																																																																																																																																																																																																																																																																																																																																																																																																																																																																																																																																																																																																																																																																																																																																																																																																																																																																																																																																																																																																																																																																																																																																																																																																																																																																																																																																																																																																																																																																																																																																																																																																																																																																																																																																																																																																																																																																																																																																																																																																																																																																																																																																																																																																																																																																																																																																																																																																																																																																																																																																																																																																																																																																																																																																																																																																																																																																																																																																																																																																																																																																																																																																																																																																																																																																																																																																																																																																																																																																																																																																																																																																																																																																																																																																																																																																																																																																																																																																																																																																																																																																																																																																																																																																																																																																																																																																																																																																																																																																																																																																																																																																																																																																																																																																																																																																																																																																																																																																																																																																																												
設置工																																																																																																																																																																																																																																																																																																																																																																																																																																																																																																																																																																																																																																																																																																																																																																																																																																																																																																																																																																																																																																																																																																																																																																																																																																																																																																																																																																																																																																																																																																																																																																																																																																																																																																																																																																																																																																																																																																																																																																																																																																																																																																																																																																																																																																																																																																																																																																																																																																																																																																																																																																																																																																																																																																																																																																																																																																																																																																																																																																																																																																																																																																																																																																																																																																																																																																																																																																																																																																																																																																																																																																																																																																																																																																																																																																																																																																																																																																																																																																																																																																																																																																																																																																																																																																																																																																																																																																																																																																																																																																																																																																																																																																																																																																																																																																																																																																																																																																																																																																																																																																																																																																																																																																																																																																																																																																																												
t																																																																																																																																																																																																																																																																																																																																																																																																																																																																																																																																																																																																																																																																																																																																																																																																																																																																																																																																																																																																																																																																																																																																																																																																																																																																																																																																																																																																																																																																																																																																																																																																																																																																																																																																																																																																																																																																																																																																																																																																																																																																																																																																																																																																																																																																																																																																																																																																																																																																																																																																																																																																																																																																																																																																																																																																																																																																																																																																																																																																																																																																																																																																																																																																																																																																																																																																																																																																																																																																																																																																																																																																																																																																																																																																																																																																																																																																																																																																																																																																																																																																																																																																																																																																																																																																																																																																																																																																																																																																																																																																																																																																																																																																																																																																																																																																																																																																																																																																																																																																																																																																																																																																																																																																																																																																																																																												
2.670																																																																																																																																																																																																																																																																																																																																																																																																																																																																																																																																																																																																																																																																																																																																																																																																																																																																																																																																																																																																																																																																																																																																																																																																																																																																																																																																																																																																																																																																																																																																																																																																																																																																																																																																																																																																																																																																																																																																																																																																																																																																																																																																																																																																																																																																																																																																																																																																																																																																																																																																																																																																																																																																																																																																																																																																																																																																																																																																																																																																																																																																																																																																																																																																																																																																																																																																																																																																																																																																																																																																																																																																																																																																																																																																																																																																																																																																																																																																																																																																																																																																																																																																																																																																																																																																																																																																																																																																																																																																																																																																																																																																																																																																																																																																																																																																																																																																																																																																																																																																																																																																																																																																																																																																																																																																																																																												
1.941																																																																																																																																																																																																																																																																																																																																																																																																																																																																																																																																																																																																																																																																																																																																																																																																																																																																																																																																																																																																																																																																																																																																																																																																																																																																																																																																																																																																																																																																																																																																																																																																																																																																																																																																																																																																																																																																																																																																																																																																																																																																																																																																																																																																																																																																																																																																																																																																																																																																																																																																																																																																																																																																																																																																																																																																																																																																																																																																																																																																																																																																																																																																																																																																																																																																																																																																																																																																																																																																																																																																																																																																																																																																																																																																																																																																																																																																																																																																																																																																																																																																																																																																																																																																																																																																																																																																																																																																																																																																																																																																																																																																																																																																																																																																																																																																																																																																																																																																																																																																																																																																																																																																																																																																																																																																																																																												
4.611																																																																																																																																																																																																																																																																																																																																																																																																																																																																																																																																																																																																																																																																																																																																																																																																																																																																																																																																																																																																																																																																																																																																																																																																																																																																																																																																																																																																																																																																																																																																																																																																																																																																																																																																																																																																																																																																																																																																																																																																																																																																																																																																																																																																																																																																																																																																																																																																																																																																																																																																																																																																																																																																																																																																																																																																																																																																																																																																																																																																																																																																																																																																																																																																																																																																																																																																																																																																																																																																																																																																																																																																																																																																																																																																																																																																																																																																																																																																																																																																																																																																																																																																																																																																																																																																																																																																																																																																																																																																																																																																																																																																																																																																																																																																																																																																																																																																																																																																																																																																																																																																																																																																																																																																																																																																																																																												
2.672																																																																																																																																																																																																																																																																																																																																																																																																																																																																																																																																																																																																																																																																																																																																																																																																																																																																																																																																																																																																																																																																																																																																																																																																																																																																																																																																																																																																																																																																																																																																																																																																																																																																																																																																																																																																																																																																																																																																																																																																																																																																																																																																																																																																																																																																																																																																																																																																																																																																																																																																																																																																																																																																																																																																																																																																																																																																																																																																																																																																																																																																																																																																																																																																																																																																																																																																																																																																																																																																																																																																																																																																																																																																																																																																																																																																																																																																																																																																																																																																																																																																																																																																																																																																																																																																																																																																																																																																																																																																																																																																																																																																																																																																																																																																																																																																																																																																																																																																																																																																																																																																																																																																																																																																																																																																																																																												
1.941																																																																																																																																																																																																																																																																																																																																																																																																																																																																																																																																																																																																																																																																																																																																																																																																																																																																																																																																																																																																																																																																																																																																																																																																																																																																																																																																																																																																																																																																																																																																																																																																																																																																																																																																																																																																																																																																																																																																																																																																																																																																																																																																																																																																																																																																																																																																																																																																																																																																																																																																																																																																																																																																																																																																																																																																																																																																																																																																																																																																																																																																																																																																																																																																																																																																																																																																																																																																																																																																																																																																																																																																																																																																																																																																																																																																																																																																																																																																																																																																																																																																																																																																																																																																																																																																																																																																																																																																																																																																																																																																																																																																																																																																																																																																																																																																																																																																																																																																																																																																																																																																																																																																																																																																																																																																																																																												
4.612																																																																																																																																																																																																																																																																																																																																																																																																																																																																																																																																																																																																																																																																																																																																																																																																																																																																																																																																																																																																																																																																																																																																																																																																																																																																																																																																																																																																																																																																																																																																																																																																																																																																																																																																																																																																																																																																																																																																																																																																																																																																																																																																																																																																																																																																																																																																																																																																																																																																																																																																																																																																																																																																																																																																																																																																																																																																																																																																																																																																																																																																																																																																																																																																																																																																																																																																																																																																																																																																																																																																																																																																																																																																																																																																																																																																																																																																																																																																																																																																																																																																																																																																																																																																																																																																																																																																																																																																																																																																																																																																																																																																																																																																																																																																																																																																																																																																																																																																																																																																																																																																																																																																																																																																																																																																																																																												
9.224																																																																																																																																																																																																																																																																																																																																																																																																																																																																																																																																																																																																																																																																																																																																																																																																																																																																																																																																																																																																																																																																																																																																																																																																																																																																																																																																																																																																																																																																																																																																																																																																																																																																																																																																																																																																																																																																																																																																																																																																																																																																																																																																																																																																																																																																																																																																																																																																																																																																																																																																																																																																																																																																																																																																																																																																																																																																																																																																																																																																																																																																																																																																																																																																																																																																																																																																																																																																																																																																																																																																																																																																																																																																																																																																																																																																																																																																																																																																																																																																																																																																																																																																																																																																																																																																																																																																																																																																																																																																																																																																																																																																																																																																																																																																																																																																																																																																																																																																																																																																																																																																																																																																																																																																																																																																																																																												
76.043																																																																																																																																																																																																																																																																																																																																																																																																																																																																																																																																																																																																																																																																																																																																																																																																																																																																																																																																																																																																																																																																																																																																																																																																																																																																																																																																																																																																																																																																																																																																																																																																																																																																																																																																																																																																																																																																																																																																																																																																																																																																																																																																																																																																																																																																																																																																																																																																																																																																																																																																																																																																																																																																																																																																																																																																																																																																																																																																																																																																																																																																																																																																																																																																																																																																																																																																																																																																																																																																																																																																																																																																																																																																																																																																																																																																																																																																																																																																																																																																																																																																																																																																																																																																																																																																																																																																																																																																																																																																																																																																																																																																																																																																																																																																																																																																																																																																																																																																																																																																																																																																																																																																																																																																																																																																																																																												
(40) 1.7-(12) 段差防止 構造M																																																																																																																																																																																																																																																																																																																																																																																																																																																																																																																																																																																																																																																																																																																																																																																																																																																																																																																																																																																																																																																																																																																																																																																																																																																																																																																																																																																																																																																																																																																																																																																																																																																																																																																																																																																																																																																																																																																																																																																																																																																																																																																																																																																																																																																																																																																																																																																																																																																																																																																																																																																																																																																																																																																																																																																																																																																																																																																																																																																																																																																																																																																																																																																																																																																																																																																																																																																																																																																																																																																																																																																																																																																																																																																																																																																																																																																																																																																																																																																																																																																																																																																																																																																																																																																																																																																																																																																																																																																																																																																																																																																																																																																																																																																																																																																																																																																																																																																																																																																																																																																																																																																																																																																																																																																																																																																												
設置工																																																																																																																																																																																																																																																																																																																																																																																																																																																																																																																																																																																																																																																																																																																																																																																																																																																																																																																																																																																																																																																																																																																																																																																																																																																																																																																																																																																																																																																																																																																																																																																																																																																																																																																																																																																																																																																																																																																																																																																																																																																																																																																																																																																																																																																																																																																																																																																																																																																																																																																																																																																																																																																																																																																																																																																																																																																																																																																																																																																																																																																																																																																																																																																																																																																																																																																																																																																																																																																																																																																																																																																																																																																																																																																																																																																																																																																																																																																																																																																																																																																																																																																																																																																																																																																																																																																																																																																																																																																																																																																																																																																																																																																																																																																																																																																																																																																																																																																																																																																																																																																																																																																																																																																																																																																																																																																												
t																																																																																																																																																																																																																																																																																																																																																																																																																																																																																																																																																																																																																																																																																																																																																																																																																																																																																																																																																																																																																																																																																																																																																																																																																																																																																																																																																																																																																																																																																																																																																																																																																																																																																																																																																																																																																																																																																																																																																																																																																																																																																																																																																																																																																																																																																																																																																																																																																																																																																																																																																																																																																																																																																																																																																																																																																																																																																																																																																																																																																																																																																																																																																																																																																																																																																																																																																																																																																																																																																																																																																																																																																																																																																																																																																																																																																																																																																																																																																																																																																																																																																																																																																																																																																																																																																																																																																																																																																																																																																																																																																																																																																																																																																																																																																																																																																																																																																																																																																																																																																																																																																																																																																																																																																																																																																																																												
2.670																																																																																																																																																																																																																																																																																																																																																																																																																																																																																																																																																																																																																																																																																																																																																																																																																																																																																																																																																																																																																																																																																																																																																																																																																																																																																																																																																																																																																																																																																																																																																																																																																																																																																																																																																																																																																																																																																																																																																																																																																																																																																																																																																																																																																																																																																																																																																																																																																																																																																																																																																																																																																																																																																																																																																																																																																																																																																																																																																																																																																																																																																																																																																																																																																																																																																																																																																																																																																																																																																																																																																																																																																																																																																																																																																																																																																																																																																																																																																																																																																																																																																																																																																																																																																																																																																																																																																																																																																																																																																																																																																																																																																																																																																																																																																																																																																																																																																																																																																																																																																																																																																																																																																																																																																																																																																																																												
1.941																																																																																																																																																																																																																																																																																																																																																																																																																																																																																																																																																																																																																																																																																																																																																																																																																																																																																																																																																																																																																																																																																																																																																																																																																																																																																																																																																																																																																																																																																																																																																																																																																																																																																																																																																																																																																																																																																																																																																																																																																																																																																																																																																																																																																																																																																																																																																																																																																																																																																																																																																																																																																																																																																																																																																																																																																																																																																																																																																																																																																																																																																																																																																																																																																																																																																																																																																																																																																																																																																																																																																																																																																																																																																																																																																																																																																																																																																																																																																																																																																																																																																																																																																																																																																																																																																																																																																																																																																																																																																																																																																																																																																																																																																																																																																																																																																																																																																																																																																																																																																																																																																																																																																																																																																																																																																																																												
4.611																																																																																																																																																																																																																																																																																																																																																																																																																																																																																																																																																																																																																																																																																																																																																																																																																																																																																																																																																																																																																																																																																																																																																																																																																																																																																																																																																																																																																																																																																																																																																																																																																																																																																																																																																																																																																																																																																																																																																																																																																																																																																																																																																																																																																																																																																																																																																																																																																																																																																																																																																																																																																																																																																																																																																																																																																																																																																																																																																																																																																																																																																																																																																																																																																																																																																																																																																																																																																																																																																																																																																																																																																																																																																																																																																																																																																																																																																																																																																																																																																																																																																																																																																																																																																																																																																																																																																																																																																																																																																																																																																																																																																																																																																																																																																																																																																																																																																																																																																																																																																																																																																																																																																																																																																																																																																																																												
2.672																																																																																																																																																																																																																																																																																																																																																																																																																																																																																																																																																																																																																																																																																																																																																																																																																																																																																																																																																																																																																																																																																																																																																																																																																																																																																																																																																																																																																																																																																																																																																																																																																																																																																																																																																																																																																																																																																																																																																																																																																																																																																																																																																																																																																																																																																																																																																																																																																																																																																																																																																																																																																																																																																																																																																																																																																																																																																																																																																																																																																																																																																																																																																																																																																																																																																																																																																																																																																																																																																																																																																																																																																																																																																																																																																																																																																																																																																																																																																																																																																																																																																																																																																																																																																																																																																																																																																																																																																																																																																																																																																																																																																																																																																																																																																																																																																																																																																																																																																																																																																																																																																																																																																																																																																																																																																																																												
1.941																																																																																																																																																																																																																																																																																																																																																																																																																																																																																																																																																																																																																																																																																																																																																																																																																																																																																																																																																																																																																																																																																																																																																																																																																																																																																																																																																																																																																																																																																																																																																																																																																																																																																																																																																																																																																																																																																																																																																																																																																																																																																																																																																																																																																																																																																																																																																																																																																																																																																																																																																																																																																																																																																																																																																																																																																																																																																																																																																																																																																																																																																																																																																																																																																																																																																																																																																																																																																																																																																																																																																																																																																																																																																																																																																																																																																																																																																																																																																																																																																																																																																																																																																																																																																																																																																																																																																																																																																																																																																																																																																																																																																																																																																																																																																																																																																																																																																																																																																																																																																																																																																																																																																																																																																																																																																																																												
4.612																																																																																																																																																																																																																																																																																																																																																																																																																																																																																																																																																																																																																																																																																																																																																																																																																																																																																																																																																																																																																																																																																																																																																																																																																																																																																																																																																																																																																																																																																																																																																																																																																																																																																																																																																																																																																																																																																																																																																																																																																																																																																																																																																																																																																																																																																																																																																																																																																																																																																																																																																																																																																																																																																																																																																																																																																																																																																																																																																																																																																																																																																																																																																																																																																																																																																																																																																																																																																																																																																																																																																																																																																																																																																																																																																																																																																																																																																																																																																																																																																																																																																																																																																																																																																																																																																																																																																																																																																																																																																																																																																																																																																																																																																																																																																																																																																																																																																																																																																																																																																																																																																																																																																																																																																																																																																																																												
9.224																																																																																																																																																																																																																																																																																																																																																																																																																																																																																																																																																																																																																																																																																																																																																																																																																																																																																																																																																																																																																																																																																																																																																																																																																																																																																																																																																																																																																																																																																																																																																																																																																																																																																																																																																																																																																																																																																																																																																																																																																																																																																																																																																																																																																																																																																																																																																																																																																																																																																																																																																																																																																																																																																																																																																																																																																																																																																																																																																																																																																																																																																																																																																																																																																																																																																																																																																																																																																																																																																																																																																																																																																																																																																																																																																																																																																																																																																																																																																																																																																																																																																																																																																																																																																																																																																																																																																																																																																																																																																																																																																																																																																																																																																																																																																																																																																																																																																																																																																																																																																																																																																																																																																																																																																																																																																																																												
76.043																																																																																																																																																																																																																																																																																																																																																																																																																																																																																																																																																																																																																																																																																																																																																																																																																																																																																																																																																																																																																																																																																																																																																																																																																																																																																																																																																																																																																																																																																																																																																																																																																																																																																																																																																																																																																																																																																																																																																																																																																																																																																																																																																																																																																																																																																																																																																																																																																																																																																																																																																																																																																																																																																																																																																																																																																																																																																																																																																																																																																																																																																																																																																																																																																																																																																																																																																																																																																																																																																																																																																																																																																																																																																																																																																																																																																																																																																																																																																																																																																																																																																																																																																																																																																																																																																																																																																																																																																																																																																																																																																																																																																																																																																																																																																																																																																																																																																																																																																																																																																																																																																																																																																																																																																																																																																																																												
(40) 1.7-(12) 段差防止 構造M																																																																																																																																																																																																																																																																																																																																																																																																																																																																																																																																																																																																																																																																																																																																																																																																																																																																																																																																																																																																																																																																																																																																																																																																																																																																																																																																																																																																																																																																																																																																																																																																																																																																																																																																																																																																																																																																																																																																																																																																																																																																																																																																																																																																																																																																																																																																																																																																																																																																																																																																																																																																																																																																																																																																																																																																																																																																																																																																																																																																																																																																																																																																																																																																																																																																																																																																																																																																																																																																																																																																																																																																																																																																																																																																																																																																																																																																																																																																																																																																																																																																																																																																																																																																																																																																																																																																																																																																																																																																																																																																																																																																																																																																																																																																																																																																																																																																																																																																																																																																																																																																																																																																																																																																																																																																																																																												
設置工																																																																																																																																																																																																																																																																																																																																																																																																																																																																																																																																																																																																																																																																																																																																																																																																																																																																																																																																																																																																																																																																																																																																																																																																																																																																																																																																																																																																																																																																																																																																																																																																																																																																																																																																																																																																																																																																																																																																																																																																																																																																																																																																																																																																																																																																																																																																																																																																																																																																																																																																																																																																																																																																																																																																																																																																																																																																																																																																																																																																																																																																																																																																																																																																																																																																																																																																																																																																																																																																																																																																																																																																																																																																																																																																																																																																																																																																																																																																																																																																																																																																																																																																																																																																																																																																																																																																																																																																																																																																																																																																																																																																																																																																																																																																																																																																																																																																																																																																																																																																																																																																																																																																																																																																																																																																																																																												
t																																																																																																																																																																																																																																																																																																																																																																																																																																																																																																																																																																																																																																																																																																																																																																																																																																																																																																																																																																																																																																																																																																																																																																																																																																																																																																																																																																																																																																																																																																																																																																																																																																																																																																																																																																																																																																																																																																																																																																																																																																																																																																																																																																																																																																																																																																																																																																																																																																																																																																																																																																																																																																																																																																																																																																																																																																																																																																																																																																																																																																																																																																																																																																																																																																																																																																																																																																																																																																																																																																																																																																																																																																																																																																																																																																																																																																																																																																																																																																																																																																																																																																																																																																																																																																																																																																																																																																																																																																																																																																																																																																																																																																																																																																																																																																																																																																																																																																																																																																																																																																																																																																																																																																																																																																																																																																																												
2.670																																																																																																																																																																																																																																																																																																																																																																																																																																																																																																																																																																																																																																																																																																																																																																																																																																																																																																																																																																																																																																																																																																																																																																																																																																																																																																																																																																																																																																																																																																																																																																																																																																																																																																																																																																																																																																																																																																																																																																																																																																																																																																																																																																																																																																																																																																																																																																																																																																																																																																																																																																																																																																																																																																																																																																																																																																																																																																																																																																																																																																																																																																																																																																																																																																																																																																																																																																																																																																																																																																																																																																																																																																																																																																																																																																																																																																																																																																																																																																																																																																																																																																																																																																																																																																																																																																																																																																																																																																																																																																																																																																																																																																																																																																																																																																																																																																																																																																																																																																																																																																																																																																																																																																																																																																																																																																																												
1.941																																																																																																																																																																																																																																																																																																																																																																																																																																																																																																																																																																																																																																																																																																																																																																																																																																																																																																																																																																																																																																																																																																																																																																																																																																																																																																																																																																																																																																																																																																																																																																																																																																																																																																																																																																																																																																																																																																																																																																																																																																																																																																																																																																																																																																																																																																																																																																																																																																																																																																																																																																																																																																																																																																																																																																																																																																																																																																																																																																																																																																																																																																																																																																																																																																																																																																																																																																																																																																																																																																																																																																																																																																																																																																																																																																																																																																																																																																																																																																																																																																																																																																																																																																																																																																																																																																																																																																																																																																																																																																																																																																																																																																																																																																																																																																																																																																																																																																																																																																																																																																																																																																																																																																																																																																																																																																																												
4.611																																																																																																																																																																																																																																																																																																																																																																																																																																																																																																																																																																																																																																																																																																																																																																																																																																																																																																																																																																																																																																																																																																																																																																																																																																																																																																																																																																																																																																																																																																																																																																																																																																																																																																																																																																																																																																																																																																																																																																																																																																																																																																																																																																																																																																																																																																																																																																																																																																																																																																																																																																																																																																																																																																																																																																																																																																																																																																																																																																																																																																																																																																																																																																																																																																																																																																																																																																																																																																																																																																																																																																																																																																																																																																																																																																																																																																																																																																																																																																																																																																																																																																																																																																																																																																																																																																																																																																																																																																																																																																																																																																																																																																																																																																																																																																																																																																																																																																																																																																																																																																																																																																																																																																																																																																																																																																																												
2.672																																																																																																																																																																																																																																																																																																																																																																																																																																																																																																																																																																																																																																																																																																																																																																																																																																																																																																																																																																																																																																																																																																																																																																																																																																																																																																																																																																																																																																																																																																																																																																																																																																																																																																																																																																																																																																																																																																																																																																																																																																																																																																																																																																																																																																																																																																																																																																																																																																																																																																																																																																																																																																																																																																																																																																																																																																																																																																																																																																																																																																																																																																																																																																																																																																																																																																																																																																																																																																																																																																																																																																																																																																																																																																																																																																																																																																																																																																																																																																																																																																																																																																																																																																																																																																																																																																																																																																																																																																																																																																																																																																																																																																																																																																																																																																																																																																																																																																																																																																																																																																																																																																																																																																																																																																																																																																																												
1.941																																																																																																																																																																																																																																																																																																																																																																																																																																																																																																																																																																																																																																																																																																																																																																																																																																																																																																																																																																																																																																																																																																																																																																																																																																																																																																																																																																																																																																																																																																																																																																																																																																																																																																																																																																																																																																																																																																																																																																																																																																																																																																																																																																																																																																																																																																																																																																																																																																																																																																																																																																																																																																																																																																																																																																																																																																																																																																																																																																																																																																																																																																																																																																																																																																																																																																																																																																																																																																																																																																																																																																																																																																																																																																																																																																																																																																																																																																																																																																																																																																																																																																																																																																																																																																																																																																																																																																																																																																																																																																																																																																																																																																																																																																																																																																																																																																																																																																																																																																																																																																																																																																																																																																																																																																																																																																																												
4.612																																																																																																																																																																																																																																																																																																																																																																																																																																																																																																																																																																																																																																																																																																																																																																																																																																																																																																																																																																																																																																																																																																																																																																																																																																																																																																																																																																																																																																																																																																																																																																																																																																																																																																																																																																																																																																																																																																																																																																																																																																																																																																																																																																																																																																																																																																																																																																																																																																																																																																																																																																																																																																																																																																																																																																																																																																																																																																																																																																																																																																																																																																																																																																																																																																																																																																																																																																																																																																																																																																																																																																																																																																																																																																																																																																																																																																																																																																																																																																																																																																																																																																																																																																																																																																																																																																																																																																																																																																																																																																																																																																																																																																																																																																																																																																																																																																																																																																																																																																																																																																																																																																																																																																																																																																																																																																																												
9.224																																																																																																																																																																																																																																																																																																																																																																																																																																																																																																																																																																																																																																																																																																																																																																																																																																																																																																																																																																																																																																																																																																																																																																																																																																																																																																																																																																																																																																																																																																																																																																																																																																																																																																																																																																																																																																																																																																																																																																																																																																																																																																																																																																																																																																																																																																																																																																																																																																																																																																																																																																																																																																																																																																																																																																																																																																																																																																																																																																																																																																																																																																																																																																																																																																																																																																																																																																																																																																																																																																																																																																																																																																																																																																																																																																																																																																																																																																																																																																																																																																																																																																																																																																																																																																																																																																																																																																																																																																																																																																																																																																																																																																																																																																																																																																																																																																																																																																																																																																																																																																																																																																																																																																																																																																																																																																																												
76.043																																																																																																																																																																																																																																																																																																																																																																																																																																																																																																																																																																																																																																																																																																																																																																																																																																																																																																																																																																																																																																																																																																																																																																																																																																																																																																																																																																																																																																																																																																																																																																																																																																																																																																																																																																																																																																																																																																																																																																																																																																																																																																																																																																																																																																																																																																																																																																																																																																																																																																																																																																																																																																																																																																																																																																																																																																																																																																																																																																																																																																																																																																																																																																																																																																																																																																																																																																																																																																																																																																																																																																																																																																																																																																																																																																																																																																																																																																																																																																																																																																																																																																																																																																																																																																																																																																																																																																																																																																																																																																																																																																																																																																																																																																																																																																																																																																																																																																																																																																																																																																																																																																																																																																																																																																																																																																																												
(40) 1.7-(12) 段差防止 構造M																																																																																																																																																																																																																																																																																																																																																																																																																																																																																																																																																																																																																																																																																																																																																																																																																																																																																																																																																																																																																																																																																																																																																																																																																																																																																																																																																																																																																																																																																																																																																																																																																																																																																																																																																																																																																																																																																																																																																																																																																																																																																																																																																																																																																																																																																																																																																																																																																																																																																																																																																																																																																																																																																																																																																																																																																																																																																																																																																																																																																																																																																																																																																																																																																																																																																																																																																																																																																																																																																																																																																																																																																																																																																																																																																																																																																																																																																																																																																																																																																																																																																																																																																																																																																																																																																																																																																																																																																																																																																																																																																																																																																																																																																																																																																																																																																																																																																																																																																																																																																																																																																																																																																																																																																																																																																																																												
設置工																																																																																																																																																																																																																																																																																																																																																																																																																																																																																																																																																																																																																																																																																																																																																																																																																																																																																																																																																																																																																																																																																																																																																																																																																																																																																																																																																																																																																																																																																																																																																																																																																																																																																																																																																																																																																																																																																																																																																																																																																																																																																																																																																																																																																																																																																																																																																																																																																																																																																																																																																																																																																																																																																																																																																																																																																																																																																																																																																																																																																																																																																																																																																																																																																																																																																																																																																																																																																																																																																																																																																																																																																																																																																																																																																																																																																																																																																																																																																																																																																																																																																																																																																																																																																																																																																																																																																																																																																																																																																																																																																																																																																																																																																																																																																																																																																																																																																																																																																																																																																																																																																																																																																																																																																																																																																																																												
t																																																																																																																																																																																																																																																																																																																																																																																																																																																																																																																																																																																																																																																																																																																																																																																																																																																																																																																																																																																																																																																																																																																																																																																																																																																																																																																																																																																																																																																																																																																																																																																																																																																																																																																																																																																																																																																																																																																																																																																																																																																																																																																																																																																																																																																																																																																																																																																																																																																																																																																																																																																																																																																																																																																																																																																																																																																																																																																																																																																																																																																																																																																																																																																																																																																																																																																																																																																																																																																																																																																																																																																																																																																																																																																																																																																																																																																																																																																																																																																																																																																																																																																																																																																																																																																																																																																																																																																																																																																																																																																																																																																																																																																																																																																																																																																																																																																																																																																																																																																																																																																																																																																																																																																																																																																																																																																												
2.670																																																																																																																																																																																																																																																																																																																																																																																																																																																																																																																																																																																																																																																																																																																																																																																																																																																																																																																																																																																																																																																																																																																																																																																																																																																																																																																																																																																																																																																																																																																																																																																																																																																																																																																																																																																																																																																																																																																																																																																																																																																																																																																																																																																																																																																																																																																																																																																																																																																																																																																																																																																																																																																																																																																																																																																																																																																																																																																																																																																																																																																																																																																																																																																																																																																																																																																																																																																																																																																																																																																																																																																																																																																																																																																																																																																																																																																																																																																																																																																																																																																																																																																																																																																																																																																																																																																																																																																																																																																																																																																																																																																																																																																																																																																																																																																																																																																																																																																																																																																																																																																																																																																																																																																																																																																																																																																												
1.941																																																																																																																																																																																																																																																																																																																																																																																																																																																																																																																																																																																																																																																																																																																																																																																																																																																																																																																																																																																																																																																																																																																																																																																																																																																																																																																																																																																																																																																																																																																																																																																																																																																																																																																																																																																																																																																																																																																																																																																																																																																																																																																																																																																																																																																																																																																																																																																																																																																																																																																																																																																																																																																																																																																																																																																																																																																																																																																																																																																																																																																																																																																																																																																																																																																																																																																																																																																																																																																																																																																																																																																																																																																																																																																																																																																																																																																																																																																																																																																																																																																																																																																																																																																																																																																																																																																																																																																																																																																																																																																																																																																																																																																																																																																																																																																																																																																																																																																																																																																																																																																																																																																																																																																																																																																																																																																												
4.611																																																																																																																																																																																																																																																																																																																																																																																																																																																																																																																																																																																																																																																																																																																																																																																																																																																																																																																																																																																																																																																																																																																																																																																																																																																																																																																																																																																																																																																																																																																																																																																																																																																																																																																																																																																																																																																																																																																																																																																																																																																																																																																																																																																																																																																																																																																																																																																																																																																																																																																																																																																																																																																																																																																																																																																																																																																																																																																																																																																																																																																																																																																																																																																																																																																																																																																																																																																																																																																																																																																																																																																																																																																																																																																																																																																																																																																																																																																																																																																																																																																																																																																																																																																																																																																																																																																																																																																																																																																																																																																																																																																																																																																																																																																																																																																																																																																																																																																																																																																																																																																																																																																																																																																																																																																																																																																												
2.672																																																																																																																																																																																																																																																																																																																																																																																																																																																																																																																																																																																																																																																																																																																																																																																																																																																																																																																																																																																																																																																																																																																																																																																																																																																																																																																																																																																																																																																																																																																																																																																																																																																																																																																																																																																																																																																																																																																																																																																																																																																																																																																																																																																																																																																																																																																																																																																																																																																																																																																																																																																																																																																																																																																																																																																																																																																																																																																																																																																																																																																																																																																																																																																																																																																																																																																																																																																																																																																																																																																																																																																																																																																																																																																																																																																																																																																																																																																																																																																																																																																																																																																																																																																																																																																																																																																																																																																																																																																																																																																																																																																																																																																																																																																																																																																																																																																																																																																																																																																																																																																																																																																																																																																																																																																																																																																												
1.941																																																																																																																																																																																																																																																																																																																																																																																																																																																																																																																																																																																																																																																																																																																																																																																																																																																																																																																																																																																																																																																																																																																																																																																																																																																																																																																																																																																																																																																																																																																																																																																																																																																																																																																																																																																																																																																																																																																																																																																																																																																																																																																																																																																																																																																																																																																																																																																																																																																																																																																																																																																																																																																																																																																																																																																																																																																																																																																																																																																																																																																																																																																																																																																																																																																																																																																																																																																																																																																																																																																																																																																																																																																																																																																																																																																																																																																																																																																																																																																																																																																																																																																																																																																																																																																																																																																																																																																																																																																																																																																																																																																																																																																																																																																																																																																																																																																																																																																																																																																																																																																																																																																																																																																																																																																																																																																												
4.612																																																																																																																																																																																																																																																																																																																																																																																																																																																																																																																																																																																																																																																																																																																																																																																																																																																																																																																																																																																																																																																																																																																																																																																																																																																																																																																																																																																																																																																																																																																																																																																																																																																																																																																																																																																																																																																																																																																																																																																																																																																																																																																																																																																																																																																																																																																																																																																																																																																																																																																																																																																																																																																																																																																																																																																																																																																																																																																																																																																																																																																																																																																																																																																																																																																																																																																																																																																																																																																																																																																																																																																																																																																																																																																																																																																																																																																																																																																																																																																																																																																																																																																																																																																																																																																																																																																																																																																																																																																																																																																																																																																																																																																																																																																																																																																																																																																																																																																																																																																																																																																																																																																																																																																																																																																																																																																												
9.224																																																																																																																																																																																																																																																																																																																																																																																																																																																																																																																																																																																																																																																																																																																																																																																																																																																																																																																																																																																																																																																																																																																																																																																																																																																																																																																																																																																																																																																																																																																																																																																																																																																																																																																																																																																																																																																																																																																																																																																																																																																																																																																																																																																																																																																																																																																																																																																																																																																																																																																																																																																																																																																																																																																																																																																																																																																																																																																																																																																																																																																																																																																																																																																																																																																																																																																																																																																																																																																																																																																																																																																																																																																																																																																																																																																																																																																																																																																																																																																																																																																																																																																																																																																																																																																																																																																																																																																																																																																																																																																																																																																																																																																																																																																																																																																																																																																																																																																																																																																																																																																																																																																																																																																																																																																																																																																												
76.043																																																																																																																																																																																																																																																																																																																																																																																																																																																																																																																																																																																																																																																																																																																																																																																																																																																																																																																																																																																																																																																																																																																																																																																																																																																																																																																																																																																																																																																																																																																																																																																																																																																																																																																																																																																																																																																																																																																																																																																																																																																																																																																																																																																																																																																																																																																																																																																																																																																																																																																																																																																																																																																																																																																																																																																																																																																																																																																																																																																																																																																																																																																																																																																																																																																																																																																																																																																																																																																																																																																																																																																																																																																																																																																																																																																																																																																																																																																																																																																																																																																																																																																																																																																																																																																																																																																																																																																																																																																																																																																																																																																																																																																																																																																																																																																																																																																																																																																																																																																																																																																																																																																																																																																																																																																																																																																												
(40) 1.7-(12) 段差防止 構造M																																																																																																																																																																																																																																																																																																																																																																																																																																																																																																																																																																																																																																																																																																																																																																																																																																																																																																																																																																																																																																																																																																																																																																																																																																																																																																																																																																																																																																																																																																																																																																																																																																																																																																																																																																																																																																																																																																																																																																																																																																																																																																																																																																																																																																																																																																																																																																																																																																																																																																																																																																																																																																																																																																																																																																																																																																																																																																																																																																																																																																																																																																																																																																																																																																																																																																																																																																																																																																																																																																																																																																																																																																																																																																																																																																																																																																																																																																																																																																																																																																																																																																																																																																																																																																																																																																																																																																																																																																																																																																																																																																																																																																																																																																																																																																																																																																																																																																																																																																																																																																																																																																																																																																																																																																																																																																																												
設置工																																																																																																																																																																																																																																																																																																																																																																																																																																																																																																																																																																																																																																																																																																																																																																																																																																																																																																																																																																																																																																																																																																																																																																																																																																																																																																																																																																																																																																																																																																																																																																																																																																																																																																																																																																																																																																																																																																																																																																																																																																																																																																																																																																																																																																																																																																																																																																																																																																																																																																																																																																																																																																																																																																																																																																																																																																																																																																																																																																																																																																																																																																																																																																																																																																																																																																																																																																																																																																																																																																																																																																																																																																																																																																																																																																																																																																																																																																																																																																																																																																																																																																																																																																																																																																																																																																																																																																																																																																																																																																																																																																																																																																																																																																																																																																																																																																																																																																																																																																																																																																																																																																																																																																																																																																																																																																																												
t																																																																																																																																																																																																																																																																																																																																																																																																																																																																																																																																																																																																																																																																																																																																																																																																																																																																																																																																																																																																																																																																																																																																																																																																																																																																																																																																																																																																																																																																																																																																																																																																																																																																																																																																																																																																																																																																																																																																																																																																																																																																																																																																																																																																																																																																																																																																																																																																																																																																																																																																																																																																																																																																																																																																																																																																																																																																																																																																																																																																																																																																																																																																																																																																																																																																																																																																																																																																																																																																																																																																																																																																																																																																																																																																																																																																																																																																																																																																																																																																																																																																																																																																																																																																																																																																																																																																																																																																																																																																																																																																																																																																																																																																																																																																																																																																																																																																																																																																																																																																																																																																																																																																																																																																																																																																																																																												
2.670																																																																																																																																																																																																																																																																																																																																																																																																																																																																																																																																																																																																																																																																																																																																																																																																																																																																																																																																																																																																																																																																																																																																																																																																																																																																																																																																																																																																																																																																																																																																																																																																																																																																																																																																																																																																																																																																																																																																																																																																																																																																																																																																																																																																																																																																																																																																																																																																																																																																																																																																																																																																																																																																																																																																																																																																																																																																																																																																																																																																																																																																																																																																																																																																																																																																																																																																																																																																																																																																																																																																																																																																																																																																																																																																																																																																																																																																																																																																																																																																																																																																																																																																																																																																																																																																																																																																																																																																																																																																																																																																																																																																																																																																																																																																																																																																																																																																																																																																																																																																																																																																																																																																																																																																																																																																																																																												
1.941																																																																																																																																																																																																																																																																																																																																																																																																																																																																																																																																																																																																																																																																																																																																																																																																																																																																																																																																																																																																																																																																																																																																																																																																																																																																																																																																																																																																																																																																																																																																																																																																																																																																																																																																																																																																																																																																																																																																																																																																																																																																																																																																																																																																																																																																																																																																																																																																																																																																																																																																																																																																																																																																																																																																																																																																																																																																																																																																																																																																																																																																																																																																																																																																																																																																																																																																																																																																																																																																																																																																																																																																																																																																																																																																																																																																																																																																																																																																																																																																																																																																																																																																																																																																																																																																																																																																																																																																																																																																																																																																																																																																																																																																																																																																																																																																																																																																																																																																																																																																																																																																																																																																																																																																																																																																																																																												
4.611																																																																																																																																																																																																																																																																																																																																																																																																																																																																																																																																																																																																																																																																																																																																																																																																																																																																																																																																																																																																																																																																																																																																																																																																																																																																																																																																																																																																																																																																																																																																																																																																																																																																																																																																																																																																																																																																																																																																																																																																																																																																																																																																																																																																																																																																																																																																																																																																																																																																																																																																																																																																																																																																																																																																																																																																																																																																																																																																																																																																																																																																																																																																																																																																																																																																																																																																																																																																																																																																																																																																																																																																																																																																																																																																																																																																																																																																																																																																																																																																																																																																																																																																																																																																																																																																																																																																																																																																																																																																																																																																																																																																																																																																																																																																																																																																																																																																																																																																																																																																																																																																																																																																																																																																																																																																																																																												
2.672																																																																																																																																																																																																																																																																																																																																																																																																																																																																																																																																																																																																																																																																																																																																																																																																																																																																																																																																																																																																																																																																																																																																																																																																																																																																																																																																																																																																																																																																																																																																																																																																																																																																																																																																																																																																																																																																																																																																																																																																																																																																																																																																																																																																																																																																																																																																																																																																																																																																																																																																																																																																																																																																																																																																																																																																																																																																																																																																																																																																																																																																																																																																																																																																																																																																																																																																																																																																																																																																																																																																																																																																																																																																																																																																																																																																																																																																																																																																																																																																																																																																																																																																																																																																																																																																																																																																																																																																																																																																																																																																																																																																																																																																																																																																																																																																																																																																																																																																																																																																																																																																																																																																																																																																																																																																																																																												
1.941																																																																																																																																																																																																																																																																																																																																																																																																																																																																																																																																																																																																																																																																																																																																																																																																																																																																																																																																																																																																																																																																																																																																																																																																																																																																																																																																																																																																																																																																																																																																																																																																																																																																																																																																																																																																																																																																																																																																																																																																																																																																																																																																																																																																																																																																																																																																																																																																																																																																																																																																																																																																																																																																																																																																																																																																																																																																																																																																																																																																																																																																																																																																																																																																																																																																																																																																																																																																																																																																																																																																																																																																																																																																																																																																																																																																																																																																																																																																																																																																																																																																																																																																																																																																																																																																																																																																																																																																																																																																																																																																																																																																																																																																																																																																																																																																																																																																																																																																																																																																																																																																																																																																																																																																																																																																																																																												
4.612																																																																																																																																																																																																																																																																																																																																																																																																																																																																																																																																																																																																																																																																																																																																																																																																																																																																																																																																																																																																																																																																																																																																																																																																																																																																																																																																																																																																																																																																																																																																																																																																																																																																																																																																																																																																																																																																																																																																																																																																																																																																																																																																																																																																																																																																																																																																																																																																																																																																																																																																																																																																																																																																																																																																																																																																																																																																																																																																																																																																																																																																																																																																																																																																																																																																																																																																																																																																																																																																																																																																																																																																																																																																																																																																																																																																																																																																																																																																																																																																																																																																																																																																																																																																																																																																																																																																																																																																																																																																																																																																																																																																																																																																																																																																																																																																																																																																																																																																																																																																																																																																																																																																																																																																																																																																																																																												
9.224																																																																																																																																																																																																																																																																																																																																																																																																																																																																																																																																																																																																																																																																																																																																																																																																																																																																																																																																																																																																																																																																																																																																																																																																																																																																																																																																																																																																																																																																																																																																																																																																																																																																																																																																																																																																																																																																																																																																																																																																																																																																																																																																																																																																																																																																																																																																																																																																																																																																																																																																																																																																																																																																																																																																																																																																																																																																																																																																																																																																																																																																																																																																																																																																																																																																																																																																																																																																																																																																																																																																																																																																																																																																																																																																																																																																																																																																																																																																																																																																																																																																																																																																																																																																																																																																																																																																																																																																																																																																																																																																																																																																																																																																																																																																																																																																																																																																																																																																																																																																																																																																																																																																																																																																																																																																																																																												
76.043																																																																																																																																																																																																																																																																																																																																																																																																																																																																																																																																																																																																																																																																																																																																																																																																																																																																																																																																																																																																																																																																																																																																																																																																																																																																																																																																																																																																																																																																																																																																																																																																																																																																																																																																																																																																																																																																																																																																																																																																																																																																																																																																																																																																																																																																																																																																																																																																																																																																																																																																																																																																																																																																																																																																																																																																																																																																																																																																																																																																																																																																																																																																																																																																																																																																																																																																																																																																																																																																																																																																																																																																																																																																																																																																																																																																																																																																																																																																																																																																																																																																																																																																																																																																																																																																																																																																																																																																																																																																																																																																																																																																																																																																																																																																																																																																																																																																																																																																																																																																																																																																																																																																																																																																																																																																																																																												
(40) 1.7-(12) 段差防止 構造M																																																																																																																																																																																																																																																																																																																																																																																																																																																																																																																																																																																																																																																																																																																																																																																																																																																																																																																																																																																																																																																																																																																																																																																																																																																																																																																																																																																																																																																																																																																																																																																																																																																																																																																																																																																																																																																																																																																																																																																																																																																																																																																																																																																																																																																																																																																																																																																																																																																																																																																																																																																																																																																																																																																																																																																																																																																																																																																																																																																																																																																																																																																																																																																																																																																																																																																																																																																																																																																																																																																																																																																																																																																																																																																																																																																																																																																																																																																																																																																																																																																																																																																																																																																																																																																																																																																																																																																																																																																																																																																																																																																																																																																																																																																																																																																																																																																																																																																																																																																																																																																																																																																																																																																																																																																																																																																												
設置工																																																																																																																																																																																																																																																																																																																																																																																																																																																																																																																																																																																																																																																																																																																																																																																																																																																																																																																																																																																																																																																																																																																																																																																																																																																																																																																																																																																																																																																																																																																																																																																																																																																																																																																																																																																																																																																																																																																																																																																																																																																																																																																																																																																																																																																																																																																																																																																																																																																																																																																																																																																																																																																																																																																																																																																																																																																																																																																																																																																																																																																																																																																																																																																																																																																																																																																																																																																																																																																																																																																																																																																																																																																																																																																																																																																																																																																																																																																																																																																																																																																																																																																																																																																																																																																																																																																																																																																																																																																																																																																																																																																																																																																																																																																																																																																																																																																																																																																																																																																																																																																																																																																																																																																																																																																																																																																												
t																																																																																																																																																																																																																																																																																																																																																																																																																																																																																																																																																																																																																																																																																																																																																																																																																																																																																																																																																																																																																																																																																																																																																																																																																																																																																																																																																																																																																																																																																																																																																																																																																																																																																																																																																																																																																																																																																																																																																																																																																																																																																																																																																																																																																																																																																																																																																																																																																																																																																																																																																																																																																																																																																																																																																																																																																																																																																																																																																																																																																																																																																																																																																																																																																																																																																																																																																																																																																																																																																																																																																																																																																																																																																																																																																																																																																																																																																																																																																																																																																																																																																																																																																																																																																																																																																																																																																																																																																																																																																																																																																																																																																																																																																																																																																																																																																																																																																																																																																																																																																																																																																																																																																																																																																																																																																																																												
2.670																																																																																																																																																																																																																																																																																																																																																																																																																																																																																																																																																																																																																																																																																																																																																																																																																																																																																																																																																																																																																																																																																																																																																																																																																																																																																																																																																																																																																																																																																																																																																																																																																																																																																																																																																																																																																																																																																																																																																																																																																																																																																																																																																																																																																																																																																																																																																																																																																																																																																																																																																																																																																																																																																																																																																																																																																																																																																																																																																																																																																																																																																																																																																																																																																																																																																																																																																																																																																																																																																																																																																																																																																																																																																																																																																																																																																																																																																																																																																																																																																																																																																																																																																																																																																																																																																																																																																																																																																																																																																																																																																																																																																																																																																																																																																																																																																																																																																																																																																																																																																																																																																																																																																																																																																																																																																																																												
1.941																																																																																																																																																																																																																																																																																																																																																																																																																																																																																																																																																																																																																																																																																																																																																																																																																																																																																																																																																																																																																																																																																																																																																																																																																																																																																																																																																																																																																																																																																																																																																																																																																																																																																																																																																																																																																																																																																																																																																																																																																																																																																																																																																																																																																																																																																																																																																																																																																																																																																																																																																																																																																																																																																																																																																																																																																																																																																																																																																																																																																																																																																																																																																																																																																																																																																																																																																																																																																																																																																																																																																																																																																																																																																																																																																																																																																																																																																																																																																																																																																																																																																																																																																																																																																																																																																																																																																																																																																																																																																																																																																																																																																																																																																																																																																																																																																																																																																																																																																																																																																																																																																																																																																																																																																																																																																																																												
4.611																																																																																																																																																																																																																																																																																																																																																																																																																																																																																																																																																																																																																																																																																																																																																																																																																																																																																																																																																																																																																																																																																																																																																																																																																																																																																																																																																																																																																																																																																																																																																																																																																																																																																																																																																																																																																																																																																																																																																																																																																																																																																																																																																																																																																																																																																																																																																																																																																																																																																																																																																																																																																																																																																																																																																																																																																																																																																																																																																																																																																																																																																																																																																																																																																																																																																																																																																																																																																																																																																																																																																																																																																																																																																																																																																																																																																																																																																																																																																																																																																																																																																																																																																																																																																																																																																																																																																																																																																																																																																																																																																																																																																																																																																																																																																																																																																																																																																																																																																																																																																																																																																																																																																																																																																																																																																																																												
2.672																																																																																																																																																																																																																																																																																																																																																																																																																																																																																																																																																																																																																																																																																																																																																																																																																																																																																																																																																																																																																																																																																																																																																																																																																																																																																																																																																																																																																																																																																																																																																																																																																																																																																																																																																																																																																																																																																																																																																																																																																																																																																																																																																																																																																																																																																																																																																																																																																																																																																																																																																																																																																																																																																																																																																																																																																																																																																																																																																																																																																																																																																																																																																																																																																																																																																																																																																																																																																																																																																																																																																																																																																																																																																																																																																																																																																																																																																																																																																																																																																																																																																																																																																																																																																																																																																																																																																																																																																																																																																																																																																																																																																																																																																																																																																																																																																																																																																																																																																																																																																																																																																																																																																																																																																																																																																																																												
1.941																																																																																																																																																																																																																																																																																																																																																																																																																																																																																																																																																																																																																																																																																																																																																																																																																																																																																																																																																																																																																																																																																																																																																																																																																																																																																																																																																																																																																																																																																																																																																																																																																																																																																																																																																																																																																																																																																																																																																																																																																																																																																																																																																																																																																																																																																																																																																																																																																																																																																																																																																																																																																																																																																																																																																																																																																																																																																																																																																																																																																																																																																																																																																																																																																																																																																																																																																																																																																																																																																																																																																																																																																																																																																																																																																																																																																																																																																																																																																																																																																																																																																																																																																																																																																																																																																																																																																																																																																																																																																																																																																																																																																																																																																																																																																																																																																																																																																																																																																																																																																																																																																																																																																																																																																																																																																																																												
4.612																																																																																																																																																																																																																																																																																																																																																																																																																																																																																																																																																																																																																																																																																																																																																																																																																																																																																																																																																																																																																																																																																																																																																																																																																																																																																																																																																																																																																																																																																																																																																																																																																																																																																																																																																																																																																																																																																																																																																																																																																																																																																																																																																																																																																																																																																																																																																																																																																																																																																																																																																																																																																																																																																																																																																																																																																																																																																																																																																																																																																																																																																																																																																																																																																																																																																																																																																																																																																																																																																																																																																																																																																																																																																																																																																																																																																																																																																																																																																																																																																																																																																																																																																																																																																																																																																																																																																																																																																																																																																																																																																																																																																																																																																																																																																																																																																																																																																																																																																																																																																																																																																																																																																																																																																																																																																																																												
9.224																																																																																																																																																																																																																																																																																																																																																																																																																																																																																																																																																																																																																																																																																																																																																																																																																																																																																																																																																																																																																																																																																																																																																																																																																																																																																																																																																																																																																																																																																																																																																																																																																																																																																																																																																																																																																																																																																																																																																																																																																																																																																																																																																																																																																																																																																																																																																																																																																																																																																																																																																																																																																																																																																																																																																																																																																																																																																																																																																																																																																																																																																																																																																																																																																																																																																																																																																																																																																																																																																																																																																																																																																																																																																																																																																																																																																																																																																																																																																																																																																																																																																																																																																																																																																																																																																																																																																																																																																																																																																																																																																																																																																																																																																																																																																																																																																																																																																																																																																																																																																																																																																																																																																																																																																																																																																																																												
76.043																																																																																																																																																																																																																																																																																																																																																																																																																																																																																																																																																																																																																																																																																																																																																																																																																																																																																																																																																																																																																																																																																																																																																																																																																																																																																																																																																																																																																																																																																																																																																																																																																																																																																																																																																																																																																																																																																																																																																																																																																																																																																																																																																																																																																																																																																																																																																																																																																																																																																																																																																																																																																																																																																																																																																																																																																																																																																																																																																																																																																																																																																																																																																																																																																																																																																																																																																																																																																																																																																																																																																																																																																																																																																																																																																																																																																																																																																																																																																																																																																																																																																																																																																																																																																																																																																																																																																																																																																																																																																																																																																																																																																																																																																																																																																																																																																																																																																																																																																																																																																																																																																																																																																																																																																																																																																																																												
(40) 1.7-(12) 段差防止 構造M																																																																																																																																																																																																																																																																																																																																																																																																																																																																																																																																																																																																																																																																																																																																																																																																																																																																																																																																																																																																																																																																																																																																																																																																																																																																																																																																																																																																																																																																																																																																																																																																																																																																																																																																																																																																																																																																																																																																																																																																																																																																																																																																																																																																																																																																																																																																																																																																																																																																																																																																																																																																																																																																																																																																																																																																																																																																																																																																																																																																																																																																																																																																																																																																																																																																																																																																																																																																																																																																																																																																																																																																																																																																																																																																																																																																																																																																																																																																																																																																																																																																																																																																																																																																																																																																																																																																																																																																																																																																																																																																																																																																																																																																																																																																																																																																																																																																																																																																																																																																																																																																																																																																																																																																																																																																																																																												
設置工																																																																																																																																																																																																																																																																																																																																																																																																																																																																																																																																																																																																																																																																																																																																																																																																																																																																																																																																																																																																																																																																																																																																																																																																																																																																																																																																																																																																																																																																																																																																																																																																																																																																																																																																																																																																																																																																																																																																																																																																																																																																																																																																																																																																																																																																																																																																																																																																																																																																																																																																																																																																																																																																																																																																																																																																																																																																																																																																																																																																																																																																																																																																																																																																																																																																																																																																																																																																																																																																																																																																																																																																																																																																																																																																																																																																																																																																																																																																																																																																																																																																																																																																																																																																																																																																																																																																																																																																																																																																																																																																																																																																																																																																																																																																																																																																																																																																																																																																																																																																																																																																																																																																																																																																																																																																																																																												
t																																																																																																																																																																																																																																																																																																																																																																																																																																																																																																																																																																																																																																																																																																																																																																																																																																																																																																																																																																																																																																																																																																																																																																																																																																																																																																																																																																																																																																																																																																																																																																																																																																																																																																																																																																																																																																																																																																																																																																																																																																																																																																																																																																																																																																																																																																																																																																																																																																																																																																																																																																																																																																																																																																																																																																																																																																																																																																																																																																																																																																																																																																																																																																																																																																																																																																																																																																																																																																																																																																																																																																																																																																																																																																																																																																																																																																																																																																																																																																																																																																																																																																																																																																																																																																																																																																																																																																																																																																																																																																																																																																																																																																																																																																																																																																																																																																																																																																																																																																																																																																																																																																																																																																																																																																																																																																																												
2.670																																																																																																																																																																																																																																																																																																																																																																																																																																																																																																																																																																																																																																																																																																																																																																																																																																																																																																																																																																																																																																																																																																																																																																																																																																																																																																																																																																																																																																																																																																																																																																																																																																																																																																																																																																																																																																																																																																																																																																																																																																																																																																																																																																																																																																																																																																																																																																																																																																																																																																																																																																																																																																																																																																																																																																																																																																																																																																																																																																																																																																																																																																																																																																																																																																																																																																																																																																																																																																																																																																																																																																																																																																																																																																																																																																																																																																																																																																																																																																																																																																																																																																																																																																																																																																																																																																																																																																																																																																																																																																																																																																																																																																																																																																																																																																																																																																																																																																																																																																																																																																																																																																																																																																																																																																																																																																																												
1.941																																																																																																																																																																																																																																																																																																																																																																																																																																																																																																																																																																																																																																																																																																																																																																																																																																																																																																																																																																																																																																																																																																																																																																																																																																																																																																																																																																																																																																																																																																																																																																																																																																																																																																																																																																																																																																																																																																																																																																																																																																																																																																																																																																																																																																																																																																																																																																																																																																																																																																																																																																																																																																																																																																																																																																																																																																																																																																																																																																																																																																																																																																																																																																																																																																																																																																																																																																																																																																																																																																																																																																																																																																																																																																																																																																																																																																																																																																																																																																																																																																																																																																																																																																																																																																																																																																																																																																																																																																																																																																																																																																																																																																																																																																																																																																																																																																																																																																																																																																																																																																																																																																																																																																																																																																																																																																																												
4.611																																																																																																																																																																																																																																																																																																																																																																																																																																																																																																																																																																																																																																																																																																																																																																																																																																																																																																																																																																																																																																																																																																																																																																																																																																																																																																																																																																																																																																																																																																																																																																																																																																																																																																																																																																																																																																																																																																																																																																																																																																																																																																																																																																																																																																																																																																																																																																																																																																																																																																																																																																																																																																																																																																																																																																																																																																																																																																																																																																																																																																																																																																																																																																																																																																																																																																																																																																																																																																																																																																																																																																																																																																																																																																																																																																																																																																																																																																																																																																																																																																																																																																																																																																																																																																																																																																																																																																																																																																																																																																																																																																																																																																																																																																																																																																																																																																																																																																																																																																																																																																																																																																																																																																																																																																																																																																																												
2.672																																																																																																																																																																																																																																																																																																																																																																																																																																																																																																																																																																																																																																																																																																																																																																																																																																																																																																																																																																																																																																																																																																																																																																																																																																																																																																																																																																																																																																																																																																																																																																																																																																																																																																																																																																																																																																																																																																																																																																																																																																																																																																																																																																																																																																																																																																																																																																																																																																																																																																																																																																																																																																																																																																																																																																																																																																																																																																																																																																																																																																																																																																																																																																																																																																																																																																																																																																																																																																																																																																																																																																																																																																																																																																																																																																																																																																																																																																																																																																																																																																																																																																																																																																																																																																																																																																																																																																																																																																																																																																																																																																																																																																																																																																																																																																																																																																																																																																																																																																																																																																																																																																																																																																																																																																																																																																																												
1.941																																																																																																																																																																																																																																																																																																																																																																																																																																																																																																																																																																																																																																																																																																																																																																																																																																																																																																																																																																																																																																																																																																																																																																																																																																																																																																																																																																																																																																																																																																																																																																																																																																																																																																																																																																																																																																																																																																																																																																																																																																																																																																																																																																																																																																																																																																																																																																																																																																																																																																																																																																																																																																																																																																																																																																																																																																																																																																																																																																																																																																																																																																																																																																																																																																																																																																																																																																																																																																																																																																																																																																																																																																																																																																																																																																																																																																																																																																																																																																																																																																																																																																																																																																																																																																																																																																																																																																																																																																																																																																																																																																																																																																																																																																																																																																																																																																																																																																																																																																																																																																																																																																																																																																																																																																																																																																																												
4.612																																																																																																																																																																																																																																																																																																																																																																																																																																																																																																																																																																																																																																																																																																																																																																																																																																																																																																																																																																																																																																																																																																																																																																																																																																																																																																																																																																																																																																																																																																																																																																																																																																																																																																																																																																																																																																																																																																																																																																																																																																																																																																																																																																																																																																																																																																																																																																																																																																																																																																																																																																																																																																																																																																																																																																																																																																																																																																																																																																																																																																																																																																																																																																																																																																																																																																																																																																																																																																																																																																																																																																																																																																																																																																																																																																																																																																																																																																																																																																																																																																																																																																																																																																																																																																																																																																																																																																																																																																																																																																																																																																																																																																																																																																																																																																																																																																																																																																																																																																																																																																																																																																																																																																																																																																																																																																																												
9.224																																																																																																																																																																																																																																																																																																																																																																																																																																																																																																																																																																																																																																																																																																																																																																																																																																																																																																																																																																																																																																																																																																																																																																																																																																																																																																																																																																																																																																																																																																																																																																																																																																																																																																																																																																																																																																																																																																																																																																																																																																																																																																																																																																																																																																																																																																																																																																																																																																																																																																																																																																																																																																																																																																																																																																																																																																																																																																																																																																																																																																																																																																																																																																																																																																																																																																																																																																																																																																																																																																																																																																																																																																																																																																																																																																																																																																																																																																																																																																																																																																																																																																																																																																																																																																																																																																																																																																																																																																																																																																																																																																																																																																																																																																																																																																																																																																																																																																																																																																																																																																																																																																																																																																																																																																																																																																																												
76.043																																																																																																																																																																																																																																																																																																																																																																																																																																																																																																																																																																																																																																																																																																																																																																																																																																																																																																																																																																																																																																																																																																																																																																																																																																																																																																																																																																																																																																																																																																																																																																																																																																																																																																																																																																																																																																																																																																																																																																																																																																																																																																																																																																																																																																																																																																																																																																																																																																																																																																																																																																																																																																																																																																																																																																																																																																																																																																																																																																																																																																																																																																																																																																																																																																																																																																																																																																																																																																																																																																																																																																																																																																																																																																																																																																																																																																																																																																																																																																																																																																																																																																																																																																																																																																																																																																																																																																																																																																																																																																																																																																																																																																																																																																																																																																																																																																																																																																																																																																																																																																																																																																																																																																																																																																																																																																																												
(40) 1.7-(12) 段差防止 構造M																																																																																																																																																																																																																																																																																																																																																																																																																																																																																																																																																																																																																																																																																																																																																																																																																																																																																																																																																																																																																																																																																																																																																																																																																																																																																																																																																																																																																																																																																																																																																																																																																																																																																																																																																																																																																																																																																																																																																																																																																																																																																																																																																																																																																																																																																																																																																																																																																																																																																																																																																																																																																																																																																																																																																																																																																																																																																																																																																																																																																																																																																																																																																																																																																																																																																																																																																																																																																																																																																																																																																																																																																																																																																																																																																																																																																																																																																																																																																																																																																																																																																																																																																																																																																																																																																																																																																																																																																																																																																																																																																																																																																																																																																																																																																																																																																																																																																																																																																																																																																																																																																																																																																																																																																																																																																																																												
設置工																																																																																																																																																																																																																																																																																																																																																																																																																																																																																																																																																																																																																																																																																																																																																																																																																																																																																																																																																																																																																																																																																																																																																																																																																																																																																																																																																																																																																																																																																																																																																																																																																																																																																																																																																																																																																																																																																																																																																																																																																																																																																																																																																																																																																																																																																																																																																																																																																																																																																																																																																																																																																																																																																																																																																																																																																																																																																																																																																																																																																																																																																																																																																																																																																																																																																																																																																																																																																																																																																																																																																																																																																																																																																																																																																																																																																																																																																																																																																																																																																																																																																																																																																																																																																																																																																																																																																																																																																																																																																																																																																																																																																																																																																																																																																																																																																																																																																																																																																																																																																																																																																																																																																																																																																																																																																																																												
t																																																																																																																																																																																																																																																																																																																																																																																																																																																																																																																																																																																																																																																																																																																																																																																																																																																																																																																																																																																																																																																																																																																																																																																																																																																																																																																																																																																																																																																																																																																																																																																																																																																																																																																																																																																																																																																																																																																																																																																																																																																																																																																																																																																																																																																																																																																																																																																																																																																																																																																																																																																																																																																																																																																																																																																																																																																																																																																																																																																																																																																																																																																																																																																																																																																																																																																																																																																																																																																																																																																																																																																																																																																																																																																																																																																																																																																																																																																																																																																																																																																																																																																																																																																																																																																																																																																																																																																																																																																																																																																																																																																																																																																																																																																																																																																																																																																																																																																																																																																																																																																																																																																																																																																																																																																																																																																												
2.670																																																																																																																																																																																																																																																																																																																																																																																																																																																																																																																																																																																																																																																																																																																																																																																																																																																																																																																																																																																																																																																																																																																																																																																																																																																																																																																																																																																																																																																																																																																																																																																																																																																																																																																																																																																																																																																																																																																																																																																																																																																																																																																																																																																																																																																																																																																																																																																																																																																																																																																																																																																																																																																																																																																																																																																																																																																																																																																																																																																																																																																																																																																																																																																																																																																																																																																																																																																																																																																																																																																																																																																																																																																																																																																																																																																																																																																																																																																																																																																																																																																																																																																																																																																																																																																																																																																																																																																																																																																																																																																																																																																																																																																																																																																																																																																																																																																																																																																																																																																																																																																																																																																																																																																																																																																																																																																												
1.941																																																																																																																																																																																																																																																																																																																																																																																																																																																																																																																																																																																																																																																																																																																																																																																																																																																																																																																																																																																																																																																																																																																																																																																																																																																																																																																																																																																																																																																																																																																																																																																																																																																																																																																																																																																																																																																																																																																																																																																																																																																																																																																																																																																																																																																																																																																																																																																																																																																																																																																																																																																																																																																																																																																																																																																																																																																																																																																																																																																																																																																																																																																																																																																																																																																																																																																																																																																																																																																																																																																																																																																																																																																																																																																																																																																																																																																																																																																																																																																																																																																																																																																																																																																																																																																																																																																																																																																																																																																																																																																																																																																																																																																																																																																																																																																																																																																																																																																																																																																																																																																																																																																																																																																																																																																																																																																												
4.611																																																																																																																																																																																																																																																																																																																																																																																																																																																																																																																																																																																																																																																																																																																																																																																																																																																																																																																																																																																																																																																																																																																																																																																																																																																																																																																																																																																																																																																																																																																																																																																																																																																																																																																																																																																																																																																																																																																																																																																																																																																																																																																																																																																																																																																																																																																																																																																																																																																																																																																																																																																																																																																																																																																																																																																																																																																																																																																																																																																																																																																																																																																																																																																																																																																																																																																																																																																																																																																																																																																																																																																																																																																																																																																																																																																																																																																																																																																																																																																																																																																																																																																																																																																																																																																																																																																																																																																																																																																																																																																																																																																																																																																																																																																																																																																																																																																																																																																																																																																																																																																																																																																																																																																																																																																																																																																												
2.672																																																																																																																																																																																																																																																																																																																																																																																																																																																																																																																																																																																																																																																																																																																																																																																																																																																																																																																																																																																																																																																																																																																																																																																																																																																																																																																																																																																																																																																																																																																																																																																																																																																																																																																																																																																																																																																																																																																																																																																																																																																																																																																																																																																																																																																																																																																																																																																																																																																																																																																																																																																																																																																																																																																																																																																																																																																																																																																																																																																																																																																																																																																																																																																																																																																																																																																																																																																																																																																																																																																																																																																																																																																																																																																																																																																																																																																																																																																																																																																																																																																																																																																																																																																																																																																																																																																																																																																																																																																																																																																																																																																																																																																																																																																																																																																																																																																																																																																																																																																																																																																																																																																																																																																																																																																																																																																												
1.941																																																																																																																																																																																																																																																																																																																																																																																																																																																																																																																																																																																																																																																																																																																																																																																																																																																																																																																																																																																																																																																																																																																																																																																																																																																																																																																																																																																																																																																																																																																																																																																																																																																																																																																																																																																																																																																																																																																																																																																																																																																																																																																																																																																																																																																																																																																																																																																																																																																																																																																																																																																																																																																																																																																																																																																																																																																																																																																																																																																																																																																																																																																																																																																																																																																																																																																																																																																																																																																																																																																																																																																																																																																																																																																																																																																																																																																																																																																																																																																																																																																																																																																																																																																																																																																																																																																																																																																																																																																																																																																																																																																																																																																																																																																																																																																																																																																																																																																																																																																																																																																																																																																																																																																																																																																																																																																												
4.612																																																																																																																																																																																																																																																																																																																																																																																																																																																																																																																																																																																																																																																																																																																																																																																																																																																																																																																																																																																																																																																																																																																																																																																																																																																																																																																																																																																																																																																																																																																																																																																																																																																																																																																																																																																																																																																																																																																																																																																																																																																																																																																																																																																																																																																																																																																																																																																																																																																																																																																																																																																																																																																																																																																																																																																																																																																																																																																																																																																																																																																																																																																																																																																																																																																																																																																																																																																																																																																																																																																																																																																																																																																																																																																																																																																																																																																																																																																																																																																																																																																																																																																																																																																																																																																																																																																																																																																																																																																																																																																																																																																																																																																																																																																																																																																																																																																																																																																																																																																																																																																																																																																																																																																																																																																																																																																												
9.224																																																																																																																																																																																																																																																																																																																																																																																																																																																																																																																																																																																																																																																																																																																																																																																																																																																																																																																																																																																																																																																																																																																																																																																																																																																																																																																																																																																																																																																																																																																																																																																																																																																																																																																																																																																																																																																																																																																																																																																																																																																																																																																																																																																																																																																																																																																																																																																																																																																																																																																																																																																																																																																																																																																																																																																																																																																																																																																																																																																																																																																																																																																																																																																																																																																																																																																																																																																																																																																																																																																																																																																																																																																																																																																																																																																																																																																																																																																																																																																																																																																																																																																																																																																																																																																																																																																																																																																																																																																																																																																																																																																																																																																																																																																																																																																																																																																																																																																																																																																																																																																																																																																																																																																																																																																																																																																												
76.043																																																																																																																																																																																																																																																																																																																																																																																																																																																																																																																																																																																																																																																																																																																																																																																																																																																																																																																																																																																																																																																																																																																																																																																																																																																																																																																																																																																																																																																																																																																																																																																																																																																																																																																																																																																																																																																																																																																																																																																																																																																																																																																																																																																																																																																																																																																																																																																																																																																																																																																																																																																																																																																																																																																																																																																																																																																																																																																																																																																																																																																																																																																																																																																																																																																																																																																																																																																																																																																																																																																																																																																																																																																																																																																																																																																																																																																																																																																																																																																																																																																																																																																																																																																																																																																																																																																																																																																																																																																																																																																																																																																																																																																																																																																																																																																																																																																																																																																																																																																																																																																																																																																																																																																																																																																																																																																												
(40) 1.7-(12) 段差防止 構造M																																																																																																																																																																																																																																																																																																																																																																																																																																																																																																																																																																																																																																																																																																																																																																																																																																																																																																																																																																																																																																																																																																																																																																																																																																																																																																																																																																																																																																																																																																																																																																																																																																																																																																																																																																																																																																																																																																																																																																																																																																																																																																																																																																																																																																																																																																																																																																																																																																																																																																																																																																																																																																																																																																																																																																																																																																																																																																																																																																																																																																																																																																																																																																																																																																																																																																																																																																																																																																																																																																																																																																																																																																																																																																																																																																																																																																																																																																																																																																																																																																																																																																																																																																																																																																																																																																																																																																																																																																																																																																																																																																																																																																																																																																																																																																																																																																																																																																																																																																																																																																																																																																																																																																																																																																																																																																																												
設置工																																																																																																																																																																																																																																																																																																																																																																																																																																																																																																																																																																																																																																																																																																																																																																																																																																																																																																																																																																																																																																																																																																																																																																																																																																																																																																																																																																																																																																																																																																																																																																																																																																																																																																																																																																																																																																																																																																																																																																																																																																																																																																																																																																																																																																																																																																																																																																																																																																																																																																																																																																																																																																																																																																																																																																																																																																																																																																																																																																																																																																																																																																																																																																																																																																																																																																																																																																																																																																																																																																																																																																																																																																																																																																																																																																																																																																																																																																																																																																																																																																																																																																																																																																																																																																																																																																																																																																																																																																																																																																																																																																																																																																																																																																																																																																																																																																																																																																																																																																																																																																																																																																																																																																																																																																																																																																																												
t																																																																																																																																																																																																																																																																																																																																																																																																																																																																																																																																																																																																																																																																																																																																																																																																																																																																																																																																																																																																																																																																																																																																																																																																																																																																																																																																																																																																																																																																																																																																																																																																																																																																																																																																																																																																																																																																																																																																																																																																																																																																																																																																																																																																																																																																																																																																																																																																																																																																																																																																																																																																																																																																																																																																																																																																																																																																																																																																																																																																																																																																																																																																																																																																																																																																																																																																																																																																																																																																																																																																																																																																																																																																																																																																																																																																																																																																																																																																																																																																																																																																																																																																																																																																																																																																																																																																																																																																																																																																																																																																																																																																																																																																																																																																																																																																																																																																																																																																																																																																																																																																																																																																																																																																																																																																																																																												
2.670																																																																																																																																																																																																																																																																																																																																																																																																																																																																																																																																																																																																																																																																																																																																																																																																																																																																																																																																																																																																																																																																																																																																																																																																																																																																																																																																																																																																																																																																																																																																																																																																																																																																																																																																																																																																																																																																																																																																																																																																																																																																																																																																																																																																																																																																																																																																																																																																																																																																																																																																																																																																																																																																																																																																																																																																																																																																																																																																																																																																																																																																																																																																																																																																																																																																																																																																																																																																																																																																																																																																																																																																																																																																																																																																																																																																																																																																																																																																																																																																																																																																																																																																																																																																																																																																																																																																																																																																																																																																																																																																																																																																																																																																																																																																																																																																																																																																																																																																																																																																																																																																																																																																																																																																																																																																																																																												
1.941																																																																																																																																																																																																																																																																																																																																																																																																																																																																																																																																																																																																																																																																																																																																																																																																																																																																																																																																																																																																																																																																																																																																																																																																																																																																																																																																																																																																																																																																																																																																																																																																																																																																																																																																																																																																																																																																																																																																																																																																																																																																																																																																																																																																																																																																																																																																																																																																																																																																																																																																																																																																																																																																																																																																																																																																																																																																																																																																																																																																																																																																																																																																																																																																																																																																																																																																																																																																																																																																																																																																																																																																																																																																																																																																																																																																																																																																																																																																																																																																																																																																																																																																																																																																																																																																																																																																																																																																																																																																																																																																																																																																																																																																																																																																																																																																																																																																																																																																																																																																																																																																																																																																																																																																																																																																																																																												
4.611																																																																																																																																																																																																																																																																																																																																																																																																																																																																																																																																																																																																																																																																																																																																																																																																																																																																																																																																																																																																																																																																																																																																																																																																																																																																																																																																																																																																																																																																																																																																																																																																																																																																																																																																																																																																																																																																																																																																																																																																																																																																																																																																																																																																																																																																																																																																																																																																																																																																																																																																																																																																																																																																																																																																																																																																																																																																																																																																																																																																																																																																																																																																																																																																																																																																																																																																																																																																																																																																																																																																																																																																																																																																																																																																																																																																																																																																																																																																																																																																																																																																																																																																																																																																																																																																																																																																																																																																																																																																																																																																																																																																																																																																																																																																																																																																																																																																																																																																																																																																																																																																																																																																																																																																																																																																																																																												
2.672																																																																																																																																																																																																																																																																																																																																																																																																																																																																																																																																																																																																																																																																																																																																																																																																																																																																																																																																																																																																																																																																																																																																																																																																																																																																																																																																																																																																																																																																																																																																																																																																																																																																																																																																																																																																																																																																																																																																																																																																																																																																																																																																																																																																																																																																																																																																																																																																																																																																																																																																																																																																																																																																																																																																																																																																																																																																																																																																																																																																																																																																																																																																																																																																																																																																																																																																																																																																																																																																																																																																																																																																																																																																																																																																																																																																																																																																																																																																																																																																																																																																																																																																																																																																																																																																																																																																																																																																																																																																																																																																																																																																																																																																																																																																																																																																																																																																																																																																																																																																																																																																																																																																																																																																																																																																																																																												
1.941																																																																																																																																																																																																																																																																																																																																																																																																																																																																																																																																																																																																																																																																																																																																																																																																																																																																																																																																																																																																																																																																																																																																																																																																																																																																																																																																																																																																																																																																																																																																																																																																																																																																																																																																																																																																																																																																																																																																																																																																																																																																																																																																																																																																																																																																																																																																																																																																																																																																																																																																																																																																																																																																																																																																																																																																																																																																																																																																																																																																																																																																																																																																																																																																																																																																																																																																																																																																																																																																																																																																																																																																																																																																																																																																																																																																																																																																																																																																																																																																																																																																																																																																																																																																																																																																																																																																																																																																																																																																																																																																																																																																																																																																																																																																																																																																																																																																																																																																																																																																																																																																																																																																																																																																																																																																																																																												
4.612																																																																																																																																																																																																																																																																																																																																																																																																																																																																																																																																																																																																																																																																																																																																																																																																																																																																																																																																																																																																																																																																																																																																																																																																																																																																																																																																																																																																																																																																																																																																																																																																																																																																																																																																																																																																																																																																																																																																																																																																																																																																																																																																																																																																																																																																																																																																																																																																																																																																																																																																																																																																																																																																																																																																																																																																																																																																																																																																																																																																																																																																																																																																																																																																																																																																																																																																																																																																																																																																																																																																																																																																																																																																																																																																																																																																																																																																																																																																																																																																																																																																																																																																																																																																																																																																																																																																																																																																																																																																																																																																																																																																																																																																																																																																																																																																																																																																																																																																																																																																																																																																																																																																																																																																																																																																																																																												
9.224																																																																																																																																																																																																																																																																																																																																																																																																																																																																																																																																																																																																																																																																																																																																																																																																																																																																																																																																																																																																																																																																																																																																																																																																																																																																																																																																																																																																																																																																																																																																																																																																																																																																																																																																																																																																																																																																																																																																																																																																																																																																																																																																																																																																																																																																																																																																																																																																																																																																																																																																																																																																																																																																																																																																																																																																																																																																																																																																																																																																																																																																																																																																																																																																																																																																																																																																																																																																																																																																																																																																																																																																																																																																																																																																																																																																																																																																																																																																																																																																																																																																																																																																																																																																																																																																																																																																																																																																																																																																																																																																																																																																																																																																																																																																																																																																																																																																																																																																																																																																																																																																																																																																																																																																																																																																																																																												
76.043																																																																																																																																																																																																																																																																																																																																																																																																																																																																																																																																																																																																																																																																																																																																																																																																																																																																																																																																																																																																																																																																																																																																																																																																																																																																																																																																																																																																																																																																																																																																																																																																																																																																																																																																																																																																																																																																																																																																																																																																																																																																																																																																																																																																																																																																																																																																																																																																																																																																																																																																																																																																																																																																																																																																																																																																																																																																																																																																																																																																																																																																																																																																																																																																																																																																																																																																																																																																																																																																																																																																																																																																																																																																																																																																																																																																																																																																																																																																																																																																																																																																																																																																																																																																																																																																																																																																																																																																																																																																																																																																																																																																																																																																																																																																																																																																																																																																																																																																																																																																																																																																																																																																																																																																																																																																																																																												
(40) 1.7-(12) 段差防止 構造M																																																																																																																																																																																																																																																																																																																																																																																																																																																																																																																																																																																																																																																																																																																																																																																																																																																																																																																																																																																																																																																																																																																																																																																																																																																																																																																																																																																																																																																																																																																																																																																																																																																																																																																																																																																																																																																																																																																																																																																																																																																																																																																																																																																																																																																																																																																																																																																																																																																																																																																																																																																																																																																																																																																																																																																																																																																																																																																																																																																																																																																																																																																																																																																																																																																																																																																																																																																																																																																																																																																																																																																																																																																																																																																																																																																																																																																																																																																																																																																																																																																																																																																																																																																																																																																																																																																																																																																																																																																																																																																																																																																																																																																																																																																																																																																																																																																																																																																																																																																																																																																																																																																																																																																																																																																																																																																												
設置工																																																																																																																																																																																																																																																																																																																																																																																																																																																																																																																																																																																																																																																																																																																																																																																																																																																																																																																																																																																																																																																																																																																																																																																																																																																																																																																																																																																																																																																																																																																																																																																																																																																																																																																																																																																																																																																																																																																																																																																																																																																																																																																																																																																																																																																																																																																																																																																																																																																																																																																																																																																																																																																																																																																																																																																																																																																																																																																																																																																																																																																																																																																																																																																																																																																																																																																																																																																																																																																																																																																																																																																																																																																																																																																																																																																																																																																																																																																																																																																																																																																																																																																																																																																																																																																																																																																																																																																																																																																																																																																																																																																																																																																																																																																																																																																																																																																																																																																																																																																																																																																																																																																																																																																																																																																																																																																												
t																																																																																																																																																																																																																																																																																																																																																																																																																																																																																																																																																																																																																																																																																																																																																																																																																																																																																																																																																																																																																																																																																																																																																																																																																																																																																																																																																																																																																																																																																																																																																																																																																																																																																																																																																																																																																																																																																																																																																																																																																																																																																																																																																																																																																																																																																																																																																																																																																																																																																																																																																																																																																																																																																																																																																																																																																																																																																																																																																																																																																																																																																																																																																																																																																																																																																																																																																																																																																																																																																																																																																																																																																																																																																																																																																																																																																																																																																																																																																																																																																																																																																																																																																																																																																																																																																																																																																																																																																																																																																																																																																																																																																																																																																																																																																																																																																																																																																																																																																																																																																																																																																																																																																																																																																																																																																																																												
2.670																																																																																																																																																																																																																																																																																																																																																																																																																																																																																																																																																																																																																																																																																																																																																																																																																																																																																																																																																																																																																																																																																																																																																																																																																																																																																																																																																																																																																																																																																																																																																																																																																																																																																																																																																																																																																																																																																																																																																																																																																																																																																																																																																																																																																																																																																																																																																																																																																																																																																																																																																																																																																																																																																																																																																																																																																																																																																																																																																																																																																																																																																																																																																																																																																																																																																																																																																																																																																																																																																																																																																																																																																																																																																																																																																																																																																																																																																																																																																																																																																																																																																																																																																																																																																																																																																																																																																																																																																																																																																																																																																																																																																																																																																																																																																																																																																																																																																																																																																																																																																																																																																																																																																																																																																																																																																																																												
1.941																																																																																																																																																																																																																																																																																																																																																																																																																																																																																																																																																																																																																																																																																																																																																																																																																																																																																																																																																																																																																																																																																																																																																																																																																																																																																																																																																																																																																																																																																																																																																																																																																																																																																																																																																																																																																																																																																																																																																																																																																																																																																																																																																																																																																																																																																																																																																																																																																																																																																																																																																																																																																																																																																																																																																																																																																																																																																																																																																																																																																																																																																																																																																																																																																																																																																																																																																																																																																																																																																																																																																																																																																																																																																																																																																																																																																																																																																																																																																																																																																																																																																																																																																																																																																																																																																																																																																																																																																																																																																																																																																																																																																																																																																																																																																																																																																																																																																																																																																																																																																																																																																																																																																																																																																																																																																																																												
4.611																																																																																																																																																																																																																																																																																																																																																																																																																																																																																																																																																																																																																																																																																																																																																																																																																																																																																																																																																																																																																																																																																																																																																																																																																																																																																																																																																																																																																																																																																																																																																																																																																																																																																																																																																																																																																																																																																																																																																																																																																																																																																																																																																																																																																																																																																																																																																																																																																																																																																																																																																																																																																																																																																																																																																																																																																																																																																																																																																																																																																																																																																																																																																																																																																																																																																																																																																																																																																																																																																																																																																																																																																																																																																																																																																																																																																																																																																																																																																																																																																																																																																																																																																																																																																																																																																																																																																																																																																																																																																																																																																																																																																																																																																																																																																																																																																																																																																																																																																																																																																																																																																																																																																																																																																																																																																																																												
2.672																																																																																																																																																																																																																																																																																																																																																																																																																																																																																																																																																																																																																																																																																																																																																																																																																																																																																																																																																																																																																																																																																																																																																																																																																																																																																																																																																																																																																																																																																																																																																																																																																																																																																																																																																																																																																																																																																																																																																																																																																																																																																																																																																																																																																																																																																																																																																																																																																																																																																																																																																																																																																																																																																																																																																																																																																																																																																																																																																																																																																																																																																																																																																																																																																																																																																																																																																																																																																																																																																																																																																																																																																																																																																																																																																																																																																																																																																																																																																																																																																																																																																																																																																																																																																																																																																																																																																																																																																																																																																																																																																																																																																																																																																																																																																																																																																																																																																																																																																																																																																																																																																																																																																																																																																																																																																																																												
1.941																																																																																																																																																																																																																																																																																																																																																																																																																																																																																																																																																																																																																																																																																																																																																																																																																																																																																																																																																																																																																																																																																																																																																																																																																																																																																																																																																																																																																																																																																																																																																																																																																																																																																																																																																																																																																																																																																																																																																																																																																																																																																																																																																																																																																																																																																																																																																																																																																																																																																																																																																																																																																																																																																																																																																																																																																																																																																																																																																																																																																																																																																																																																																																																																																																																																																																																																																																																																																																																																																																																																																																																																																																																																																																																																																																																																																																																																																																																																																																																																																																																																																																																																																																																																																																																																																																																																																																																																																																																																																																																																																																																																																																																																																																																																																																																																																																																																																																																																																																																																																																																																																																																																																																																																																																																																																																																												
4.612																																																																																																																																																																																																																																																																																																																																																																																																																																																																																																																																																																																																																																																																																																																																																																																																																																																																																																																																																																																																																																																																																																																																																																																																																																																																																																																																																																																																																																																																																																																																																																																																																																																																																																																																																																																																																																																																																																																																																																																																																																																																																																																																																																																																																																																																																																																																																																																																																																																																																																																																																																																																																																																																																																																																																																																																																																																																																																																																																																																																																																																																																																																																																																																																																																																																																																																																																																																																																																																																																																																																																																																																																																																																																																																																																																																																																																																																																																																																																																																																																																																																																																																																																																																																																																																																																																																																																																																																																																																																																																																																																																																																																																																																																																																																																																																																																																																																																																																																																																																																																																																																																																																																																																																																																																																																																																																												
9.224																																																																																																																																																																																																																																																																																																																																																																																																																																																																																																																																																																																																																																																																																																																																																																																																																																																																																																																																																																																																																																																																																																																																																																																																																																																																																																																																																																																																																																																																																																																																																																																																																																																																																																																																																																																																																																																																																																																																																																																																																																																																																																																																																																																																																																																																																																																																																																																																																																																																																																																																																																																																																																																																																																																																																																																																																																																																																																																																																																																																																																																																																																																																																																																																																																																																																																																																																																																																																																																																																																																																																																																																																																																																																																																																																																																																																																																																																																																																																																																																																																																																																																																																																																																																																																																																																																																																																																																																																																																																																																																																																																																																																																																																																																																																																																																																																																																																																																																																																																																																																																																																																																																																																																																																																																																																																																																												
76.043																																																																																																																																																																																																																																																																																																																																																																																																																																																																																																																																																																																																																																																																																																																																																																																																																																																																																																																																																																																																																																																																																																																																																																																																																																																																																																																																																																																																																																																																																																																																																																																																																																																																																																																																																																																																																																																																																																																																																																																																																																																																																																																																																																																																																																																																																																																																																																																																																																																																																																																																																																																																																																																																																																																																																																																																																																																																																																																																																																																																																																																																																																																																																																																																																																																																																																																																																																																																																																																																																																																																																																																																																																																																																																																																																																																																																																																																																																																																																																																																																																																																																																																																																																																																																																																																																																																																																																																																																																																																																																																																																																																																																																																																																																																																																																																																																																																																																																																																																																																																																																																																																																																																																																																																																																																																																																																												
(40) 1.7-(12) 段差防止 構造M																																																																																																																																																																																																																																																																																																																																																																																																																																																																																																																																																																																																																																																																																																																																																																																																																																																																																																																																																																																																																																																																																																																																																																																																																																																																																																																																																																																																																																																																																																																																																																																																																																																																																																																																																																																																																																																																																																																																																																																																																																																																																																																																																																																																																																																																																																																																																																																																																																																																																																																																																																																																																																																																																																																																																																																																																																																																																																																																																																																																																																																																																																																																																																																																																																																																																																																																																																																																																																																																																																																																																																																																																																																																																																																																																																																																																																																																																																																																																																																																																																																																																																																																																																																																																																																																																																																																																																																																																																																																																																																																																																																																																																																																																																																																																																																																																																																																																																																																																																																																																																																																																																																																																																																																																																																																																																																												
設置工																																																																																																																																																																																																																																																																																																																																																																																																																																																																																																																																																																																																																																																																																																																																																																																																																																																																																																																																																																																																																																																																																																																																																																																																																																																																																																																																																																																																																																																																																																																																																																																																																																																																																																																																																																																																																																																																																																																																																																																																																																																																																																																																																																																																																																																																																																																																																																																																																																																																																																																																																																																																																																																																																																																																																																																																																																																																																																																																																																																																																																																																																																																																																																																																																																																																																																																																																																																																																																																																																																																																																																																																																																																																																																																																																																																																																																																																																																																																																																																																																																																																																																																																																																																																																																																																																																																																																																																																																																																																																																																																																																																																																																																																																																																																																																																																																																																																																																																																																																																																																																																																																																																																																																																																																																																																																																																												
t																																																																																																																																																																																																																																																																																																																																																																																																																																																																																																																																																																																																																																																																																																																																																																																																																																																																																																																																																																																																																																																																																																																																																																																																																																																																																																																																																																																																																																																																																																																																																																																																																																																																																																																																																																																																																																																																																																																																																																																																																																																																																																																																																																																																																																																																																																																																																																																																																																																																																																																																																																																																																																																																																																																																																																																																																																																																																																																																																																																																																																																																																																																																																																																																																																																																																																																																																																																																																																																																																																																																																																																																																																																																																																																																																																																																																																																																																																																																																																																																																																																																																																																																																																																																																																																																																																																																																																																																																																																																																																																																																																																																																																																																																																																																																																																																																																																																																																																																																																																																																																																																																																																																																																																																																																																																																																																												
2.670																																																																																																																																																																																																																																																																																																																																																																																																																																																																																																																																																																																																																																																																																																																																																																																																																																																																																																																																																																																																																																																																																																																																																																																																																																																																																																																																																																																																																																																																																																																																																																																																																																																																																																																																																																																																																																																																																																																																																																																																																																																																																																																																																																																																																																																																																																																																																																																																																																																																																																																																																																																																																																																																																																																																																																																																																																																																																																																																																																																																																																																																																																																																																																																																																																																																																																																																																																																																																																																																																																																																																																																																																																																																																																																																																																																																																																																																																																																																																																																																																																																																																																																																																																																																																																																																																																																																																																																																																																																																																																																																																																																																																																																																																																																																																																																																																																																																																																																																																																																																																																																																																																																																																																																																																																																																																																																												
1.941																																																																																																																																																																																																																																																																																																																																																																																																																																																																																																																																																																																																																																																																																																																																																																																																																																																																																																																																																																																																																																																																																																																																																																																																																																																																																																																																																																																																																																																																																																																																																																																																																																																																																																																																																																																																																																																																																																																																																																																																																																																																																																																																																																																																																																																																																																																																																																																																																																																																																																																																																																																																																																																																																																																																																																																																																																																																																																																																																																																																																																																																																																																																																																																																																																																																																																																																																																																																																																																																																																																																																																																																																																																																																																																																																																																																																																																																																																																																																																																																																																																																																																																																																																																																																																																																																																																																																																																																																																																																																																																																																																																																																																																																																																																																																																																																																																																																																																																																																																																																																																																																																																																																																																																																																																																																																																																												
4.611																																																																																																																																																																																																																																																																																																																																																																																																																																																																																																																																																																																																																																																																																																																																																																																																																																																																																																																																																																																																																																																																																																																																																																																																																																																																																																																																																																																																																																																																																																																																																																																																																																																																																																																																																																																																																																																																																																																																																																																																																																																																																																																																																																																																																																																																																																																																																																																																																																																																																																																																																																																																																																																																																																																																																																																																																																																																																																																																																																																																																																																																																																																																																																																																																																																																																																																																																																																																																																																																																																																																																																																																																																																																																																																																																																																																																																																																																																																																																																																																																																																																																																																																																																																																																																																																																																																																																																																																																																																																																																																																																																																																																																																																																																																																																																																																																																																																																																																																																																																																																																																																																																																																																																																																																																																																																																																												
2.672																																																																																																																																																																																																																																																																																																																																																																																																																																																																																																																																																																																																																																																																																																																																																																																																																																																																																																																																																																																																																																																																																																																																																																																																																																																																																																																																																																																																																																																																																																																																																																																																																																																																																																																																																																																																																																																																																																																																																																																																																																																																																																																																																																																																																																																																																																																																																																																																																																																																																																																																																																																																																																																																																																																																																																																																																																																																																																																																																																																																																																																																																																																																																																																																																																																																																																																																																																																																																																																																																																																																																																																																																																																																																																																																																																																																																																																																																																																																																																																																																																																																																																																																																																																																																																																																																																																																																																																																																																																																																																																																																																																																																																																																																																																																																																																																																																																																																																																																																																																																																																																																																																																																																																																																																																																																																																																												
1.941																																																																																																																																																																																																																																																																																																																																																																																																																																																																																																																																																																																																																																																																																																																																																																																																																																																																																																																																																																																																																																																																																																																																																																																																																																																																																																																																																																																																																																																																																																																																																																																																																																																																																																																																																																																																																																																																																																																																																																																																																																																																																																																																																																																																																																																																																																																																																																																																																																																																																																																																																																																																																																																																																																																																																																																																																																																																																																																																																																																																																																																																																																																																																																																																																																																																																																																																																																																																																																																																																																																																																																																																																																																																																																																																																																																																																																																																																																																																																																																																																																																																																																																																																																																																																																																																																																																																																																																																																																																																																																																																																																																																																																																																																																																																																																																																																																																																																																																																																																																																																																																																																																																																																																																																																																																																																																																												
4.612																																																																																																																																																																																																																																																																																																																																																																																																																																																																																																																																																																																																																																																																																																																																																																																																																																																																																																																																																																																																																																																																																																																																																																																																																																																																																																																																																																																																																																																																																																																																																																																																																																																																																																																																																																																																																																																																																																																																																																																																																																																																																																																																																																																																																																																																																																																																																																																																																																																																																																																																																																																																																																																																																																																																																																																																																																																																																																																																																																																																																																																																																																																																																																																																																																																																																																																																																																																																																																																																																																																																																																																																																																																																																																																																																																																																																																																																																																																																																																																																																																																																																																																																																																																																																																																																																																																																																																																																																																																																																																																																																																																																																																																																																																																																																																																																																																																																																																																																																																																																																																																																																																																																																																																																																																																																																																																												
9.224																																																																																																																																																																																																																																																																																																																																																																																																																																																																																																																																																																																																																																																																																																																																																																																																																																																																																																																																																																																																																																																																																																																																																																																																																																																																																																																																																																																																																																																																																																																																																																																																																																																																																																																																																																																																																																																																																																																																																																																																																																																																																																																																																																																																																																																																																																																																																																																																																																																																																																																																																																																																																																																																																																																																																																																																																																																																																																																																																																																																																																																																																																																																																																																																																																																																																																																																																																																																																																																																																																																																																																																																																																																																																																																																																																																																																																																																																																																																																																																																																																																																																																																																																																																																																																																																																																																																																																																																																																																																																																																																																																																																																																																																																																																																																																																																																																																																																																																																																																																																																																																																																																																																																																																																																																																																																																																												
76.0																																																																																																																																																																																																																																																																																																																																																																																																																																																																																																																																																																																																																																																																																																																																																																																																																																																																																																																																																																																																																																																																																																																																																																																																																																																																																																																																																																																																																																																																																																																																																																																																																																																																																																																																																																																																																																																																																																																																																																																																																																																																																																																																																																																																																																																																																																																																																																																																																																																																																																																																																																																																																																																																																																																																																																																																																																																																																																																																																																																																																																																																																																																																																																																																																																																																																																																																																																																																																																																																																																																																																																																																																																																																																																																																																																																																																																																																																																																																																																																																																																																																																																																																																																																																																																																																																																																																																																																																																																																																																																																																																																																																																																																																																																																																																																																																																																																																																																																																																																																																																																																																																																																																																																																																																																																																																																																												

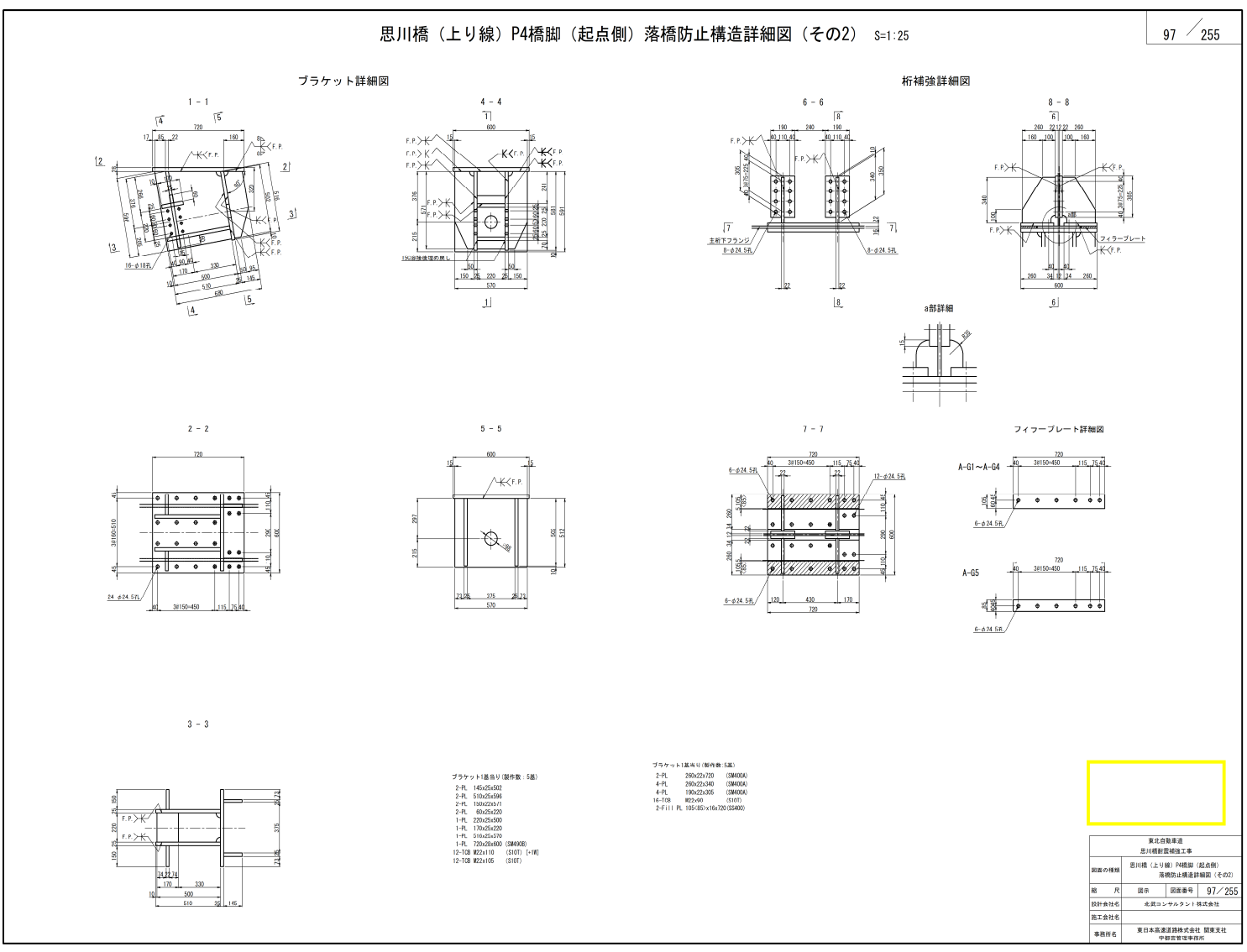
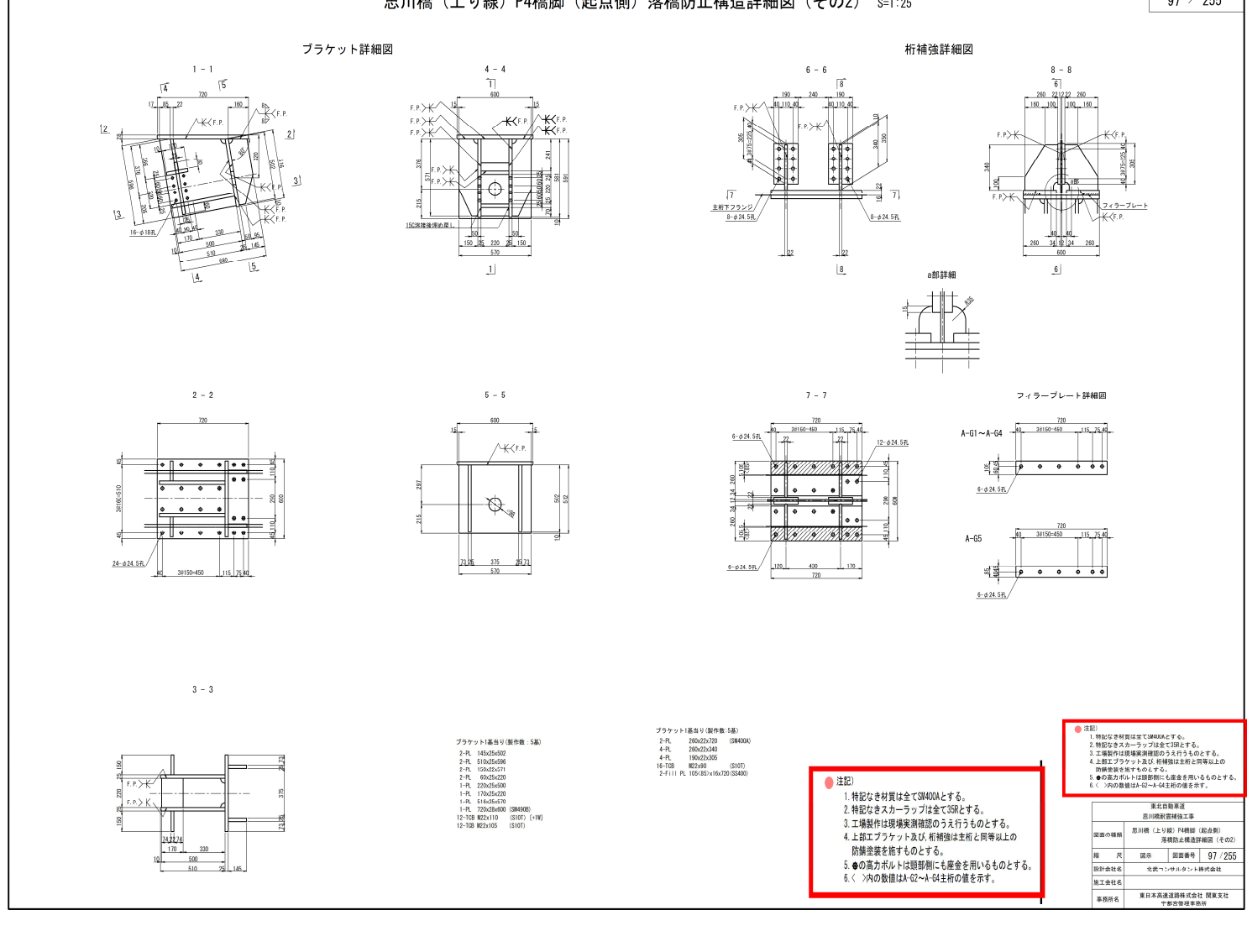
対象	設計図 数量総括表 (その5) (6/6)																																																																																																																																																																																																																																																																																																																																																																																																																																																																																																																																																																																																																																																																																																																																																																																																																																																																																																																																																																																																																																																																																																																																																																																																																																																																																																																																																																																																																																																																																																																																																																																																																																																																																																																																																																																																																																																																																																																																																																																																																																							
誤	<p style="text-align: right;">6 / 6</p> <table border="1" style="width: 100%; border-collapse: collapse;"> <thead> <tr> <th colspan="17">数量総括表 (その5)</th> </tr> <tr> <th rowspan="3">橋梁名 称</th> <th rowspan="3">上り線 下り線</th> <th rowspan="3">区分</th> <th colspan="2">項目</th> <th>(81)</th><th>(82)</th><th>(83)</th><th>(84)</th><th>(85)</th><th>(86)</th><th>(87)</th><th>(88)</th><th>(89)</th><th>(90)</th><th>(91)</th><th>(92)</th><th>(93)</th><th>(94)</th><th>(95)</th><th>(96)</th> </tr> <tr> <th colspan="2">特-(2)</th> <th>特-(3)</th><th>特-(4)</th> <th>特-(5)</th><th>特-(6)</th><th>特-(7)</th><th>特-(8)</th><th>特-(9)</th><th>特-(10)</th><th>特-(11)</th><th>特-(12)</th><th>特-(13)</th><th>特-(14)</th><th>特-(15)</th><th>特-(16)</th><th>特-(17)</th><th>特-(18)</th><th>特-(19)</th> </tr> <tr> <th colspan="2"></th> <th colspan="2">水平力分担構造</th> <th colspan="2">鋼製ブリッジ</th> <th colspan="2">仮受ブリッジ</th> <th colspan="2">ケット</th> <th colspan="2">鞍受ブリッジ</th> <th colspan="2">鞍受ケット</th> <th colspan="2">鞍受工</th> <th colspan="2">橋面補強工</th> <th colspan="2">工事用道路</th> <th colspan="2">あと施工アンカーアーク</th> </tr> <tr> <th colspan="2"></th> </tr> <tr> <th colspan="2"></th> </tr> <tr> <th colspan="2"></th> </tr> <tr> <th colspan="2"></th> </tr> <tr> <th colspan="2"></th> </tr> <tr> <th colspan="2"></th> </tr> <tr> <th colspan="2"></th> </tr> <tr> <th colspan="2"></th> </tr> <tr> <th colspan="2"></th> </tr> <tr> <th colspan="2"></th> </tr> <tr> <th colspan="2"></th> </tr> <tr> <th colspan="2"></th> </tr> <tr> <th colspan="2"></th> </tr> <tr> <th colspan="2"></th> </tr> <tr> <th colspan="2"></th> </tr> <tr> <th colspan="2"></th> </tr> <tr> <th colspan="2"></th> </tr> <tr> <th colspan="2"></th> </tr> <tr> <th colspan="2"></th> </tr> <tr> <th colspan="2"></th> </tr> <tr> <th colspan="2"></th> </tr> <tr> <th colspan="2"></th> </tr> <tr> <th colspan="2"></th> </tr> <tr> <th colspan="2"></th> </tr> <tr> <th colspan="2"></th> </tr> <tr> <th colspan="2"></th> </tr> <tr> <th colspan="2"></th> </tr> <tr> <th colspan="2"></th> </tr> <tr> <th colspan="2"></th> </tr> <tr> <th colspan="2"></th> </tr> <tr> <th colspan="2"></th> </tr> <tr> <th colspan="2"></th> </tr> <tr> <th colspan="2"></th> </tr> <tr> <th colspan="2"></th> </tr> <tr> <th colspan="2"></th> </tr> <tr> <th colspan="2"></th> </tr> <tr> <th colspan="2"></th> </tr> <tr> <th colspan="2"></th> </tr> <tr> <th colspan="2"></th> </tr> <tr> <th colspan="2"></th> </tr> <tr> <th colspan="2"></th> </tr> <tr> <th colspan="2"></th> </tr> <tr> <th colspan="2"></th> </tr> <tr> <th colspan="2"></th> </tr> <tr> <th colspan="2"></th> </tr> <tr> <th colspan="2"></th> </tr> <tr> <th colspan="2"></th> </tr> <tr> <th colspan="2"></th> </tr> <tr> <th colspan="2"></th> </tr> <tr> <th colspan="2"></th> </tr> <tr> <th colspan="2"></th> </tr> <tr> <th colspan="2"></th> </tr> <tr> <th colspan="2"></th> </tr> <tr> <th colspan="2"></th> </tr> <tr> <th colspan="2"></th> </tr> <tr> <th colspan="2"></th> </tr> <tr> <th colspan="2"></th> </tr> <tr> <th colspan="2"></th> </tr> <tr> <th colspan="2"></th> </tr> <tr> <th colspan="2"></th> </tr> <tr> <th colspan="2"></th> </tr> <tr> <th colspan="2"></th> </tr> <tr> <th colspan="2"></th> </tr> <tr> <th colspan="2"></th> </tr> <tr> <th colspan="2"></th> </tr> <tr> <th colspan="2"></th> </tr> <tr> <th colspan="2"></th> </tr> <tr> <th colspan="2"></th> </tr> <tr> <th colspan="2"></th> </tr> <tr> <th colspan="2"></th> </tr> <tr> <th colspan="2"></th> </tr> <tr> <th colspan="2"></th> </tr> <tr> <th colspan="2"></th> </tr> <tr> <th colspan="2"></th> </tr> <tr> <th colspan="2"></th> </tr> <tr> <th colspan="2"></th> </tr> <tr> <th colspan="2"></th> </tr> <tr> <th colspan="2"></th> </tr> <tr> <th colspan="2"></th> </tr> <tr> <th colspan="2"></th> </tr> <tr> <th colspan="2"></th> </tr> <tr> <th colspan="2"></th> </tr> <tr> <th colspan="2"></th> </tr> <tr> <th colspan="2"></th> </tr> <tr> <th colspan="2"></th> </tr> <tr> <th colspan="2"></th> <th colspan="2"></th> <th colspan="2"></th> <th colspan="2"></th</th></tr></thead></table>	数量総括表 (その5)																	橋梁名 称	上り線 下り線	区分	項目		(81)	(82)	(83)	(84)	(85)	(86)	(87)	(88)	(89)	(90)	(91)	(92)	(93)	(94)	(95)	(96)	特-(2)		特-(3)	特-(4)	特-(5)	特-(6)	特-(7)	特-(8)	特-(9)	特-(10)	特-(11)	特-(12)	特-(13)	特-(14)	特-(15)	特-(16)	特-(17)	特-(18)	特-(19)			水平力分担構造		鋼製ブリッジ		仮受ブリッジ		ケット		鞍受ブリッジ		鞍受ケット		鞍受工		橋面補強工		工事用道路		あと施工アンカーアーク																																																																																																																																																																																																																																																																																																																																																																																																																																																																																																																																																																																																																																																																																																																																																																																																																																																																																																																																																																																																																																																																																																																																																																																																																																																																																																																																																																																																																																																																																																																																																																																																																																																																																																																																																																																																																																																																																																																																																								</th	
数量総括表 (その5)																																																																																																																																																																																																																																																																																																																																																																																																																																																																																																																																																																																																																																																																																																																																																																																																																																																																																																																																																																																																																																																																																																																																																																																																																																																																																																																																																																																																																																																																																																																																																																																																																																																																																																																																																																																																																																																																																																																																																																																																																																								
橋梁名 称	上り線 下り線	区分	項目		(81)	(82)	(83)	(84)	(85)	(86)	(87)	(88)	(89)	(90)	(91)	(92)	(93)	(94)				(95)	(96)																																																																																																																																																																																																																																																																																																																																																																																																																																																																																																																																																																																																																																																																																																																																																																																																																																																																																																																																																																																																																																																																																																																																																																																																																																																																																																																																																																																																																																																																																																																																																																																																																																																																																																																																																																																																																																																																																																																																																																																																																	
			特-(2)		特-(3)	特-(4)	特-(5)	特-(6)	特-(7)	特-(8)	特-(9)	特-(10)	特-(11)	特-(12)	特-(13)	特-(14)	特-(15)	特-(16)	特-(17)	特-(18)	特-(19)																																																																																																																																																																																																																																																																																																																																																																																																																																																																																																																																																																																																																																																																																																																																																																																																																																																																																																																																																																																																																																																																																																																																																																																																																																																																																																																																																																																																																																																																																																																																																																																																																																																																																																																																																																																																																																																																																																																																																																																																																			
					水平力分担構造		鋼製ブリッジ		仮受ブリッジ		ケット		鞍受ブリッジ		鞍受ケット		鞍受工		橋面補強工		工事用道路		あと施工アンカーアーク																																																																																																																																																																																																																																																																																																																																																																																																																																																																																																																																																																																																																																																																																																																																																																																																																																																																																																																																																																																																																																																																																																																																																																																																																																																																																																																																																																																																																																																																																																																																																																																																																																																																																																																																																																																																																																																																																																																																																																																																																	
						</th																																																																																																																																																																																																																																																																																																																																																																																																																																																																																																																																																																																																																																																																																																																																																																																																																																																																																																																																																																																																																																																																																																																																																																																																																																																																																																																																																																																																																																																																																																																																																																																																																																																																																																																																																																																																																																																																																																																																																																																																																																		

対象	設計図 思川橋（上り線）A1橋台 落橋防止構造配置図（29/255）
誤	<p>思川橋（上り線）A1橋台 落橋防止構造配置図 S=1:100</p> <p>正面図 A-A 16297 4×3436 4-13746</p> <p>側面図 B-B P1 橋脚側 A1 橋脚側</p> <p>平面図 17122 4×3436 4-13746 水平力分担構造 A m=5基</p> <p>配置図 S=1:1000</p> <p>単価表の項目 単位 数量 備考 落橋防止構造 P1-1110(250) 本 5.0 350型 落橋防止構造 フルカーボン 75-61-775 本 100 横向き 鋼製ブレケット 設置 t 16.738 アンカーエド 35・385 本 120 下向き</p> <p>単価表の項目 単位 数量 備考 段差防止構造M 設置工 t 0.933</p> <p>単価表の項目 単位 数量 備考 落橋防止構造 P1-1110(250) 本 5.0 350型 落橋防止構造 フルカーボン 75-61-775 本 100 横向き 鋼製ブレケット 設置 t 16.738 アンカーエド 35・385 本 120 下向き</p> <p>単価表の項目 単位 数量 備考 段差防止構造M 設置工 t 0.933</p> <p>注記 1. アンカーボルト孔位置は現場実測後決定のこと。 2. コンクリート射出孔位置を各工程行い、既設鉄筋等を切削しないよう留意すること。</p> <p>図面の種類 東北自動車道 思川橋（上り線） A1橋台 落橋防止構造配置図 縮尺 1:100 図面番号 29 / 255</p> <p>設計会社名 北武コンツルタント株式会社 施工会社名 東日本高速道路株式会社 関東支社 事務所名 東日本高速道路株式会社 関東支社 学部管理事務所</p>
正	<p>思川橋（上り線）A1橋台 落橋防止構造配置図 S=1:100</p> <p>正面図 A-A 16297 4×3436 4-13746</p> <p>側面図 B-B P1 橋脚側 A1 橋脚側</p> <p>平面図 17122 4×3436 4-13746 水平力分担構造 A m=5基</p> <p>配置図 S=1:1000</p> <p>単価表の項目 単位 数量 備考 落橋防止構造 P1-1110(250) 本 5.0 350型 落橋防止構造 フルカーボン 75-61-775 本 100 横向き 鋼製ブレケット 設置 t 16.702 上部工種施工 上部工種施工 t 0.933</p> <p>単価表の項目 単位 数量 備考 落橋防止構造 P1-1110(250) 本 5.0 350型 落橋防止構造 フルカーボン 75-61-775 本 100 横向き 鋼製ブレケット 設置 t 16.702 上部工種施工 上部工種施工 t 0.933</p> <p>単価表の項目 単位 数量 備考 段差防止構造M 設置工 t 2.667 アンカーエド 35・385 本 120 下向き</p> <p>単価表の項目 単位 数量 備考 段差防止構造M 設置工 t 2.667 アンカーエド 35・385 本 120 下向き</p> <p>注記 1. アンカーボルト孔位置は現場実測後決定のこと。 2. コンクリート射出孔位置を各工程行い、既設鉄筋等を切削しないよう留意すること。</p> <p>図面の種類 東北自動車道 思川橋（上り線） A1橋台 落橋防止構造配置図 縮尺 1:100 図面番号 29 / 255</p> <p>設計会社名 北武コンツルタント株式会社 施工会社名 東日本高速道路株式会社 関東支社 事務所名 東日本高速道路株式会社 関東支社 学部管理事務所</p>
備考	単価表の誤り（思川橋 上り線 鋼製ブレケット設置、段差防止構造M設置工の数量）を訂正

対象	設計図 思川橋（上り線）P1橋脚 支承取替配置図(その1) (35/255)
誤	
正	
備考	単価表の誤り（思川橋 上り線 仮受ブラケット設置撤去の数量）を訂正

対象	設計図 思川橋（上り線）P2橋脚 支承取替配置図(その1) (50/255)
誤	<p>正面図 A - A</p> <p>正面図 B - B</p> <p>平面図</p> <p>側面図 C - C</p> <p>配置図 S=1:1000</p> <p>単価表の項目 単位 数量 備考 P2上り線 1 22.279</p> <p>仮受プラケット 設置撤去 t 1 139.5 横肉さ</p> <p>注記 1. アンカーボルト孔位置は現場実測後決定のこと。 2. コンクリート削孔は鉄筋探査等を実行。 既設鉄筋等を切削しないように注意すること。</p> <p>東北自動車道 思川橋高架工事 図面の種類 正面図 (上り線) P2橋脚 支承取替配置図 (その1) 縮尺 国示 国際規格番号 50/255 設計会社名 北武コンサルタンツ株式会社 施工会社名 事務所名 東日本高速道路株式会社 関東支社 〒都営管理事務所</p>
正	<p>正面図 A - A</p> <p>正面図 B - B</p> <p>平面図</p> <p>側面図 C - C</p> <p>配置図 S=1:1000</p> <p>単価表の項目 単位 数量 備考 P2上り線 1 22.279</p> <p>仮受プラケット 設置撤去 t 1 139.5 横肉さ</p> <p>注記 1. アンカーボルト孔位置は現場実測後決定のこと。 2. コンクリート削孔は鉄筋探査等を実行。 既設鉄筋等を切削しないように注意すること。</p> <p>東北自動車道 思川橋高架工事 図面の種類 正面図 (上り線) P2橋脚 支承取替配置図 (その1) 縮尺 国示 国際規格番号 50/255 設計会社名 北武コンサルタンツ株式会社 施工会社名 事務所名 東日本高速道路株式会社 関東支社 〒都営管理事務所</p>
備考	単価表の誤り（思川橋 上り線 仮受ブラケット設置撤去の数量）を訂正

対象	設計図 思川橋（上り線）P4橋脚 支承取替配置図(その2) (79/255)																								
誤	<p>思川橋（上り線）P4橋脚 支承取替配置図（その2） S=1:100 79 / 255</p> <table border="1"> <thead> <tr> <th>単価表の項目</th> <th>単位</th> <th>数量</th> <th>備考</th> </tr> </thead> <tbody> <tr> <td>支承取替工</td> <td>P4上り線</td> <td>基 5.0</td> <td>P3割</td> </tr> <tr> <td>E-4</td> <td></td> <td></td> <td></td> </tr> <tr> <td>E-5</td> <td></td> <td></td> <td></td> </tr> <tr> <td>上部工補強工</td> <td>t</td> <td>6.076</td> <td></td> </tr> <tr> <td>段差防止構造M設置工</td> <td>設置工</td> <td>t 1.941</td> <td>P3割</td> </tr> </tbody> </table> <p>単価表の項目 単位 数量 備考 支承取替工 P4上り線 基 5.0 P3割 E-4 E-5 上部工補強工 t 6.076 段差防止構造M設置工 t 1.941 P3割</p> <p>単価表の項目 単位 数量 備考 P1-1200 (200) 本 5.0 350型 P1-810 (200) " 5.0 350型 P2-1.051~1.75 " 150 梁向き 上部工補強工 t 1.722</p> <p>単価表の項目 単位 数量 備考 コンクリート m3 7.4 鋼筋組織工 #2 32.7 アンカーボルト φ39・445 本 122 横内合</p> <p>単価表の項目 単位 数量 備考 支承取替工 P4上り線 基 5.0 P3割 E-4 E-5 上部工補強工 t 6.076 段差防止構造M設置工 t 1.941 P3割</p> <p>単価表の項目 単位 数量 備考 P1-1200 (200) 本 5.0 350型 P1-810 (200) " 5.0 350型 P2-1.051~1.75 " 150 梁向き 上部工補強工 t 1.722</p> <p>単価表の項目 単位 数量 備考 コンクリート m3 7.4 鋼筋組織工 #2 32.7 アンカーボルト φ39・445 本 122 横内合</p> <p>単価表の項目 単位 数量 備考 支承取替工 P4上り線 基 5.0 P3割 E-4 E-5 上部工補強工 t 6.076 段差防止構造M設置工 t 1.941 P3割</p> <p>単価表の項目 単位 数量 備考 P1-1200 (200) 本 4.0 350型 P1-810 (200) " 5.0 350型 P2-1.051~1.75 " 150 横内合 上部工補強工 t 1.722</p> <p>単価表の項目 単位 数量 備考 コンクリート m3 7.4 鋼筋組織工 #2 32.7 アンカーボルト φ39・445 本 122 横内合</p> <p>単価表の項目 単位 数量 備考 支承取替工 P4上り線 基 5.0 P3割 E-4 E-5 上部工補強工 t 6.076 段差防止構造M設置工 t 1.941 P3割</p> <p>単価表の項目 単位 数量 備考 P1-1200 (200) 本 4.0 350型 P1-810 (200) " 5.0 350型 P2-1.051~1.75 " 150 横内合 上部工補強工 t 1.722</p> <p>単価表の項目 単位 数量 備考 コンクリート m3 7.4 鋼筋組織工 #2 32.7 アンカーボルト φ39・445 本 122 横内合</p> <p>注記 1. アンカーボルト取付位置は現場実測値決定のこと。 2. コンクリート材料は既存位置等を行い、既設鉄筋等を切削しないよう留意すること。</p> <p>東北自動車道 思川橋（上り線） 設計の種類 P4補強 支承取替配置図（その2） 規格 版式 国示 認定番号 79 / 255 設計会社名 北武コンサルタント株式会社 施工会社名 東日本高速道路株式会社 開東支社 事務所名 東日本高速道路株式会社 開東支社 〒350-0004</p>	単価表の項目	単位	数量	備考	支承取替工	P4上り線	基 5.0	P3割	E-4				E-5				上部工補強工	t	6.076		段差防止構造M設置工	設置工	t 1.941	P3割
単価表の項目	単位	数量	備考																						
支承取替工	P4上り線	基 5.0	P3割																						
E-4																									
E-5																									
上部工補強工	t	6.076																							
段差防止構造M設置工	設置工	t 1.941	P3割																						
正	<p>思川橋（上り線）P4橋脚 支承取替配置図（その2） S=1:100 79 / 255</p> <table border="1"> <thead> <tr> <th>単価表の項目</th> <th>単位</th> <th>数量</th> <th>備考</th> </tr> </thead> <tbody> <tr> <td>支承取替工</td> <td>P4上り線</td> <td>基 5.0</td> <td>P3割</td> </tr> <tr> <td>E-4</td> <td></td> <td></td> <td></td> </tr> <tr> <td>E-5</td> <td></td> <td></td> <td></td> </tr> <tr> <td>上部工補強工</td> <td>t</td> <td>6.076</td> <td></td> </tr> <tr> <td>段差防止構造M設置工</td> <td>設置工</td> <td>t 1.943</td> <td>P3割</td> </tr> </tbody> </table> <p>単価表の項目 単位 数量 備考 支承取替工 P4上り線 基 5.0 P3割 E-4 E-5 上部工補強工 t 6.076 段差防止構造M設置工 t 1.943 P3割</p> <p>単価表の項目 単位 数量 備考 P1-1200 (200) 本 5.0 350型 P1-810 (200) " 5.0 350型 P2-1.051~1.75 " 150 横内合 上部工補強工 t 1.722</p> <p>単価表の項目 単位 数量 備考 コンクリート m3 7.4 鋼筋組織工 #2 32.7 アンカーボルト φ39・445 本 122 横内合</p> <p>単価表の項目 単位 数量 備考 支承取替工 P4上り線 基 5.0 P3割 E-4 E-5 上部工補強工 t 6.076 段差防止構造M設置工 t 1.943 P3割</p> <p>単価表の項目 単位 数量 備考 P1-1200 (200) 本 4.0 350型 P1-810 (200) " 5.0 350型 P2-1.051~1.75 " 150 横内合 上部工補強工 t 1.722</p> <p>単価表の項目 単位 数量 備考 コンクリート m3 7.4 鋼筋組織工 #2 32.7 アンカーボルト φ39・445 本 122 横内合</p> <p>単価表の項目 単位 数量 備考 支承取替工 P4上り線 基 5.0 P3割 E-4 E-5 上部工補強工 t 6.076 段差防止構造M設置工 t 1.943 P3割</p> <p>単価表の項目 単位 数量 備考 P1-1200 (200) 本 4.0 350型 P1-810 (200) " 5.0 350型 P2-1.051~1.75 " 150 横内合 上部工補強工 t 1.722</p> <p>単価表の項目 単位 数量 備考 コンクリート m3 7.4 鋼筋組織工 #2 32.7 アンカーボルト φ39・445 本 122 横内合</p> <p>注記 1. アンカーボルト取付位置は現場実測値決定のこと。 2. コンクリート材料は既存位置等を行い、既設鉄筋等を切削しないよう留意すること。</p> <p>東北自動車道 思川橋（上り線） 設計の種類 P4補強 支承取替配置図（その2） 規格 版式 国示 認定番号 79 / 255 設計会社名 北武コンサルタント株式会社 施工会社名 東日本高速道路株式会社 開東支社 事務所名 東日本高速道路株式会社 開東支社 〒350-0004</p>	単価表の項目	単位	数量	備考	支承取替工	P4上り線	基 5.0	P3割	E-4				E-5				上部工補強工	t	6.076		段差防止構造M設置工	設置工	t 1.943	P3割
単価表の項目	単位	数量	備考																						
支承取替工	P4上り線	基 5.0	P3割																						
E-4																									
E-5																									
上部工補強工	t	6.076																							
段差防止構造M設置工	設置工	t 1.943	P3割																						
備考	単価表の誤り（思川橋 上り線 段差防止構造M設置工の数量）を訂正																								

対象	設計図 思川橋（上り線）P4橋脚（起点側）落橋防止構造詳細図（その2）（97/255）
誤	<p style="text-align: right;">97 / 255</p>  <div style="border: 1px solid black; padding: 5px; margin-top: 10px;"> 東北自動車道 思川橋（上り線）P4橋脚（起点側）落橋防止構造詳細図（その2） 図面の種類：落橋防止構造詳細図（その2） 規格：国際規格 計画会社名：北陸コンサルタント株式会社 施工会社名：東日本高速道路株式会社 関東支社 事務所名：中部営業部 </div>
正	<p style="text-align: right;">97 / 255</p>  <div style="border: 1px solid black; padding: 5px; margin-top: 10px;"> ●注記 1. 特記なき材質は全てSM400とする。 2. 特記なきスカラップは全て3Rとする。 3. 上部工は現場実測確認のうえ行うものとする。 4. 上部工ブレケット及び、桁補強は主桁と同等以上の防護塗装を施すものとする。 5. ◆の高力ボルトは斜面部側にも座金を用いるものとする。 6. <>内の数値はA-02～A-04主筋の値を示す。 </div> <div style="border: 1px solid black; padding: 5px; margin-top: 10px;"> 東北自動車道 思川橋（上り線）P4橋脚（起点側）落橋防止構造詳細図（その2） 図面の種類：落橋防止構造詳細図（その2） 規格：国際規格 計画会社名：北陸コンサルタント株式会社 施工会社名：東日本高速道路株式会社 関東支社 事務所名：中部営業部 </div>
備考	注記の追加

対象	設計図 思川橋（上り線）P5橋脚 支承取替配置図(その1) (106/255)
誤	
正	
備考	単価表の誤り（思川橋 上り線 仮受ブラケット設置撤去の数量）を訂正

対象	設計図 思川橋（下り線）A1橋台 落橋防止構造配置図（128/255）
誤	<p style="text-align: right;">128 / 255</p>
正	<p style="text-align: right;">128 / 255</p>
備考	<p>単価表の誤り（思川橋 下り線 段差防止構造M設置工、鋼製ブラケット設置の数量）を訂正</p>

対象	設計図 思川橋（下り線）P3橋脚 支承取替配置図(その1) (163/255)									
誤	<p>正面図 A-A</p> <p>正面図 B-B</p> <p>平面図</p> <p>側面図 C-C</p> <p>配置図 S=1:1000</p> <p>単価表の項目 単位 数量</p> <table border="1"> <tr> <td>仮受プラケット</td> <td>t</td> <td>17.819</td> </tr> <tr> <td>アンカーエボルト</td> <td>m</td> <td>139.5 横向き</td> </tr> <tr> <td>橋座補強工</td> <td>本</td> <td>60.0</td> </tr> </table> <p>注記 1. アンカーエボルトは既存は標準規格未定のこと。 2. コンクリート所引は既存規格等を行い、既設鉄筋等を切削しないように留意すること。</p> <p>東北自動車道 思川橋支承取替配置図 固面の種類 思川橋（下り線） 河床：河床高さ：163/255 設計会社名：北武コンサルタント株式会社 施工会社名：東日本道路株式会社 舟底支社 事務所名：東日本道路株式会社 舟底支社</p>	仮受プラケット	t	17.819	アンカーエボルト	m	139.5 横向き	橋座補強工	本	60.0
仮受プラケット	t	17.819								
アンカーエボルト	m	139.5 横向き								
橋座補強工	本	60.0								
正	<p>正面図 A-A</p> <p>正面図 B-B</p> <p>平面図</p> <p>側面図 C-C</p> <p>配置図 S=1:1000</p> <p>単価表の項目 単位 数量</p> <table border="1"> <tr> <td>仮受プラケット</td> <td>t</td> <td>17.801</td> </tr> <tr> <td>アンカーエボルト</td> <td>m</td> <td>139.5 横向き</td> </tr> <tr> <td>橋座補強工</td> <td>本</td> <td>60.0</td> </tr> </table> <p>注記 1. アンカーエボルト所引は既存規格未定のこと。 2. コンクリート所引は既存規格等を行い、既設鉄筋等を切削しないように留意すること。</p> <p>東北自動車道 思川橋支承取替配置図 固面の種類 思川橋（下り線） 河床：河床高さ：163/255 設計会社名：北武コンサルタント株式会社 施工会社名：東日本道路株式会社 舟底支社 事務所名：東日本道路株式会社 舟底支社</p>	仮受プラケット	t	17.801	アンカーエボルト	m	139.5 横向き	橋座補強工	本	60.0
仮受プラケット	t	17.801								
アンカーエボルト	m	139.5 横向き								
橋座補強工	本	60.0								
備考	単価表の誤り（思川橋 下り線 仮受プラケット設置撤去の数量）を訂正									

対象	設計図 思川橋（下り線）P4橋脚（起点側）落橋防止構造詳細図（その2）（194/255）
誤	
正	<p>注記)</p> <ol style="list-style-type: none"> 特記なき材質は全てS400とする。 特記なきスカラップは全て35Rとする。 工場製作は現場実測確認のうえ行うものとする。 上部工 ブラケット及び 柄補強は上板と同等以上の防錆塗装を施すものとする。 ※の高力ボルトは頭部側にも底金を用いるものとする。 く内の数値はA-62～A-64生析の値を示す。
備考	注記の追加

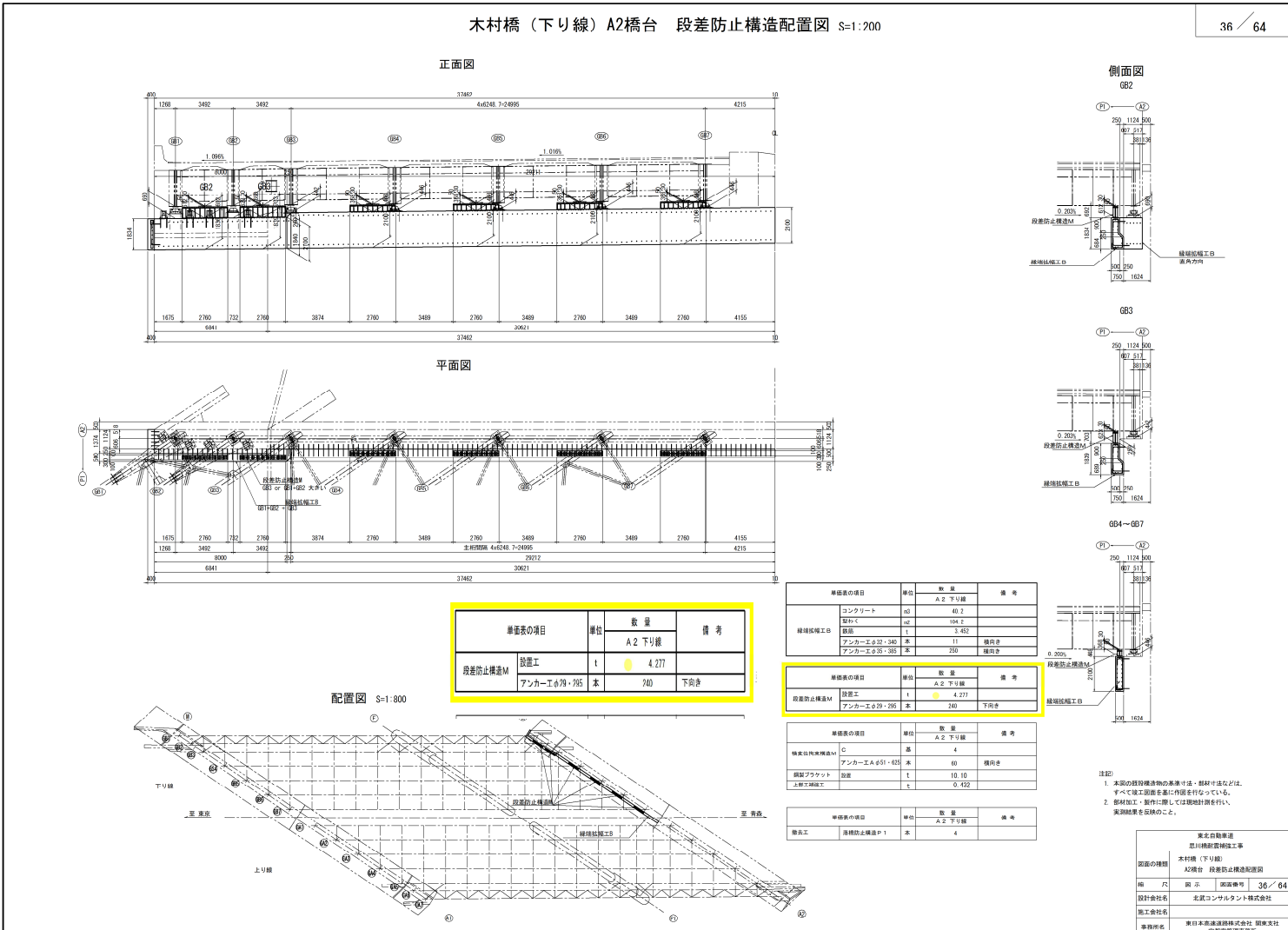
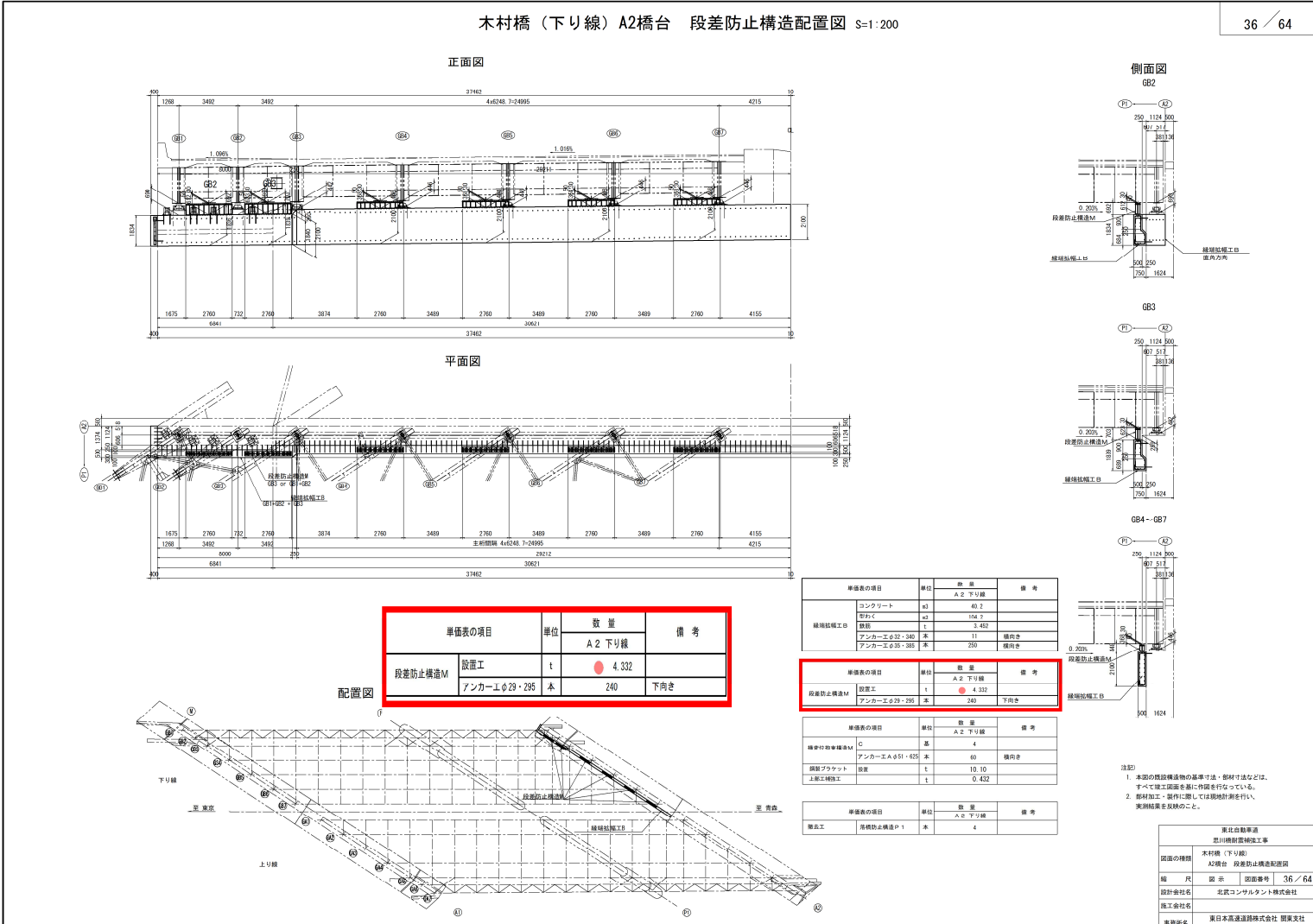
対象	設計図 思川橋（上下線）A1橋台土工・護岸撤去復旧図（250/255）																																								
誤	<p>側面図 S=1:1000 備考 250 / 255</p> <table border="1"> <thead> <tr> <th>単価表の項目</th> <th>単位</th> <th>数量</th> <th>備考</th> </tr> </thead> <tbody> <tr> <td>構造物掘削</td> <td>m3</td> <td>42.3</td> <td></td> </tr> <tr> <td>コンクリートブロック張り工</td> <td>m2</td> <td>41.6</td> <td></td> </tr> <tr> <td>コンクリート</td> <td>m3</td> <td>8.3</td> <td></td> </tr> <tr> <td>構造物取壊し工</td> <td>m2</td> <td>72.4</td> <td></td> </tr> </tbody> </table> <table border="1"> <thead> <tr> <th>単価表の項目</th> <th>単位</th> <th>数量</th> <th>備考</th> </tr> </thead> <tbody> <tr> <td>構造物掘削</td> <td>m3</td> <td>35.7</td> <td></td> </tr> <tr> <td>コンクリートブロック張り工</td> <td>m2</td> <td>38.0</td> <td></td> </tr> <tr> <td>コンクリート</td> <td>m3</td> <td>7.6</td> <td></td> </tr> <tr> <td>構造物取壊し工</td> <td>m2</td> <td>62.6</td> <td></td> </tr> </tbody> </table> <p>注記：1. 施工に立ち入り現地計測を実施して設備寸法 2. 施工ブロックは現地で施工するものとが、 構造ブロックの設置箇所で既に既設構造の場所 3. 施工用機械は現地で施工するものとが、 既設構造に適合するものとが、現地で施工するものと する。</p> <p>東北自動車道 岩沼駒形管理工事 表面の種類 思川橋（上下線） A1橋台土工・護岸撤去復旧図 幅員 指示 図面番号 250 / 255 設計者名 北京コンサルタント株式会社 施工者名 東日本高速道路株式会社 関東支社 事務所名 東日本高速道路株式会社 関東支社 平野部管理事務所</p>	単価表の項目	単位	数量	備考	構造物掘削	m3	42.3		コンクリートブロック張り工	m2	41.6		コンクリート	m3	8.3		構造物取壊し工	m2	72.4		単価表の項目	単位	数量	備考	構造物掘削	m3	35.7		コンクリートブロック張り工	m2	38.0		コンクリート	m3	7.6		構造物取壊し工	m2	62.6	
単価表の項目	単位	数量	備考																																						
構造物掘削	m3	42.3																																							
コンクリートブロック張り工	m2	41.6																																							
コンクリート	m3	8.3																																							
構造物取壊し工	m2	72.4																																							
単価表の項目	単位	数量	備考																																						
構造物掘削	m3	35.7																																							
コンクリートブロック張り工	m2	38.0																																							
コンクリート	m3	7.6																																							
構造物取壊し工	m2	62.6																																							
正	<p>側面図 S=1:1000 備考 250 / 255</p> <table border="1"> <thead> <tr> <th>単価表の項目</th> <th>単位</th> <th>数量</th> <th>備考</th> </tr> </thead> <tbody> <tr> <td>構造物掘削</td> <td>m3</td> <td>42.3</td> <td></td> </tr> <tr> <td>コンクリートブロック張り工</td> <td>m2</td> <td>41.6</td> <td></td> </tr> <tr> <td>コンクリート</td> <td>m3</td> <td>7.5</td> <td></td> </tr> <tr> <td>構造物取壊し工</td> <td>m2</td> <td>72.4</td> <td></td> </tr> </tbody> </table> <table border="1"> <thead> <tr> <th>単価表の項目</th> <th>単位</th> <th>数量</th> <th>備考</th> </tr> </thead> <tbody> <tr> <td>構造物掘削</td> <td>m3</td> <td>35.7</td> <td></td> </tr> <tr> <td>コンクリートブロック張り工</td> <td>m2</td> <td>38.0</td> <td></td> </tr> <tr> <td>コンクリート</td> <td>m3</td> <td>6.8</td> <td></td> </tr> <tr> <td>構造物取壊し工</td> <td>m2</td> <td>62.6</td> <td></td> </tr> </tbody> </table> <p>注記：1. 施工に立ち入り現地計測を実施して既設寸法 2. 施工ブロックは現地で施工するものとが、 構造ブロックの設置箇所で既に既設構造の場所 3. 施工用機械は現地で施工するものとが、 既設構造に適合するものとが、現地で施工するものと する。</p> <p>東北自動車道 岩沼駒形管理工事 表面の種類 思川橋（上下線） A1橋台土工・護岸撤去復旧図 幅員 指示 図面番号 250 / 255 設計者名 北京コンサルタント株式会社 施工者名 東日本高速道路株式会社 関東支社 事務所名 東日本高速道路株式会社 関東支社 平野部管理事務所</p>	単価表の項目	単位	数量	備考	構造物掘削	m3	42.3		コンクリートブロック張り工	m2	41.6		コンクリート	m3	7.5		構造物取壊し工	m2	72.4		単価表の項目	単位	数量	備考	構造物掘削	m3	35.7		コンクリートブロック張り工	m2	38.0		コンクリート	m3	6.8		構造物取壊し工	m2	62.6	
単価表の項目	単位	数量	備考																																						
構造物掘削	m3	42.3																																							
コンクリートブロック張り工	m2	41.6																																							
コンクリート	m3	7.5																																							
構造物取壊し工	m2	72.4																																							
単価表の項目	単位	数量	備考																																						
構造物掘削	m3	35.7																																							
コンクリートブロック張り工	m2	38.0																																							
コンクリート	m3	6.8																																							
構造物取壊し工	m2	62.6																																							
備考	単価表の誤り（思川橋 上下線 コンクリートの数量）を訂正																																								

対象	設計図 黒川橋（上り線）P2橋脚 支承取替配置図(その1) (44/189)																				
誤	<p>黒川橋（上り線）P2橋脚 支承取替配置図(その1) S=1:100</p> <table border="1"> <thead> <tr> <th>単価表の項目</th> <th>単位</th> <th>数量</th> <th>備考</th> </tr> </thead> <tbody> <tr> <td>支承取替工</td> <td>基</td> <td>5.0</td> <td></td> </tr> <tr> <td>仮受プラケット</td> <td>アンカーエ. #61</td> <td>n 124.0</td> <td>横向き</td> </tr> <tr> <td></td> <td>設置除去</td> <td>t 12.076</td> <td></td> </tr> <tr> <td>上部工補強工</td> <td>t</td> <td>5.338</td> <td></td> </tr> </tbody> </table> <p>注記 1. アンカーエ. #61は仮受は設置位置を決定のこと。 2. コンクリート構造物は既存位置等を行い、既設鉄筋等を削除しないように留意すること。</p> <p>東北自動車道 高崎川橋架橋工事 黒川橋（上り線） PC橋脚 支承取替配置図(その1) 縮尺 1/100 図示番号 44/189 設計会社名 北武コンサルタント株式会社 施工会社名 東日本高速道路株式会社 関東支社 事務所名 宇都宮監査事務所</p>	単価表の項目	単位	数量	備考	支承取替工	基	5.0		仮受プラケット	アンカーエ. #61	n 124.0	横向き		設置除去	t 12.076		上部工補強工	t	5.338	
単価表の項目	単位	数量	備考																		
支承取替工	基	5.0																			
仮受プラケット	アンカーエ. #61	n 124.0	横向き																		
	設置除去	t 12.076																			
上部工補強工	t	5.338																			
正	<p>黒川橋（上り線）P2橋脚 支承取替配置図(その1) S=1:100</p> <table border="1"> <thead> <tr> <th>単価表の項目</th> <th>単位</th> <th>数量</th> <th>備考</th> </tr> </thead> <tbody> <tr> <td>支承取替工</td> <td>基</td> <td>5.0</td> <td></td> </tr> <tr> <td>仮受プラケット</td> <td>アンカーエ. #61</td> <td>n 124.0</td> <td>横向き</td> </tr> <tr> <td></td> <td>設置除去</td> <td>t 12.076</td> <td></td> </tr> <tr> <td>上部工補強工</td> <td>t</td> <td>5.338</td> <td></td> </tr> </tbody> </table> <p>注記 1. アンカーエ. #61は仮受は設置位置を決定のこと。 2. コンクリート構造物は既存位置等を行い、既設鉄筋等を削除しないように留意すること。</p> <p>東北自動車道 高崎川橋架橋工事 黒川橋（上り線） PC橋脚 支承取替配置図(その1) 縮尺 1/100 図示番号 44/189 設計会社名 北武コンサルタント株式会社 施工会社名 東日本高速道路株式会社 関東支社 事務所名 宇都宮監査事務所</p>	単価表の項目	単位	数量	備考	支承取替工	基	5.0		仮受プラケット	アンカーエ. #61	n 124.0	横向き		設置除去	t 12.076		上部工補強工	t	5.338	
単価表の項目	単位	数量	備考																		
支承取替工	基	5.0																			
仮受プラケット	アンカーエ. #61	n 124.0	横向き																		
	設置除去	t 12.076																			
上部工補強工	t	5.338																			
備考	単価表の誤り（黒川橋 上り線 仮受ブラケット設置撤去の数量）を訂正																				

対象	設計図 黒川橋（下り線）P5橋脚 支承取替配置図(その1) (160/189)															
誤	<p>黒川橋（下り線）P5橋脚 支承取替配置図（その1） S=1:100</p> <p>正面図 A - A</p> <p>正面図 B - B</p> <p>平面図</p> <p>側面図 C - C</p> <p>配置図 S=1:1000</p> <p>単価表の項目</p> <table border="1"> <thead> <tr> <th>単位</th> <th>数量</th> <th>備考</th> </tr> </thead> <tbody> <tr> <td>支承取替工</td> <td>E-18</td> <td>基 5.0</td> </tr> <tr> <td>底受ブリッジ</td> <td>アンカーエ φ61</td> <td>t 124.0 橫向き</td> </tr> <tr> <td>底受板</td> <td>設置箇所</td> <td>t 12.000</td> </tr> <tr> <td>上部工補強工</td> <td></td> <td>t 4.485</td> </tr> </tbody> </table> <p>注記 1. シンカーボルト取扱は現地実測値決定のこと。 2. コンクリート床版は鉄筋抜き等を行い、既設鉄筋等を切削しないよう留意すること。</p> <p>図面の種類 黒川橋（下り線）P5橋脚 支承取替配置図（その1）</p> <p>規格・尺 表示 図面番号 160/189</p> <p>設計会社名 北辰コンサルタント株式会社</p> <p>施工会社名 東日本高速道路株式会社 関東支社</p> <p>事務所名 東日本高速道路株式会社 関東支社 幸田支所</p>	単位	数量	備考	支承取替工	E-18	基 5.0	底受ブリッジ	アンカーエ φ61	t 124.0 橫向き	底受板	設置箇所	t 12.000	上部工補強工		t 4.485
単位	数量	備考														
支承取替工	E-18	基 5.0														
底受ブリッジ	アンカーエ φ61	t 124.0 橫向き														
底受板	設置箇所	t 12.000														
上部工補強工		t 4.485														
正	<p>黒川橋（下り線）P5橋脚 支承取替配置図（その1） S=1:100</p> <p>正面図 A - A</p> <p>正面図 B - B</p> <p>平面図</p> <p>側面図 C - C</p> <p>配置図 S=1:1000</p> <p>単価表の項目</p> <table border="1"> <thead> <tr> <th>単位</th> <th>数量</th> <th>備考</th> </tr> </thead> <tbody> <tr> <td>支承取替工</td> <td>E-18</td> <td>基 5.0</td> </tr> <tr> <td>底受ブリッジ</td> <td>アンカーエ φ61</td> <td>t 124.0 橫向き</td> </tr> <tr> <td>底受板</td> <td>設置箇所</td> <td>t 12.000</td> </tr> <tr> <td>上部工補強工</td> <td></td> <td>t 4.485</td> </tr> </tbody> </table> <p>注記 1. シンカーボルト取扱は現地実測値決定のこと。 2. コンクリート床版は鉄筋抜き等を行い、既設鉄筋等を切削しないよう留意すること。</p> <p>図面の種類 黒川橋（下り線）P5橋脚 支承取替配置図（その1）</p> <p>規格・尺 表示 図面番号 160/189</p> <p>設計会社名 北辰コンサルタント株式会社</p> <p>施工会社名 東日本高速道路株式会社 関東支社</p> <p>事務所名 東日本高速道路株式会社 関東支社 幸田支所</p>	単位	数量	備考	支承取替工	E-18	基 5.0	底受ブリッジ	アンカーエ φ61	t 124.0 橫向き	底受板	設置箇所	t 12.000	上部工補強工		t 4.485
単位	数量	備考														
支承取替工	E-18	基 5.0														
底受ブリッジ	アンカーエ φ61	t 124.0 橫向き														
底受板	設置箇所	t 12.000														
上部工補強工		t 4.485														
備考	単価表の誤り（黒川橋 下り線 仮受ブラケット設置箇所の数量）を訂正															

対象	設計図 吹上橋 検査路復旧図 (49/61)																																																																																																		
誤	<p>吹上橋 検査路復旧図</p> <p>平面図 S=1:30</p> <p>復旧部詳細図 S=1:15</p> <p>BK-2 詳細図 S=1:15</p> <p>BK-1 詳細図 S=1:15</p> <p>BK-3 詳細図 S=1:15</p> <p>F-F G-G断面図 S=1:15</p> <p>構造検査表の製作 検査路B</p> <table border="1"> <thead> <tr> <th>項目</th> <th>規格</th> <th>寸法</th> <th>材質</th> <th>単位</th> <th>数量</th> <th>備考</th> </tr> </thead> <tbody> <tr> <td>鋼鐵板 CP</td> <td>t25</td> <td>SS400</td> <td>kg</td> <td>10</td> <td></td> <td></td> </tr> <tr> <td>鋼鉄 PL</td> <td>t25</td> <td>SS400</td> <td>kg</td> <td>4</td> <td></td> <td></td> </tr> <tr> <td>鋼鉄 PL</td> <td>t25</td> <td>SS400A</td> <td>kg</td> <td>80</td> <td></td> <td></td> </tr> <tr> <td>鋼鉄 PL</td> <td>t25</td> <td>SS400A</td> <td>kg</td> <td>24</td> <td></td> <td></td> </tr> <tr> <td>山形鋼 L</td> <td>75x75x75</td> <td>SS400</td> <td>kg</td> <td>7</td> <td></td> <td></td> </tr> <tr> <td>平鋼 FB</td> <td>t25</td> <td>SS400</td> <td>kg</td> <td>5</td> <td></td> <td></td> </tr> <tr> <td>丸鋼 MM</td> <td>Φ12x100</td> <td>SS400</td> <td>kg</td> <td>1</td> <td></td> <td></td> </tr> <tr> <td>丸鋼 MM</td> <td>Φ12x120</td> <td>SS400</td> <td>kg</td> <td>1</td> <td></td> <td></td> </tr> <tr> <td>鋼管 SG</td> <td>25A</td> <td>SS400</td> <td>kg</td> <td>9</td> <td></td> <td></td> </tr> <tr> <td>鋼管 SG</td> <td>15A</td> <td>SS400</td> <td>kg</td> <td>3</td> <td></td> <td></td> </tr> <tr> <td>BN</td> <td>M10x30</td> <td>SS400</td> <td>組</td> <td>8</td> <td></td> <td></td> </tr> <tr> <td>BN</td> <td>M16x35</td> <td>SS400</td> <td>組</td> <td>8</td> <td></td> <td></td> </tr> <tr> <td>BN</td> <td>M16x55</td> <td>SS400</td> <td>組</td> <td>2</td> <td></td> <td></td> </tr> </tbody> </table> <p>(注記)</p> <p>1. 図中寸法は既往資料(マイクロ図)、簡易計測を基に作成した復元寸法である。 施工にあたっては、現地計測のうえ再確認を行うこと。 寸法が異なる場合は、監督員と協議のうえ必要に応じ寸法を変更すること。 2. 特記なき材質は全てSS400とする。</p> <p>東北自動車道 恩川橋付替補強工事 巡回の種類 施工機 検査路復旧図 規格 図示 図書番号 49 / 61 設計会社名 北武コンサルタンツ株式会社 施工会社名 東日本高速道路株式会社 開発支社 事務所名 幸田古河運営事務所</p>	項目	規格	寸法	材質	単位	数量	備考	鋼鐵板 CP	t25	SS400	kg	10			鋼鉄 PL	t25	SS400	kg	4			鋼鉄 PL	t25	SS400A	kg	80			鋼鉄 PL	t25	SS400A	kg	24			山形鋼 L	75x75x75	SS400	kg	7			平鋼 FB	t25	SS400	kg	5			丸鋼 MM	Φ12x100	SS400	kg	1			丸鋼 MM	Φ12x120	SS400	kg	1			鋼管 SG	25A	SS400	kg	9			鋼管 SG	15A	SS400	kg	3			BN	M10x30	SS400	組	8			BN	M16x35	SS400	組	8			BN	M16x55	SS400	組	2		
項目	規格	寸法	材質	単位	数量	備考																																																																																													
鋼鐵板 CP	t25	SS400	kg	10																																																																																															
鋼鉄 PL	t25	SS400	kg	4																																																																																															
鋼鉄 PL	t25	SS400A	kg	80																																																																																															
鋼鉄 PL	t25	SS400A	kg	24																																																																																															
山形鋼 L	75x75x75	SS400	kg	7																																																																																															
平鋼 FB	t25	SS400	kg	5																																																																																															
丸鋼 MM	Φ12x100	SS400	kg	1																																																																																															
丸鋼 MM	Φ12x120	SS400	kg	1																																																																																															
鋼管 SG	25A	SS400	kg	9																																																																																															
鋼管 SG	15A	SS400	kg	3																																																																																															
BN	M10x30	SS400	組	8																																																																																															
BN	M16x35	SS400	組	8																																																																																															
BN	M16x55	SS400	組	2																																																																																															
正	<p>吹上橋 検査路復旧図</p> <p>平面図 S=1:30</p> <p>復旧部詳細図 S=1:15</p> <p>BK-2 詳細図 S=1:15</p> <p>BK-1 詳細図 S=1:15</p> <p>BK-3 詳細団 S=1:15</p> <p>F-F G-G断面図 S=1:15</p> <p>構造検査表の製作 検査路B</p> <table border="1"> <thead> <tr> <th>項目</th> <th>規格</th> <th>寸法</th> <th>材質</th> <th>単位</th> <th>数量</th> <th>備考</th> </tr> </thead> <tbody> <tr> <td>鋼鐵板 CP</td> <td>t25</td> <td>SS400</td> <td>kg</td> <td>10</td> <td></td> <td></td> </tr> <tr> <td>鋼鉄 PL</td> <td>t25</td> <td>SS400</td> <td>kg</td> <td>4</td> <td></td> <td></td> </tr> <tr> <td>鋼鉄 PL</td> <td>t25</td> <td>SS400A</td> <td>kg</td> <td>80</td> <td></td> <td></td> </tr> <tr> <td>鋼鉄 PL</td> <td>t25</td> <td>SS400A</td> <td>kg</td> <td>24</td> <td></td> <td></td> </tr> <tr> <td>山形鋼 L</td> <td>75x75x75</td> <td>SS400</td> <td>kg</td> <td>7</td> <td></td> <td></td> </tr> <tr> <td>平鋼 FB</td> <td>t25</td> <td>SS400</td> <td>kg</td> <td>5</td> <td></td> <td></td> </tr> <tr> <td>丸鋼 MM</td> <td>Φ12x100</td> <td>SS400</td> <td>kg</td> <td>1</td> <td></td> <td></td> </tr> <tr> <td>丸鋼 MM</td> <td>Φ12x120</td> <td>SS400</td> <td>kg</td> <td>1</td> <td></td> <td></td> </tr> <tr> <td>鋼管 SG</td> <td>25A</td> <td>SS400</td> <td>kg</td> <td>9</td> <td></td> <td></td> </tr> <tr> <td>鋼管 SG</td> <td>15A</td> <td>SS400</td> <td>kg</td> <td>3</td> <td></td> <td></td> </tr> <tr> <td>BN</td> <td>M10x30</td> <td>SS400</td> <td>組</td> <td>8</td> <td></td> <td></td> </tr> <tr> <td>BN</td> <td>M16x35</td> <td>SS400</td> <td>組</td> <td>8</td> <td></td> <td></td> </tr> <tr> <td>BN</td> <td>M16x55</td> <td>SS400</td> <td>組</td> <td>2</td> <td></td> <td></td> </tr> </tbody> </table> <p>(注記)</p> <p>1. 図中寸法は既往資料(マイクロ図)、簡易計測を基に作成した復元寸法である。 施工にあたっては、現地計測のうえ再確認を行うこと。 寸法が異なる場合は、監督員と協議のうえ必要に応じ寸法を変更すること。 2. 特記なき材質は全てSS400とする。</p> <p>● 3. Uボルト付き以外のナットは、全て縫み止めナットを使用すること。</p> <p>東北自動車道 恩川橋付替補強工事 巡回の種類 施工機 検査路復旧図 規格 図示 図書番号 49 / 61 設計会社名 北武コンサルタンツ株式会社 施工会社名 東日本高速道路株式会社 開発支社 事務所名 幸田古河運営事務所</p>	項目	規格	寸法	材質	単位	数量	備考	鋼鐵板 CP	t25	SS400	kg	10			鋼鉄 PL	t25	SS400	kg	4			鋼鉄 PL	t25	SS400A	kg	80			鋼鉄 PL	t25	SS400A	kg	24			山形鋼 L	75x75x75	SS400	kg	7			平鋼 FB	t25	SS400	kg	5			丸鋼 MM	Φ12x100	SS400	kg	1			丸鋼 MM	Φ12x120	SS400	kg	1			鋼管 SG	25A	SS400	kg	9			鋼管 SG	15A	SS400	kg	3			BN	M10x30	SS400	組	8			BN	M16x35	SS400	組	8			BN	M16x55	SS400	組	2		
項目	規格	寸法	材質	単位	数量	備考																																																																																													
鋼鐵板 CP	t25	SS400	kg	10																																																																																															
鋼鉄 PL	t25	SS400	kg	4																																																																																															
鋼鉄 PL	t25	SS400A	kg	80																																																																																															
鋼鉄 PL	t25	SS400A	kg	24																																																																																															
山形鋼 L	75x75x75	SS400	kg	7																																																																																															
平鋼 FB	t25	SS400	kg	5																																																																																															
丸鋼 MM	Φ12x100	SS400	kg	1																																																																																															
丸鋼 MM	Φ12x120	SS400	kg	1																																																																																															
鋼管 SG	25A	SS400	kg	9																																																																																															
鋼管 SG	15A	SS400	kg	3																																																																																															
BN	M10x30	SS400	組	8																																																																																															
BN	M16x35	SS400	組	8																																																																																															
BN	M16x55	SS400	組	2																																																																																															
備考	注記の追加																																																																																																		

対象	設計図 木村橋（下り線）P1 橋台 段差防止構造配置図（30/64）
誤	
正	
備考	単価表の誤り（木村橋 下り線 段差防止構造M設置工の数量）を訂正

対象	設計図 木村橋（下り線）A2橋台 段差防止構造配置図（36/64）
誤	 <p>木村橋（下り線）A2橋台 段差防止構造配置図 S=1:200</p> <p>正面図</p> <p>平面図</p> <p>側面図 GB2</p> <p>側面図 GB3</p> <p>側面図 GB4 - GB7</p> <p>単価表の項目 単位 A2 下り線 数量 t 4.277 備考 橋向き</p> <p>段差防止構造M 設置工 アンカーワーク・295 本 240 下向き</p> <p>単価表の項目 単位 A2 下り線 数量 t 4.277 備考 橋向き</p> <p>段差防止構造M 設置工 アンカーワーク・295 本 240 下向き</p> <p>単価表の項目 単位 A2 下り線 数量 t 4 備考 橋向き</p> <p>構造計算用材C アンカーワーク A φ51 - 435 木 60 橋向き</p> <p>鋼管ブリケット 設置工 t 10.10</p> <p>鋼管取付工 t 0.432</p> <p>単価表の項目 単位 A2 下り線 数量 t 4 備考</p> <p>施工作業工 油圧止端板P1 本 4</p> <p>注記 1. 本図の既設構造物の基準寸法・整ねり仕などは、すべて既設工事部に依拠を行なっている。 2. 施工工事・製作に際しては既設計測を行い、実測結果を反映のこと。</p> <p>東北自動車道 足川橋頭防護工事 木村橋（下り線） A2橋台 段差防止構造配置図 縮尺 図示 国際単位 36 / 64 設計会社名 北武コンサルタント株式会社 施工会社名 事務所名 東日本高速道路株式会社 關東支社 宇都宮営業事務所</p>
正	 <p>木村橋（下り線）A2橋台 段差防止構造配置図 S=1:200</p> <p>正面図</p> <p>平面図</p> <p>側面図 GB2</p> <p>側面図 GB3</p> <p>側面図 GB4 - GB7</p> <p>単価表の項目 単位 A2 下り線 数量 t 4.332 備考 橋向き</p> <p>段差防止構造M 設置工 アンカーワーク・295 本 240 下向き</p> <p>単価表の項目 単位 A2 下り線 数量 t 4 備考 橋向き</p> <p>構造計算用材C アンカーワーク A φ51 - 435 木 60 橋向き</p> <p>鋼管ブリケット 設置工 t 10.10</p> <p>鋼管取付工 t 0.432</p> <p>単価表の項目 単位 A2 下り線 数量 t 4 備考</p> <p>施工作業工 油圧止端板P1 本 4</p> <p>注記 1. 本図の既設構造物の基準寸法・整ねり仕などは、すべて既設工事部に依拠を行なっている。 2. 部材加工・製作に際しては既設計測を行い、実測結果を反映のこと。</p> <p>東北自動車道 足川橋頭防護工事 木村橋（下り線） A2橋台 段差防止構造配置図 縮尺 図示 国際単位 36 / 64 設計会社名 北武コンサルタント株式会社 施工会社名 事務所名 東日本高速道路株式会社 關東支社 宇都宮営業事務所</p>
備考	単価表の誤り（木村橋 下り線 段差防止構造M設置工の数量）を訂正

対象	設計図 木村橋護岸工撤去・復旧図 (57/64)																												
誤	<p>側面図 S=1:500</p> <p>a部詳細図 S=1:200</p> <p>b部詳細図 S=1:200</p> <p>平面図 S=1:500</p> <p>標準断面図 S=1:50</p> <p>57 / 64</p> <table border="1"> <thead> <tr> <th>単価表の項目</th> <th>単位</th> <th>数量</th> <th>備考</th> </tr> </thead> <tbody> <tr> <td>コンクリートブロック張工</td> <td>m²</td> <td>88.1</td> <td>A1 上り線</td> </tr> <tr> <td></td> <td>m²</td> <td>82.4</td> <td>P1 下り線</td> </tr> <tr> <td>コンクリート</td> <td>C1-1</td> <td>13.8</td> <td>- 上り線</td> </tr> <tr> <td></td> <td>m³</td> <td>12.9</td> <td>- 下り線</td> </tr> <tr> <td>構造物等取壊し工</td> <td>コンクリートブロック 取壊し (TypeA)</td> <td>161.1</td> <td>A1 上り線</td> </tr> <tr> <td></td> <td>m³</td> <td>150.7</td> <td>P1 下り線</td> </tr> </tbody> </table>	単価表の項目	単位	数量	備考	コンクリートブロック張工	m ²	88.1	A1 上り線		m ²	82.4	P1 下り線	コンクリート	C1-1	13.8	- 上り線		m ³	12.9	- 下り線	構造物等取壊し工	コンクリートブロック 取壊し (TypeA)	161.1	A1 上り線		m ³	150.7	P1 下り線
単価表の項目	単位	数量	備考																										
コンクリートブロック張工	m ²	88.1	A1 上り線																										
	m ²	82.4	P1 下り線																										
コンクリート	C1-1	13.8	- 上り線																										
	m ³	12.9	- 下り線																										
構造物等取壊し工	コンクリートブロック 取壊し (TypeA)	161.1	A1 上り線																										
	m ³	150.7	P1 下り線																										
正	<p>側面図 S=1:500</p> <p>a部詳細図 S=1:200</p> <p>b部詳細図 S=1:200</p> <p>平面図 S=1:500</p> <p>標準断面図 S=1:50</p> <p>57 / 64</p> <table border="1"> <thead> <tr> <th>単価表の項目</th> <th>単位</th> <th>数量</th> <th>備考</th> </tr> </thead> <tbody> <tr> <td>コンクリートブロック張工</td> <td>m²</td> <td>88.1</td> <td>A1 上り線</td> </tr> <tr> <td></td> <td>m²</td> <td>82.4</td> <td>P1 下り線</td> </tr> <tr> <td>コンクリート</td> <td>C1-1</td> <td>13.1</td> <td>- 上り線</td> </tr> <tr> <td></td> <td>m³</td> <td>12.2</td> <td>- 下り線</td> </tr> <tr> <td>構造物等取壊し工</td> <td>コンクリートブロック 取壊し (TypeA)</td> <td>161.1</td> <td>A1 上り線</td> </tr> <tr> <td></td> <td>m³</td> <td>150.7</td> <td>P1 下り線</td> </tr> </tbody> </table>	単価表の項目	単位	数量	備考	コンクリートブロック張工	m ²	88.1	A1 上り線		m ²	82.4	P1 下り線	コンクリート	C1-1	13.1	- 上り線		m ³	12.2	- 下り線	構造物等取壊し工	コンクリートブロック 取壊し (TypeA)	161.1	A1 上り線		m ³	150.7	P1 下り線
単価表の項目	単位	数量	備考																										
コンクリートブロック張工	m ²	88.1	A1 上り線																										
	m ²	82.4	P1 下り線																										
コンクリート	C1-1	13.1	- 上り線																										
	m ³	12.2	- 下り線																										
構造物等取壊し工	コンクリートブロック 取壊し (TypeA)	161.1	A1 上り線																										
	m ³	150.7	P1 下り線																										
備考	単価表の誤り (木村橋 上下線 コンクリートの数量) を訂正																												